U. I. C. C. JUN 23 1975 LIBRARY

JOURNAL de PHYSIQUE

Index Général des
Publications 1974



PUBLICATION DE LA SOCIÉTÉ FRANÇAISE DE PHYSIQUE SUBVENTIONNÉE PAR LE C.N.R.S.



EUROPHYSICS JOURNAL



JOURNAL DE PHYSIQUE

Tome 35 — 1974

MÉCANIQUE HYDRODYNAMIQUE

Coste (J.), Peyraud (J.). — Generalized hydrodynamics		Geiger (D.). — Voir Flaud (P.)	869
and collective transport in fluids	993	Oddou (C.). — Voir Flaud (P.)	869
Flaud (P.), Geiger (D.), Oddou (C.), Quémada (D.). — Ecoulements pulsés dans les tuyaux viscoélastiques.		Peyraud (J.). — Voir Coste (J.)	993
Application à l'étude de la circulation sanguine	869	Quémada (D.). — Voir Flaud (P.)	869
PHYSIC	QUE TI	HÉORIQUE	
		The first of the second of the latest of the	
Gayda (J. P.) and Ottavi (H.). — Clusters of atoms coupled by long range interactions	393	Rousseau (M.). — Harmonic analysis and P-representation of generalized gaussian fields	193
Gayda (J. P.). — Voir Ottavi (H.)	631	Vigoureux (J. M.), Payen (R.). — Interaction matière. Onde évanescente de Fresnel-I. Radiation spontanée	
Ottavi (H.), Gayda (J. P.). — Percolation in a continuous two-dimensional medium	631	par un électron au voisinage d'un dioptre plan. Effet Cerenkov	617
Ottavi (H.). — Voir Gayda (J. P.)	393	Yvon (J.). — Multiplicité de toute solution de la hiérar-	
Payen (R.). — Voir Vigoureux (J. M.)	617	chie statistique	687
DUVCI	OUE N	UCLÉAIRE	
PHYSI	QUE IN	OCLEARE	
Bagieu (G.). — Voir Gaillard (P.)	329	Gaudin (M.). — Energie coulombienne du solide uni- formément chargé limité par deux sphères sécantes	885
Cailliau (M.), Foucher (R.), Husson (J. P.) et Letes- sier (Jocelyne). — Etude de la désintégration		Grossiord (J. Y.). — Voir Gaillard (P.)	329
$^{184}\text{Au} \rightarrow ^{184}\text{Pt} \ (T_{1/2} = 53.0 \pm 1.4 \text{ s})$	469	Guichard (A.). — Voir Gaillard (P.)	329
Charvet (A.), Chery (R.), Do Huu Phuoc, Duffait (R.), Morgue (M.). — Etude par radioactivité des		Gusakow (M.). — Voir Gaillard (P.)	329
niveaux du molybdène	3-199	Husson (J. P.). — Voir Cailliau (M.)	469
de tellure 115 $1/2^+$ ($T_{1/2} = 7.5$ min) et $7/2^+$ ($T_{1/2} = 6.0$ min)	805	Lejeune (A.), Sartor (R.). — Analysis of the ⁶ Li (n, t) α reaction over the energy range 14 to 3900 keV	895
Chéry (R.). — Voir Charvet (A.)		Letessier (Jocelyne). — Voir Cailliau (M.)	469
Cole (A. J.). — Voir Gaillard (P.)	329	Liang (C. F.). — Voir Do Ngoc (B.)	693
Do Ngoc (B.), Liang (C. F.). — Perturbation de corrélations angulaires α-γ en milieu gazeux	693	Morgue (M.). — Voir Charvet (A.)	-805
Duffait (R.). — Voir Charvet (A.)	-805		
Foucher (R.). — Voir Cailliau (M.)	469	Phuoc (Do Huu). — Voir Charvet (A.)	
Gaillard (P.), Guichard (A.), Grossiord (J. Y.), Gusakow (M.), Pizzi (J. R.), Bagieu (G.), Cole (A. J.) et		Pizzi (J. R.). — Voir Gaillard (P.)	329
de Swiniarski (R.). — Etude des niveaux du 52Mn		Sartor (R.). — Voir Lejeune (A.)	895
par réactions (α, d) sur le ⁵⁰ Cr	329	Swiniarski (R. de). — Voir Gaillard (P.)	329
PHYSIQUE ATO	MIQUE	ET MOLÉCULAIRE	
Audoin (C.). — Voir Desaintfuscien (M.)	829	Bauche (J.). — Hartree-fock evaluations of specific-	
Barbé (R.), Leduc (M.), Laloë (F.). — Résonance magné-		mass isotope shifts	19
tique en champ de radiofréquence inhomogène.	699	Blaise (J.). — Voir Guyon (F.)	929 899
1re partie: étude théorique	0))	Bouchiat (M. A.), Bouchiat (C.). — I. Parity violation	0,7,7
tique en champ de radiofréquence inhomogène.			899
2e partie : vérifications expérimentales ; mesure du coefficient de self-diffusion de ³ He	935		641

Butaux (J.), Schuller (F.) et Lennuier (R.). — Etude		Kobeissé (H.), Tergiman (Y. S.). — Contribution à l'é-	
comparative des sections efficaces d'élargissement		tude de la fonction d'onde de vibration d'une	
et de dépolarisation par collisions	361	molécule diatomique: les fonctions canoniques	
Champeau (RJ.) et Miladi (M.). — Déplacement isoto-		de vibration	63
pique relatif dans le spectre d'arc du tungstène.		Lahaye (B.). — Pompage optique des atomes métasta-	
Structure hyperfine du niveau 5d ⁵ 6s ⁷ S ₃ de WI	105	bles ¹⁹⁹ Hg (6 ³ P ₀) en phase vapeur	54
Champion (J. P.). — Voir Jurek (R.)	533	Lahaye (B.). — Pompage optique du niveau méta-	,
Chantepie (M.). — Effet Stark du niveau 6 ³ D ₁ du mer-		stable 6 ³ P ₂ du mercure. Sections efficaces de des-	
cure	113	truction, par collisions, de l'orientation et de l'ali-	
Chanussot (J.). — Voir Jurek (R.)	533	gnement	
Chenevier (M.) et Moskowitz (P. A.). — Mesures par		Laloë (F.). — Voir Barbé (R.)	69
résonance magnétique de durées de vie et de fac-		Laloë (F.). — Voir Barbé (R.)	93
teurs de Landé de niveaux excités d'atomes d'argon		Lamoureux (M.) et Combet Farnoux (F.). — Evolution	
et de xénon	401	du comportement des sections efficaces de pho-	
Chéron (M.), Bordé (J.). — Etude du groupe de symétrie		toionisation à l'intérieur de séquences isoélectro-	
du pentafluorure de phosphore PF5	641	niques	20
Combet Farnoux (F.). — Voir Lamoureux (M.)	205	Laniepce (B.). — Transferts de population entre les	
Dang Nhu (M.). — Voir Hilico (J. C.)	527	niveaux de la configuration (6s, 6d) de l'atome	
Desaintfuscien (M.), Audoin (C.). — Relation des niveaux	1	de mercure sous l'influence de collisions avec des	0.5
de structure hyperfine d'atomes d'hydrogène dans		molécules d'azote	95
l'état fondamental	829	Laterrasse (J.). — Voir Huetz-Aubert (M.) Leduc (M.). — Voir Barbé (R.)	54 69
- 11014	402	Leduc (M.). — Voir Pinard (M.).	74
Englekemeir (D. W.). — Voir Gerstenkorn (S.)	483	Leduc (M.). — Voir Barbé (R.).	93
Gay (J. C.). — Influence d'un écart à la résonance sur		Lennuier (R.). — Voir Butaux (J.)	36
les sections efficaces de collisions quasi réson-		Luc (P.). — Voir Gerstenkorn (S.)	48
nantes. II. Cas d'une transition de résonance			
$J = 1 \rightarrow J = 0$ et applications	813	Miladi (M.). — Voir Champeau (RJ.)	10
Gay (J. C.) et Omont (A.). — Influence d'un écart à la		Möller (C.) et Sureau (A.). — Effets d'écran, densités	
résonance sur les sections efficaces de collisions		et énergies électroniques dans les atomes et les ions	41
quasi résonnantes. I. Cas d'un système à deux		métalliques par la méthode de Hartree-Fock Moskowitz (P. A.). — Voir Chenevier (M.)	41 40
niveaux (G) I - (D) Venez (I) Englekemein	9	von Chenevier (ivi.)	40
Gerstenkorn (S.), Luc (P.), Verges (J.), Englekemeir		Omont (A.). — Voir Gay (J. C.)	
(D. W.), Gindler (J. E.) et Tomkins (F. S.). — Structures hyperfines du spectre d'étincelle, mo-		Pebay-Peyroula (J. C.). — Voir Sadeghi (N.)	35
ment magnétique et quadrupolaire de l'isotope		Pinard (M.), Leduc (M.). — Etude par pompage optique	1
229 du thorium	483	de la résonance magnétique de l'ion ³ He ⁺ dans	
Gindler (J. E.). — Voir Gerstenkorn (S.)	483	l'état fondamental	74
Grenier-Besson (M. L.). — Voir Hervé-Hanotelle (M.)	335		
Guelachvili (G.) Voir Hervé-Hanotelle (M.)	335	Roueff (E.), Suzor (A.). — Broadening, shift and depola-	
Guyon (F.), Blaise (J.), Wyart (J. F.) Etude para-		rization of broad fine structure alkali spectral lines by helium	72
métrique des configurations impaires profondes dans		mics by hendin	12
les spectres de l'uranium UI et UII	929	Sadeghi (N.) et Pebay-Peyroula (J. C.). — Etude expéri-	
Hervé-Hanotelle (M.), Grenier-Besson (M. L.) Gue-		mentale de la relaxation des atomes métastables	
lachvili (G.). — Interprétation du spectre de vibra-		de gaz rares sur la paroi en pyrex	
tion-rotation à haute résolution de la molécule		Schuller (F.). Voir Butaux (J.)	36
d'ammoniac dans la région de 6 000 cm ⁻¹	335	Sureau (A.). — Voir Möller (C.)	41
Hilico (J. C.), Dang Nhu (M.). — Coefficients de cou-	200	Sureau (A.). — Sur les intensités relatives des satellites	10
plage relatifs à la structure fine de rotation-vibra-		$K\alpha$ des atomes légers	10 53
tion des molécules tétraédriques	527	Suzor (A.). — Voir Roueff (E.).	72
Huetz-Aubert (M.), Laterrasse (J.). — Relaxation ther-		A STATE OF THE PARTY OF THE PAR	12
mique de vibration d'un gaz triatomique pur ou		Tergiman (Y. S.). — Voir Kobeissé (H.)	63.
constituant d'un mélange. Application à CO ₂	547	Tomkins (F. S.). — Voir Gerstenkorn (S.)	48:
Jurek (R.), Suzeau (P.), Chanussot (J.), Champion		Verges (J.). — Voir Gerstenkorn (S.)	48
(J. P.). — Spectroscopie microonde de C1 F ₅ à	522	The state of the s	
70 et 140 GHz	533	Wyart (J. F.). — Voir Guyon (F.)	92

PHYSIQUE DES PLASMAS

Poquérusse (A.). — Elargissement Stark de raies hydrogénoïdes entre niveaux élevés d'ions multichargés 121

PHYSIQUE DE LA MATIÈRE CONDENSÉE

437

Allan (G.), and Lenglart (P.). — Occurence of the magne-		Bachellerie (A.) et Frenois (Ch.). — Etude de la tran-
tic polarization on an iron adatom on a matrix of		sition de phase de Cr ₂ O ₃ à l'aide d'ultrasons de
transition metals of the first row		haute fréquence
Allain (Y.). — Voir Pangalos (C.)	989	Bacri (J. C.). — Effets d'un champ magnétique sur

l'atténuation et la vitesse des ondes ultrasonores		Doussineau (P.) et Ferry (B.). — Interactions des ultrasons	
dans un cristal liquide nématique	601	entre 0,5 et 10 GHz avec les ondes de spin dans les	
Bertaut (E. F.). — The phase comparison method.		phases obliques de GdAlO ₃	71
Application to the complex magnetic structure		Dubois (J. Y.) et Carton (J. P.). — Instabilité de la	
of REMn ₂ O ₅ (RE = Rare Earth)	659	chaîne magnétique linéaire XY	371
Bertrand (Y.), Fert (A. R.), Gélard (J.). — Susceptibilité magnétique des halogénures ferreux FeCl ₂ , FeBr ₂ ,		Ducastelle (F.). — Spectral limits in the tight-binding	
FeI ₂	385	approximation	983
Biraud-Laval (S.). — Dispersion des polaritons ordi-	303	Escaig (B.). — Voir Coulon (G.)	557
naires dans le quartz	513		
Blaise (G.) et Slodzian (G.). — Evolution des rendements		Ferré (J.). — Propriétés magnéto-optiques de matériaux	
de l'émission ionique des alliages avec la nature		para-,ferro-, et antiferro-magnétiques contenant l'ion europium divalent	701
du soluté. Première partie : résultats expérimen-		Ferry (B.). — Voir Doussineau (P.)	781 71
taux	237	Fert (A. R.). — Voir Bertrand (Y.).	385
Blaise (G.) et Slodzian (G.). — Evolution des rendements		Fert (A. R.). — Voir Gélard (J.)	163
de l'émission ionique des alliages avec la nature du		Frenois (Ch.). — Voir Bachellerie (A.)	437
soluté. Deuxième partie : interprétation	243	Gélard (J.), Carrara (P.), Fert (A. R.) et le groupe champ	
Bonnelle (C.) et Lachère (G.). — Analyse par spectroscopie X des distributions 5f de l'uranium dans le		pulsé du SPSRM de Saclay. — Comportement	
métal et UO ₂	295	non linéaire de l'aimantation de FeCl ₂ , FeBr ₂ et	
Boucher (JP.). — Voir Devreux (F.)	271	Fel ₂ en champ perpendiculaire de l'axe d'ani-	
Bouchriha (H.), Delacote (G.), Delannoy (P.), Schott		sotropie	163
(M.). — Interaction of triplet excitons with trapped		Gélard (J.). — Voir Bertrand (Y.)	385
and free holes in crystalline Anthracene. Exciton		Gerl (M.). — Voir Kauffer (E.)	839
quenching, current enhancement and magnetic		Gignoux (D.). — Propriétés magnétiques des composés	
field effects	577	équiatomiques à structures FeB entre les métaux	455
Bouillot (J.). — Voir Gnininvi (L.)	679	de terres rares et le nickel	455
Bouligand (Y.). — Recherches sur les textures des états		rique de BaTiO ₃ dans la phase cubique. II	679
mésomorphes. 5. Noyaux, fils et rubans de mœbius dans les nématiques et les cholestériques peu tor-		Godefroy (G.). — Voir Ormancey (G.)	135
sades	215	Gourdji (M.), Guibé (L.) et Peneau (A.). — Etude en fonc-	
Bouligand (Y.). — Recherches sur les textures des états	213	tion de la température par R. M. N. du couplage	
mésomorphes. 6. Dislocations coins et signification		quadripolaire de l'azote 14 dans un monocristal de	
des cloisons de Grandjean-Cano dans les choles-		nitrate de sodium	497
tériques	959	Guibé (L.). — Voir Gourdji (M.)	497
Bouligand (Y.). — Voir Williams (C.)	589	Guyon (E.). — Voir Vilanove (R.)	153
TO 2 2 (T) T/ THE P (T)			
Brochard (F.). — Voir Jähnig (F.)	301	Hennequin (JF.). — Voir Viaris de Lesegno (P.)	759
Brouers (F.). — Voir Lederer (P.)	171	Hennequin (JF.). — Voir Viaris de Lesegno (P.) Héritier (M.). — Voir Lederer (P.)	759 171
		Héritier (M.). — Voir Lederer (P.) Herpin (J. C.), Meunier (J.). — Etude spectrale de la	
Brouers (F.). — Voir Lederer (P.)	171 49	Héritier (M.). — Voir Lederer (P.)	
Brouers (F.). — Voir Lederer (P.)	171 49 163	Héritier (M.). — Voir Lederer (P.)	
Brouers (F.). — Voir Lederer (P.)	171 49	Héritier (M.). — Voir Lederer (P.)	171
Brouers (F.). — Voir Lederer (P.)	171 49 163	Héritier (M.). — Voir Lederer (P.)	
Brouers (F.). — Voir Lederer (P.)	171 49 163	Héritier (M.). — Voir Lederer (P.)	171
Brouers (F.). — Voir Lederer (P.). Buisson (R.). — Voir Le Si Dang. Carrara (P.). — Voir Gélard (J.)	171 49 163 371 509 861	Héritier (M.). — Voir Lederer (P.)	847
Brouers (F.). — Voir Lederer (P.). Buisson (R.). — Voir Le Si Dang. Carrara (P.). — Voir Gélard (J.). Carton (J. P.). — Voir Dubois (J. Y.). Chevalier (R.) et Do Dinh (C.). — Etude aux rayons X, par diffraction neutronique et par effet Mössbauer des solutions solides Ba (Fe _x Ga _{1-x}) ₂ O ₄ . Clément (S.). — Voir Tchao (Y. H.). Coelho (R.). — Voir Sibillot (P.).	171 49 163 371 509	Héritier (M.). — Voir Lederer (P.)	171
Brouers (F.). — Voir Lederer (P.). Buisson (R.). — Voir Le Si Dang. Carrara (P.). — Voir Gélard (J.) Carton (J. P.). — Voir Dubois (J. Y.). Chevalier (R.) et Do Dinh (C.). — Etude aux rayons X, par diffraction neutronique et par effet Mössbauer des solutions solides Ba (Fe _x Ga _{1-x}) ₂ O ₄ Clément (S.). — Voir Tchao (Y. H.). Coelho (R.). — Voir Sibillot (P.) Conte (R.). — Détermination théorique de l'ordre	171 49 163 371 509 861 141	Héritier (M.). — Voir Lederer (P.)	847
Brouers (F.). — Voir Lederer (P.). Buisson (R.). — Voir Le Si Dang. Carrara (P.). — Voir Gélard (J.) Carton (J. P.). — Voir Dubois (J. Y.) Chevalier (R.) et Do Dinh (C.). — Etude aux rayons X, par diffraction neutronique et par effet Mössbauer des solutions solides Ba (Fe _x Ga _{1-x}) ₂ O ₄ Clément (S.). — Voir Tchao (Y. H.) Coelho (R.). — Voir Sibillot (P.) Conte (R.). — Détermination théorique de l'ordre d'un changement de phase displacif à d dimensions	171 49 163 371 509 861	Héritier (M.). — Voir Lederer (P.)	847
Brouers (F.). — Voir Lederer (P.)	171 49 163 371 509 861 141	Héritier (M.). — Voir Lederer (P.)	847
Brouers (F.). — Voir Lederer (P.). Buisson (R.). — Voir Le Si Dang	171 49 163 371 509 861 141	 Héritier (M.). — Voir Lederer (P.). Herpin (J. C.), Meunier (J.). — Etude spectrale de la lumière diffusée par les fluctuations thermiques de l'interface liquide vapeur de CO₂ près de son point critique. Mesure de la tension superficielle et de la viscosité. Jähnig (F.) and Brochard (F.). — Critical elastic constants and viscosities above a nematic-smectic A transition of second order. Kauffer (E.), Gerl (M.). — Contribution de la bande d à l'énergie de liaison d'une bilacune dans les métaux de transition Kekelidze (N. P.), Kekelidze (G. P.), Makharadze (Z. 	847 301
Brouers (F.). — Voir Lederer (P.). Buisson (R.). — Voir Le Si Dang. Carrara (P.). — Voir Gélard (J.) Carton (J. P.). — Voir Dubois (J. Y.). Chevalier (R.) et Do Dinh (C.). — Etude aux rayons X, par diffraction neutronique et par effet Mössbauer des solutions solides Ba (Fe _x Ga _{1-x}) ₂ O ₄ Clément (S.). — Voir Tchao (Y. H.) Coelho (R.). — Voir Sibillot (P.) Conte (R.). — Détermination théorique de l'ordre d'un changement de phase displacif à d dimensions Coulon (G.), Lecoq (J.), Escaig (B.). — X-Ray dislocation substructure observations and strengthening mechanism in α-iron single crystal between room tempe-	171 49 163 371 509 861 141	Héritier (M.). — Voir Lederer (P.). Herpin (J. C.), Meunier (J.). — Etude spectrale de la lumière diffusée par les fluctuations thermiques de l'interface liquide vapeur de CO ₂ près de son point critique. Mesure de la tension superficielle et de la viscosité. Jähnig (F.) and Brochard (F.). — Critical elastic constants and viscosities above a nematic-smectic A transition of second order. Kauffer (E.), Gerl (M.). — Contribution de la bande d à l'énergie de liaison d'une bilacune dans les métaux de transition Kekelidze (N. P.), Kekelidze (G. P.), Makharadze (Z. D.) and Khachidze (V. P.). — Reflection spectra of	847 301 839
Brouers (F.). — Voir Lederer (P.). Buisson (R.). — Voir Le Si Dang	171 49 163 371 509 861 141 67	 Héritier (M.). — Voir Lederer (P.). Herpin (J. C.), Meunier (J.). — Etude spectrale de la lumière diffusée par les fluctuations thermiques de l'interface liquide vapeur de CO₂ près de son point critique. Mesure de la tension superficielle et de la viscosité. Jähnig (F.) and Brochard (F.). — Critical elastic constants and viscosities above a nematic-smectic A transition of second order. Kauffer (E.), Gerl (M.). — Contribution de la bande d à l'énergie de liaison d'une bilacune dans les métaux de transition Kekelidze (N. P.), Kekelidze (G. P.), Makharadze (Z. D.) and Khachidze (V. P.). — Reflection spectra of highly doped n-InP_xAs_{1-x} solid solutions. 	171847301839365
Brouers (F.). — Voir Lederer (P.). Buisson (R.). — Voir Le Si Dang	171 49 163 371 509 861 141 67	 Héritier (M.). — Voir Lederer (P.). Herpin (J. C.), Meunier (J.). — Etude spectrale de la lumière diffusée par les fluctuations thermiques de l'interface liquide vapeur de CO₂ près de son point critique. Mesure de la tension superficielle et de la viscosité. Jähnig (F.) and Brochard (F.). — Critical elastic constants and viscosities above a nematic-smectic A transition of second order. Kauffer (E.), Gerl (M.). — Contribution de la bande d à l'énergie de liaison d'une bilacune dans les métaux de transition Kekelidze (N. P.), Kekelidze (G. P.), Makharadze (Z. D.) and Khachidze (V. P.). — Reflection spectra of highly doped n-InP_xAs_{1-x} solid solutions Kekelidze (G. P.). — Voir Kekelidze (N. P.). 	847 301 839 365 365
Brouers (F.). — Voir Lederer (P.). Buisson (R.). — Voir Le Si Dang. Carrara (P.). — Voir Gélard (J.) Carton (J. P.). — Voir Dubois (J. Y.) Chevalier (R.) et Do Dinh (C.). — Etude aux rayons X, par diffraction neutronique et par effet Mössbauer des solutions solides Ba (Fe _x Ga _{1-x}) ₂ O ₄ Clément (S.). — Voir Tchao (Y. H.) Coelho (R.). — Voir Sibillot (P.) Conte (R.). — Détermination théorique de l'ordre d'un changement de phase displacif à d dimensions Coulon (G.), Lecoq (J.), Escaig (B.). — X-Ray dislocation substructure observations and strengthening mechanism in α-iron single crystal between room temperature and 123 K	171 49 163 371 509 861 141 67	 Héritier (M.). — Voir Lederer (P.). Herpin (J. C.), Meunier (J.). — Etude spectrale de la lumière diffusée par les fluctuations thermiques de l'interface liquide vapeur de CO₂ près de son point critique. Mesure de la tension superficielle et de la viscosité. Jähnig (F.) and Brochard (F.). — Critical elastic constants and viscosities above a nematic-smectic A transition of second order. Kauffer (E.), Gerl (M.). — Contribution de la bande d à l'énergie de liaison d'une bilacune dans les métaux de transition Kekelidze (N. P.), Kekelidze (G. P.), Makharadze (Z. D.) and Khachidze (V. P.). — Reflection spectra of highly doped n-InP_xAs_{1-x} solid solutions. Kekelidze (G. P.). — Voir Kekelidze (N. P.). Khachidze (V. P.). — Voir Kekelidze (N. P.). 	171847301839365
Brouers (F.). — Voir Lederer (P.). Buisson (R.). — Voir Le Si Dang	171 49 163 371 509 861 141 67	 Héritier (M.). — Voir Lederer (P.). Herpin (J. C.), Meunier (J.). — Etude spectrale de la lumière diffusée par les fluctuations thermiques de l'interface liquide vapeur de CO₂ près de son point critique. Mesure de la tension superficielle et de la viscosité. Jähnig (F.) and Brochard (F.). — Critical elastic constants and viscosities above a nematic-smectic A transition of second order. Kauffer (E.), Gerl (M.). — Contribution de la bande d à l'énergie de liaison d'une bilacune dans les métaux de transition Kekelidze (N. P.), Kekelidze (G. P.), Makharadze (Z. D.) and Khachidze (V. P.). — Reflection spectra of highly doped n-InP_xAs_{1-x} solid solutions Kekelidze (G. P.). — Voir Kekelidze (N. P.). 	847 301 839 365 365
Brouers (F.). — Voir Lederer (P.). Buisson (R.). — Voir Le Si Dang. Carrara (P.). — Voir Gélard (J.)	171 49 163 371 509 861 141 67 557	 Héritier (M.). — Voir Lederer (P.). Herpin (J. C.), Meunier (J.). — Etude spectrale de la lumière diffusée par les fluctuations thermiques de l'interface liquide vapeur de CO₂ près de son point critique. Mesure de la tension superficielle et de la viscosité. Jähnig (F.) and Brochard (F.). — Critical elastic constants and viscosities above a nematic-smectic A transition of second order. Kauffer (E.), Gerl (M.). — Contribution de la bande d à l'énergie de liaison d'une bilacune dans les métaux de transition Kekelidze (N. P.), Kekelidze (G. P.), Makharadze (Z. D.) and Khachidze (V. P.). — Reflection spectra of highly doped n-InP_xAs_{1-x} solid solutions. Kekelidze (G. P.). — Voir Kekelidze (N. P.). Khachidze (V. P.). — Voir Kekelidze (N. P.). Kléman (M.). — Linear theory of dislocations in a smectic A 	847 301 839 365 365 365 595
Brouers (F.). — Voir Lederer (P.). Buisson (R.). — Voir Le Si Dang	171 49 163 371 509 861 141 67 557	 Héritier (M.). — Voir Lederer (P.). Herpin (J. C.), Meunier (J.). — Etude spectrale de la lumière diffusée par les fluctuations thermiques de l'interface liquide vapeur de CO₂ près de son point critique. Mesure de la tension superficielle et de la viscosité. Jähnig (F.) and Brochard (F.). — Critical elastic constants and viscosities above a nematic-smectic A transition of second order. Kauffer (E.), Gerl (M.). — Contribution de la bande d à l'énergie de liaison d'une bilacune dans les métaux de transition Kekelidze (N. P.), Kekelidze (G. P.), Makharadze (Z. D.) and Khachidze (V. P.). — Reflection spectra of highly doped n-InP_xAs_{1-x} solid solutions Kekelidze (G. P.). — Voir Kekelidze (N. P.) Khachidze (V. P.). — Voir Kekelidze (N. P.) Kléman (M.). — Linear theory of dislocations in a smectic A Lacam (A.). — Voir Leliwa Kopystynski (J.) 	301 839 365 365 365
Brouers (F.). — Voir Lederer (P.). Buisson (R.). — Voir Le Si Dang. Carrara (P.). — Voir Gélard (J.)	171 49 163 371 509 861 141 67 557	 Héritier (M.). — Voir Lederer (P.). Herpin (J. C.), Meunier (J.). — Etude spectrale de la lumière diffusée par les fluctuations thermiques de l'interface liquide vapeur de CO₂ près de son point critique. Mesure de la tension superficielle et de la viscosité. Jähnig (F.) and Brochard (F.). — Critical elastic constants and viscosities above a nematic-smectic A transition of second order. Kauffer (E.), Gerl (M.). — Contribution de la bande d à l'énergie de liaison d'une bilacune dans les métaux de transition Kekelidze (N. P.), Kekelidze (G. P.), Makharadze (Z. D.) and Khachidze (V. P.). — Reflection spectra of highly doped n-InP_xAs_{1-x} solid solutions. Kekelidze (G. P.). — Voir Kekelidze (N. P.). Khachidze (V. P.). — Voir Kekelidze (N. P.). Kléman (M.). — Linear theory of dislocations in a smectic A 	847 301 839 365 365 365 595
Brouers (F.). — Voir Lederer (P.). Buisson (R.). — Voir Le Si Dang. Carrara (P.). — Voir Gélard (J.)	171 49 163 371 509 861 141 67 557	 Héritier (M.). — Voir Lederer (P.). Herpin (J. C.), Meunier (J.). — Etude spectrale de la lumière diffusée par les fluctuations thermiques de l'interface liquide vapeur de CO₂ près de son point critique. Mesure de la tension superficielle et de la viscosité. Jähnig (F.) and Brochard (F.). — Critical elastic constants and viscosities above a nematic-smectic A transition of second order. Kauffer (E.), Gerl (M.). — Contribution de la bande d à l'énergie de liaison d'une bilacune dans les métaux de transition Kekelidze (N. P.), Kekelidze (G. P.), Makharadze (Z. D.) and Khachidze (V. P.). — Reflection spectra of highly doped n-InP_xAs_{1-x} solid solutions. Kekelidze (G. P.). — Voir Kekelidze (N. P.). Khachidze (V. P.). — Voir Kekelidze (N. P.). Kléman (M.). — Linear theory of dislocations in a smectic A Lacam (A.). — Voir Leliwa Kopystynski (J.). Lacam (A.), Peyronneau (J.) et Leliwa Kopystynski 	847 301 839 365 365 365 595
Brouers (F.). — Voir Lederer (P.). Buisson (R.). — Voir Le Si Dang. Carrara (P.). — Voir Gélard (J.) Carton (J. P.). — Voir Dubois (J. Y.) Chevalier (R.) et Do Dinh (C.). — Etude aux rayons X, par diffraction neutronique et par effet Mössbauer des solutions solides Ba (Fe _x Ga _{1-x}) ₂ O ₄ Clément (S.). — Voir Tchao (Y. H.) Coelho (R.). — Voir Sibillot (P.) Conte (R.). — Détermination théorique de l'ordre d'un changement de phase displacif à d dimensions Coulon (G.), Lecoq (J.), Escaig (B.). — X-Ray dislocation substructure observations and strengthening mechanism in α-iron single crystal between room temperature and 123 K Couzi (M.), Denoyer (F.), Lambert (M.). — Mise en évidence d'un ordre à courte distance dans la phase III des cristaux de NH ₄ Cl, rappelant la phase III des cristaux de NH ₄ Br. Delacote (G.). — Voir Bouchriha (H.) De Mey (G.). — Cole-Cole diagram of the non linearised relaxation equation	171 49 163 371 509 861 141 67 557 753	 Héritier (M.). — Voir Lederer (P.). Herpin (J. C.), Meunier (J.). — Etude spectrale de la lumière diffusée par les fluctuations thermiques de l'interface liquide vapeur de CO₂ près de son point critique. Mesure de la tension superficielle et de la viscosité. Jähnig (F.) and Brochard (F.). — Critical elastic constants and viscosities above a nematic-smectic A transition of second order. Kauffer (E.), Gerl (M.). — Contribution de la bande d à l'énergie de liaison d'une bilacune dans les métaux de transition Kekelidze (N. P.), Kekelidze (G. P.), Makharadze (Z. D.) and Khachidze (V. P.). — Reflection spectra of highly doped n-InP_xAs_{1-x} solid solutions. Kekelidze (G. P.). — Voir Kekelidze (N. P.). Khachidze (V. P.). — Voir Kekelidze (N. P.). Kléman (M.). — Linear theory of dislocations in a smectic A Lacam (A.), Peyronneau (J.) et Leliwa Kopystynski (J.). — Etude cinétique de l'effet d'hystérésis dans les transitions polymorphiques induites par la pression 	301 839 365 365 365 595 609
Brouers (F.). — Voir Lederer (P.). Buisson (R.). — Voir Le Si Dang. Carrara (P.). — Voir Dubois (J. Y.). Carton (J. P.). — Voir Dubois (J. Y.). Chevalier (R.) et Do Dinh (C.). — Etude aux rayons X, par diffraction neutronique et par effet Mössbauer des solutions solides Ba (Fe _x Ga _{1-x}) ₂ O ₄ Clément (S.). — Voir Tchao (Y. H.). Coelho (R.). — Voir Sibillot (P.). Conte (R.). — Détermination théorique de l'ordre d'un changement de phase displacif à d dimensions Coulon (G.), Lecoq (J.), Escaig (B.). — X-Ray dislocation substructure observations and strengthening mechanism in α-iron single crystal between room temperature and 123 K. Couzi (M.), Denoyer (F.), Lambert (M.). — Mise en évidence d'un ordre à courte distance dans la phase II des cristaux de NH ₄ Cl, rappelant la phase III des cristaux de NH ₄ Br Delacote (G.). — Voir Bouchriha (H.). De Mey (G.). — Cole-Cole diagram of the non linearised relaxation equation. Denoyer (F.). — Voir Couzi (M.). Desoyer (J. C.). — Voir Dinhut (J. F.).	171 49 163 371 509 861 141 67 557 753 577 577 867	Héritier (M.). — Voir Lederer (P.). Herpin (J. C.), Meunier (J.). — Etude spectrale de la lumière diffusée par les fluctuations thermiques de l'interface liquide vapeur de CO2 près de son point critique. Mesure de la tension superficielle et de la viscosité. Jähnig (F.) and Brochard (F.). — Critical elastic constants and viscosities above a nematic-smectic A transition of second order. Kauffer (E.), Gerl (M.). — Contribution de la bande d à l'énergie de liaison d'une bilacune dans les métaux de transition Kekelidze (N. P.), Kekelidze (G. P.), Makharadze (Z. D.) and Khachidze (V. P.). — Reflection spectra of highly doped n-InP _x As _{1-x} solid solutions. Kekelidze (G. P.). — Voir Kekelidze (N. P.). Khachidze (V. P.). — Voir Kekelidze (N. P.). Kléman (M.). — Linear theory of dislocations in a smectic A Lacam (A.), Peyronneau (J.) et Leliwa Kopystynski (J.). Lacam (A.), Peyronneau (J.) et Leliwa Kopystynski (J.). Lacam (G.). — Voir Bonnelle (C.).	301 839 365 365 365 595 609
Brouers (F.). — Voir Lederer (P.). Buisson (R.). — Voir Le Si Dang. Carrara (P.). — Voir Dubois (J. Y.). Carton (J. P.). — Voir Dubois (J. Y.). Chevalier (R.) et Do Dinh (C.). — Etude aux rayons X, par diffraction neutronique et par effet Mössbauer des solutions solides Ba (Fe _x Ga _{1-x}) ₂ O ₄ Clément (S.). — Voir Tchao (Y. H.). Coelho (R.). — Voir Sibillot (P.). Conte (R.). — Détermination théorique de l'ordre d'un changement de phase displacif à d dimensions Coulon (G.), Lecoq (J.), Escaig (B.). — X-Ray dislocation substructure observations and strengthening mechanism in α-iron single crystal between room temperature and 123 K Couzi (M.), Denoyer (F.), Lambert (M.). — Mise en évidence d'un ordre à courte distance dans la phase II des cristaux de NH ₄ Cl, rappelant la phase III des cristaux de NH ₄ Br. Delacote (G.). — Voir Bouchriha (H.). Delannoy (P.). — Voir Bouchriha (H.). Delannoy (F.). — Voir Bouchriha (H.). Denoyer (F.). — Voir Couzi (M.). Denoyer (F.). — Voir Couzi (M.). Devreux (F.), Boucher (JP.) et Nechtschein (M.).	171 49 163 371 509 861 141 67 557 753 577 577 867 753	Héritier (M.). — Voir Lederer (P.)	301 839 365 365 365 365 595 609 287 295
Brouers (F.). — Voir Lederer (P.). Buisson (R.). — Voir Le Si Dang. Carrara (P.). — Voir Gélard (J.)	171 49 163 371 509 861 141 67 557 753 577 577 867 753 447	Héritier (M.). — Voir Lederer (P.)	301 839 365 365 365 595 609
Brouers (F.). — Voir Lederer (P.). Buisson (R.). — Voir Le Si Dang. Cartara (P.). — Voir Gélard (J.)	171 49 163 371 509 861 141 67 557 753 577 577 867 753	Héritier (M.). — Voir Lederer (P.)	301 839 365 365 365 365 595 609 287 295
Brouers (F.). — Voir Lederer (P.). Buisson (R.). — Voir Le Si Dang	171 49 163 371 509 861 141 67 557 753 577 577 867 753 447	Héritier (M.). — Voir Lederer (P.)	301 839 365 365 365 365 595 609 287 295
Brouers (F.). — Voir Lederer (P.). Buisson (R.). — Voir Le Si Dang	171 49 163 371 509 861 141 67 557 753 577 577 867 753 447	Héritier (M.). — Voir Lederer (P.)	301 839 365 365 365 595 609 287 295 425
Brouers (F.). — Voir Lederer (P.). Buisson (R.). — Voir Le Si Dang	171 49 163 371 509 861 141 67 557 753 577 577 867 753 447	Héritier (M.). — Voir Lederer (P.)	301 839 365 365 365 595 609 287 295 425

Lannoo (M.). — Voir Lagersie (D.)	557	Peyronneau (J.). — Voir Leliwa Kopystynski (J.) Pieranski (P.). — Voir Vilanove (R.) Ptak (M.). — Voir Sy (D.)	609 153 517
rity states in Mott insulators	171	Raffy (H.). — Voir Petipas (C.)	377 149
transitions polymorphiques. Influence de la surpression Leliwa Kopystynski (J.). — Voir Lacam (A.)	609 287	Sauvage (G.). — Voir Petipas (C.)	377 577
Le Si Dang, Buisson (R.) and Williams (F. I. B.). — Dynamics of an octahedral Cu ²⁺ Jahn-Teller sys-	91	Sibillot (P.), and Coelho (R.). — Prebreakdown events in liquid nitrogen	141
tem. Consequences on its electron spin resonance Levelut (A. M.), Doucet (J.), Lambert (M.). — Etude par diffusion de rayon X de la nature des phases	49	Singh (M. P.) and Verma (G. S.). — Role of different polarisation branches in the phonon conductivity of NaCI, KCI, KBr and KI in the temperature range	
smectiques B et de la transition de phase solide- smectique B	773	1-100 K Singh (M. P.), Verma (G. S.). — Lattice thermal conductivity of p-type III-V semiconductors and p-Si at	263
Lohez (D.), Lannoo (M.). — Structure électronique des surfaces (110) des semiconducteurs de type zinc-blende par une méthode de liaisons fortes	647	low temperatures	571 7-247
Makharadze (Z. D.). — Voir Kekelidze (N. P.) Masri (P.). — Calcul de phonons de surface par une	365	Song (K. S.). — Dielectrically defined electronegativity and interband energy gaps of covalent solids Sy (D.) and Ptak (M.). — E. S. R. study of some 4-me-	129
méthode simple Melville (D.). — Voir Ricodeau (J. A.) Meunier (J.). — Voir Herpin (J. C.)	433 149 847	thoxybenzilidene-4'-amino-n-alkyl cinnamates Tchao (Y. H.), Clément (S.). — Anisotropie du temps	517
Mitescu (C.). — Voir Vilanove (R.)	153 447	de relaxation des protons dans le TMMC Toulouse (G.). — Voir Lacour-Gayet (P.)	861 425
Nasser (J. A.). — Etude théorique du couplage magnéto-élastique dans $FeCl_2$. II. Applications: propriétés au voisinage de T_N	83 271	Verma (G. S.). — Voir Singh (M. P.)	263 759
Ormancey (G.) et Godefroy (G.). — Calcul des courants et de la répartition de potentiel dans un isolant. Cas d'un cristal pur	135	Vilanove (R.), Guyon (E.), Mitescu (C.) et Pieranski (P.). — Mesure de la conductivité thermique et détermination de l'orientation des molécules à l'inter-	,55
Pangalos (C.), Allain (Y.), Williams (F. I. B.). — Pola-	133	face nématique isotrope de MBBA	153
rization of a paramagnet by a fast high intensity magnetic field pulse: spin and phonon relaxation, phonon spectroscopy	989	sional ferro- and antiferromagnets with an easy magnetization plane. I. Ideal 1-D or 2-D lattices without in-plane anisotropy	27
Peneau (A.). — Voir Gourdji (M.)	497	Williams (F. I. B.). — Voir Pangalos (C.). Williams (F. I. B.). — Voir Le Si Dang	989
à concentration modulée spatialement	377 287	Williams (C.), Bouligand (Y.). — Fils et disinclinaisons dans un nématique en tube capillaire	589

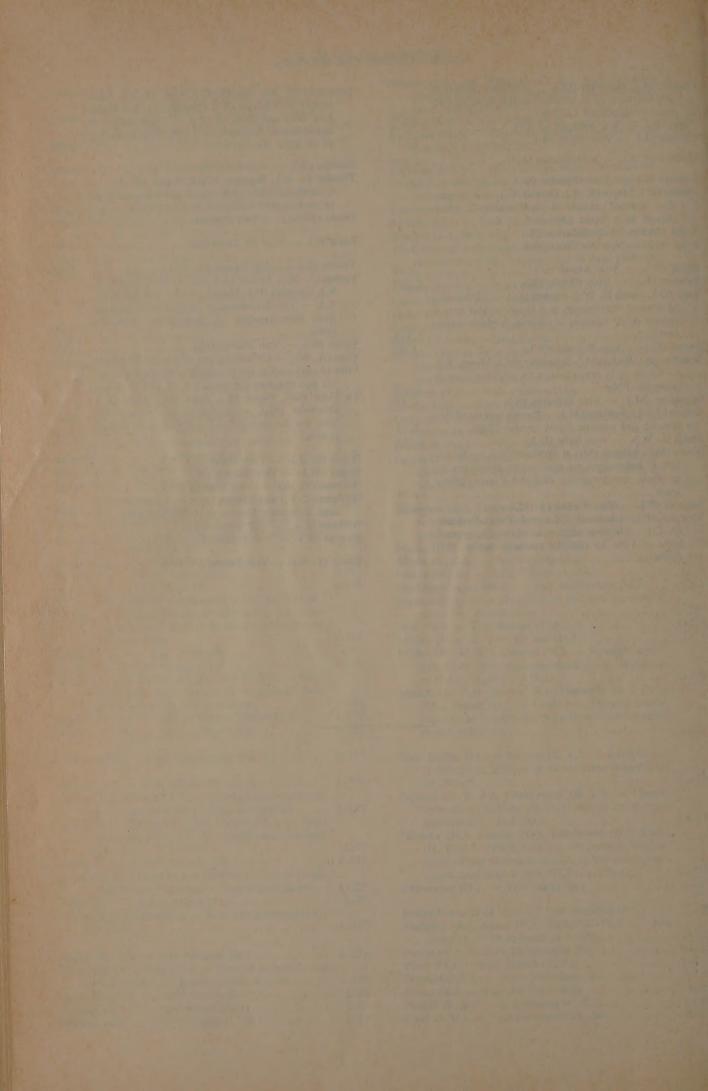
JOURNAL DE PHYSIQUE LETTRES

Tome 35 — 1974

Ader (B.). — Voir Deleplanque (M. A.)	L-237 L-207	Chakraverty (B. K.). — Voir Nguyen (T. T. A.) Chantepie (M.). — Effet Stark des niveaux 6 ³ D ₃ , 6 ³ D ₂ et 6 ¹ D ₂ du mercure	L-37
— Photoemission from (100) molybdenum surfaces.	L-179	Charvet (A.), Chéry (R.) et Duffait (R.) — Sur la désintégration d'un isotope nouveau : le tellure 113	L-173
Alquié (G.), Kreisler (A.), Sadoc (G.) and Burger (JP.).	2117	$(T_{1/2} = 2.0 \text{ min})$	L-41
- Electron spin resonance of Mn in Pd and		Chéron (B.), Cremer (G.), Lecler (D.), Saintout (L.)	
Pd-H	L-69	- Excitation et alignement des atomes de	
Bacri (J. C.). — Mesure de quelques coefficients de		cadmium dans le niveau 6 3S ₁ par collision contre	
viscosité dans la phase nématique d'un cristal		des atomes de mercure dans le niveau 6 ¹ P ₁ Chéry (R.). — Voir Charvet (A.)	L-247
liquide	L-141	Cinti (R. C.). — Voir Al Khoury Nemeh (E.)	L-41 L-179
Bagieu (G.). — Voir Swiniarski (R. de)	L-25	Cole (A. J.). — Voir Swiniarski (R. de)	L-25
Baille (P.), Darewych (J. W.). — Collisions entre un		Coqblin (B.). — Voir Jullien (R.)	L-197
positron et une molécule d'hydrogène avec exci-	T 242	Costa (P.). — Voir Begot (J. J.)	L-125
tation de vibrations	L-243 L-261	Costa (P.). — Voir Begot (J. J.)	L-225
Bates (C. A.). — Voir Vasson (A. M.)	L-73	Cremer (G.). — Voir Chéron (B.)	L-247
Begot (J. J.), Caudron (R.), Faivre (P.), Lasalmonie	2 .2	Darewych (J. W.). — Voir Baille (P.)	L-243
(A.), Costa (P.). — Chaleur spécifique à basse		Deleplanque (M. A.), Gerschel (C.), Perrin (N.),	11-2-13
température de la famille Ni _{1-x} Co _x Al : observa-		Ader (B.), Ishihara (M.). — Couplage de Coriolis	
tions en relation avec la structure de bandes de		dans la couche $g_{9/2}$	L-237
ces composés et la transformation martensitique	121220	Delrieu (J. M.). — Effet d'un champ électrique dans	
de Ni _{1+y} Al _{1-y}	L-225	l'hélium 3 superfluide	L-189
Begot (J. J.), Caudron (R.), Faivre (P.), Costa (P.).		Dianoux (A. J.). — Voir Hervet (H.)	L-151
— Chaleur spécifique associée à l'effet Kondo	L-125	Doukhan (N.), Escaig (B.). — Dissociation of dislo-	T 101
dans les composés $Co_{1+x}Al_{1-x}$ Benoît (H.). — Voir Munch (J. P.)	L-123 L-239	cations in spinels (Al ₂ O ₃) _{1.8} Mg O	L-181 L-91
Bertaut (E. F.). — Voir Nasr Eddine (M.)	L-57	Duffait (R.). — Voir Charvet (A.)	L-91
Betrencourt (M.), Morillon-Chapey (M.). — Résonance	1.77	Dufour (G.), Bonnelle (C.). — Spectre Auger N _{4,5} du	2 31
anharmonique entre v_1 (A ₁) et ($v_3 + v_5 + v_6$)		gadolinium	L-255
$(A_1 + A_2)$ de CH_3Br	L-213	Duplessix (R.). — Voir Munch (J. P.)	L-239
Birnboim (A.), Gutfreund (H.). — BCS-mechanism		Dupont-Roc (J.), Leduc (M.). — Population and	
and phonon softening in one-dimensional sys-		orientation mechanisms for excited states in	15
tems	L-147	helium discharges	L-175
Bobin (B.) et Hilico (J. C.). — Note sur la bande de vibration-rotation ($v_3 + v_4$) du méthane ¹² CH ₄	L-65	Durand (G.). — Voir Ribotta (R.)	L-161 L-165
Bobin (B.). — Sur la bande de vibration-rotation	E-03	Duval (H.), Duval (Ph.), Henry (L.). — Influence de	L-105
$ (v_1 + v_4) \text{ du méthane } ^{12}\text{CH}_4 \dots $	L-121	la diffusion thermique sur la formation des con-	
Boccara (N.), Sarma (G.). — Does magnetic surface		trastes de diffraction des images électroniques	L-169
order exist ?	L-95	Duval (Ph.). — Voir Duval (H.)	L-169
Boilot (J. P.). — Voir Jérome (D.)	L-129	Francis (D.) Voir Doulthon (N.)	T 101
Bonnelle (C.). — Voir Dufour (G.)	L-255	Escaig (B.). — Voir Doukhan (N.) Esnouf (C.), Fantozzi (G.), Gobin (P. F.). — Mise en	L-181
Bréhat (F.), Wyncke (B.), Fuzellier (H.), Hadni (A.).		évidence de deux types d'ancrages sur les dislo-	
 Spectres de vibration du sulfate d'ammonium dans l'infrarouge lointain, dans les phases para- 		cations dans l'aluminium irradié puis déformé.	L-81
et ferroélectrique	L-143		
Briançon (Ch.). — Voir Thibaud (J. P.)	L-89	Faivre (P.). — Voir Begot (J. J.)	L-125
Brinkmann (D.). — Voir Niedoba (H.)	L-251	Faivre (P.). — Voir Begot (J. J.)	L-225 L-81
Brochard (F.). — Distorsion d'un film nématique		Farge (Y.). — Voir Kleemann (W.)	L-135
sous champ magnétique tournant	L-19	Fert (A.). — On the extraordinary Hall effect of the	
Burger (J. P.). — Voir Alquié (G.)	L-69	rare-earth metals	L-107
Cailliau (M.), Foucher (R.), Husson (J. P.), Letes-		Filippini (J. C.), Poggi (Y.). — Kerr effect in the iso-	
sier (J.). — Un noyau loin de la stabilité: le		tropic phase of nematic liquid crystals	L-99
182Pt	L-233	Fontana (M.). — Voir Schnur (J. M.)	L-53
Candau (S.). — Voir Munch (J. P.)	L-239	Foucher (R.). — Voir Cailliau (M.) Frénois (Ch.), Joffrin (J.), Levelut (A.). — Etude du	L-233
Caudron (R.). — Voir Begot (J. J.)	L-125 L-225	temps de relaxation T_2 des échos de phonons dans	
Caudron (R.). — Voir Begot (J. J.)	L-223	les poudres cristallines	L-221
Cautin (D.) ton Gatty (D.)			

Friedel (J.). — Sur les spectres de rayons X mous L _{2,3}		Kléman (M.) and Williams (C. E.). — Interaction	
à O _{2,3} dans les métaux des séries de transition.	L-5	between parallel edge dislocation lines in a smec-	T 40
Friedel (J.). — On the stability of the body centred	T 50	tic A liquid crystal	L-49 L-69
cubic phase in metals at high temperatures	L-59 L-143	Kuentzler (R.). — Electronic specific heat of dilute	L-09
Fuzellier (H.). — Voir Bréhat (F.)	L-143	transition metal borides	L-1
Gaillard (P.). — Voir Swiniarski (R. de)	L-25		
Galin (J.). — Voir Gatty (B.)	L-117	Lagrange (Ch.). — Effets systématiques des déforma-	
Gatty (B.), Guerreau (D.), Lefort (M.), Pouthas (J.),		tions nucléaires sur la section efficace totale neu-	T 111
Tarrago (X.), Galin (J.), Cauvin (B.), Girard (J.),		tron-noyau	L-111
Nifenecker (H.). — Mass and charge identifi-		Lasalmonie (A.). — Voir Begot (J. J.)	L-225 L-251
cation of the light products of the reaction		Lecante (J.), Ballu (Y.). — Spectroscopie des pertes	L-231
⁴⁰ Ar + ^{nat} Ni	L-117	d'énergie d'électrons. Application à l'étude de la	
Gavaix (A.). — Voir Vasson (A. M.)	L-73	chimisorption de l'oxygène sur la face (100) du	
Gennes (P. G. de). — Remarks on entanglements and	L-133	molybdène	L-261
rubber elasticity	L-133	Lechner (R. E.). — Voir Hervet (H.)	L-151
disclinations in a nematic fluid	L-217	Lecler (D.). — Voir Chéron (B.)	L-247
Gerschel (C.). — Voir Deleplanque (M. A.)	L-237	Leduc (M.). — Voir Dupont-Roc (J.)	L-175
Girard (J.). — Voir Gatty (B.)	L-117	Lefort (M.). — Voir Gatty (B.)	L-117
Gobin (P. F.). — Voir Esnouf (C.)	L-81	Lega (J.). — Voir Grégoire (G.)	L-11
Gorochov (O.). — Voir Plumier (R.)	L-265	Leleyter (M.) et Joyes (P.). — Mise en évidence de la	
Grégoire (G.), Lega (J.) et Renuart (J.). — Diffusion		stabilité d'ions polyatomiques par émission ionique secondaire : cas de l'ion AI ₂	L-85
inélastique de particules alpha de 40 MeV par	1000	Letessier (J.). — Voir Cailliau (M.).	L-233
le noyau 208Pb aux petits angles	L-11	Levelut (A.). — Voir Frénois (Ch.)	L-221
Grossiord (J. Y.). — Voir Swiniarski (R. de)	L-25	Linke (R.). — A new condition for magnetism in the	
Guerreau (D.). — Voir Gatty (B.)	L-117 L-25	Anderson model	L-203
Gusakow (M.). — Voir Swiniarski (R. de)	L-25	Lombardi (M.). — Voir Stoeckel (F.)	L-45
Gutfreund. — Voir Birnboim (A.)	L-147	Luspin (Y.), Hauret (G.). — Effet Brillouin du molyb-	
Guyon (E.). — Voir Malraison (B.)		date de gadolinium au voisinage du point de	
Cayon (23)	796	transition	L-193
Hadni (A.). — Voir Bréhat (F.)	L-143	Malraison (B.), Pieranski (P.) et Guyon (E.). — Dis-	
Hansen (JP.) and Klein (ML.). — Computer « ex-		torsion d'un film nématique dans un champ ma-	
periments » on solid rare gases : the dynamical		gnétique presque parallèle à l'axe optique	L-9
structure factor $S(\mathbf{Q}, \omega)$	L-29	Manet (P.). — Voir Scherrer (S.)	L-15
Hauret (G.). — Voir Luspin (Y.)	L-193	Meyer (R. B.). — Voir Ribotta (R.)	L-161
Hauret (G.). — Voir Jullien (R.)	L-197	Moore (W. S.). — Voir Vasson (A. M.)	L-73
Henry (L.). — Voir Duval (H.)	L-169	Morillon-Chapey (M.). — Voir Betrencourt (M.)	L-213
E.). — Uniaxial rotational diffusion in the smec-		Morkowski (J.). — Damping of the spin wave reso-	
tic B phase of TBBA observed by quasi-elastic		nance by dislocations	L-257
neutron scattering	L-151	Mory (J.). — Voir Jousset (J. C.)	L-229
Hilico (J. C.). — Voir Bobin (B.)	L-65	Müller (W.). — Voir Jérome (D.)	L-77
Ho (J. T.). — Voir Huang (C. C.)	L-185	dence of the metal-semiconductor transition	
Huang (C. C.), Pindak (R. S.), Ho (J. T.). — Bire-		of K ₂ Pt(CN) ₄ Br _{0.3} .3 H ₂ O	L-103
fringence and order parameter in nematic N-p-	7	Munch (J. P.), Candau (S.), Duplessix (R.), Picot	
cyanobenzylidene-p-octyloxyaniline	L-185	(Cl.), Benoit (H.). — Etude par diffusion inélas-	
Hudson (J. B.). — Voir Al Khoury Nemeh (E.)	L-179	tique de la lumière des propriétés viscoélastiques	
Husson (J. P.). — Voir Cailliau (M.)	L-233	de gels modèles	L-239
Ishihara (M.). — Voir Deleplanque (M. A.)	L-237	Noon Edding (M) of Bostont (E E)	
Tomata (1717).	2-257	Nasr Eddine (M.) et Bertaut (E. F.). — Analyse par	
Jérome (D.). — Voir Müller (W. H. G.)	L-103	la théorie de groupes de la structure magnétique de Mn ₂ N	L-57
Jérome (D.), Boilot (J. P.). — Nuclear magnetic relaxa-	Eliza.	Nguyen (T. T. A.), Chakraverty (B. K.). — Chemi-	2-31
tion of ²³ Na in Beta-Alumina electrolytes	L-129	sorption of indium on (111) silicon by a mass	
Jérome (D.), Müller (W.) and Weger (M.). — Pres-		spectrometric technique	L-37
sure investigation of the metal-semiconductor		Niedoba (H.), Launois (H.), Brinkmann (D.), Keller	
transition in TTF-TCNQ	L-77	(H. U.). — NMR evidence for critical fluctua-	
Joffrin (J.). — Voir Frénois (Ch.)	L-221	tions of the electronic density in the one-dimen-	100
Jousset (J. C.), Mory (J.) et Quillico (J. J.). — Décanalisation par l'hydrogène dans le palladium	L-229	sional conductor K ₂ Pt(CN) ₄ Br _{0.3} .3 H ₂ O	L-251
Joyes (P.). — Voir Leleyter (M.)	L-85	Nifenecker (H.). — Voir Gatty (B.)	L-117
Jullien (R.), Coqblin (B.). — Spin fluctuations in UAl ₂		Pebay-Peyroula (J. C.). — Voir Stoeckel (F.)	L-45
and PuAl ₂	L-197	Peghaire (A.), Aguer (P.), Torres (JPh.). — The	1,43
The United States of the said the first		decay of ¹⁵³ Tb to levels in ¹⁵³ Gd	L-207
Keller (H. U.). — Voir Niedoba (H.)	L-251	Perrin (N.). — Voir Deleplanque (M. A.)	L-237
Kleemann (W.), Farge (Y.). — Optical properties and		Picot (Cl.). — Voir Munch (J. P.)	L-239
spin dynamics of ferromagnetic K ₂ CuF ₄	L-135	Pieranski (P.). — Voir Malraison (B.)	L-9
Klein (ML.). — Voir Hansen (JP.)	L-29	Piquet (A.). — Voir Vu Thien Binh	L-91
Kléman (M.). — Voir Steers (M.)	L-21	Pindak (R. S.). — Voir Huang (C. C.)	L-185
Kléman (M.). — Voir Williams (C. E.)	L-33	Pizzi (J. R.). — Voir Swiniarski (R. de)	L-25

Plumier (R.), Gorochov (O.). — Etude par diffraction des neutrons de la structure magnétique de l'antiferro-magnétique LaCrSe ₃	L-265 L-99 L-117	Swiniarski (R. de), Bagieu (G.), Cole (A. J.), Gaillard (P.), Guichard (A.), Grossiord (J. Y.), Gusakow (M.) and Pizzi (J. R.). — Confirmation of hexadecapole deformation in ²⁰ Ne from scattering of 68 MeV ³ He particles	L-25
Quillico (J. J.). — Voir Jousset (J. C.)	L-229	Tarrago (X.). — Voir Gatty (B.)	L-117
Renuart (J.). — Voir Grégoire (G.) Ribotta (R.), Meyer (R. B.), Durand (G.). — Compression induced smectic-A to smectic-C phase change in a liquid crystal Rodot (M.). — Voir Scherrer (S.) Roux (H.). — Voir Vu Thien Binh	L-11 L-161 L-15 L-91	Thibaud (J. P.), Briançon (Ch.), Walen (R. J.). — Création de lacunes K lors d'une émission β de faible énergie : 203 Hg \rightarrow 203 * T1(279 keV) Torres (JPh.). — Voir Peghaire (A.)	L-89 L-207 L-91
Sadoc (G.). — Voir Alquié (G.)	L-69 L-247	Vasson (A.). — Voir Vasson (A. M.)	L-73
tion	L-165	times	L-151
Sarma (G.). — Voir Boccara (N.)	L-95	Vries (A. de). — Different types of smectic H phases Vries (A. de). — On the relationship between miscibi-	L-157
— Etude de la précipitation du sélénium dans le composé PbSe	L-15 L-15	lity and structure for smectic A, B, and C phases Vu Thien Binh, Piquet (A.), Roux (H.), Uzan (R.), Drechsler (M.). — Influence de l'évaporation	L-139
smectic and nematic liquid crystal TBBA	L-53	libre sur des mesures d'autodiffusion de surface	T 01
Smith (I. W.). — Voir Salin (D.)	L-165	(cuivre)	L-91
Steers (M.), Kléman (M.) et Williams (C.). — Résul-		Walen (R. J.). — Voir Thibaud (J. P.)	L-89
tats d'observations au microscope polarisant de la phase smectique du diéthyl-4-4'-azoxydibenzoate	L-21	Weger (M.). — Voir Jérome (D.)	L-77 L-49
Steggles (P.). — Voir Vasson (A. M.) Stoeckel (F.), Lombardi (M.) and Pebay-Peyroula	L-73	edge dislocation lines in an A-phase smectic Williams (C.). — Voir Steers (M.).	L-33 L-21
(J. C.). — Nuclear alignment of the ¹ S ₀ ground		Wyncke (B.). — Voir Bréhat (F.)	L-143
state of ²¹ Ne by electron pumping using R-F discharge	L-45	Yalcin (T. S.). — Voir Vasson (A. M.)	L-73



REVUE de PHYSIQUE APPLIQUÉE

Tome 9 — 1974

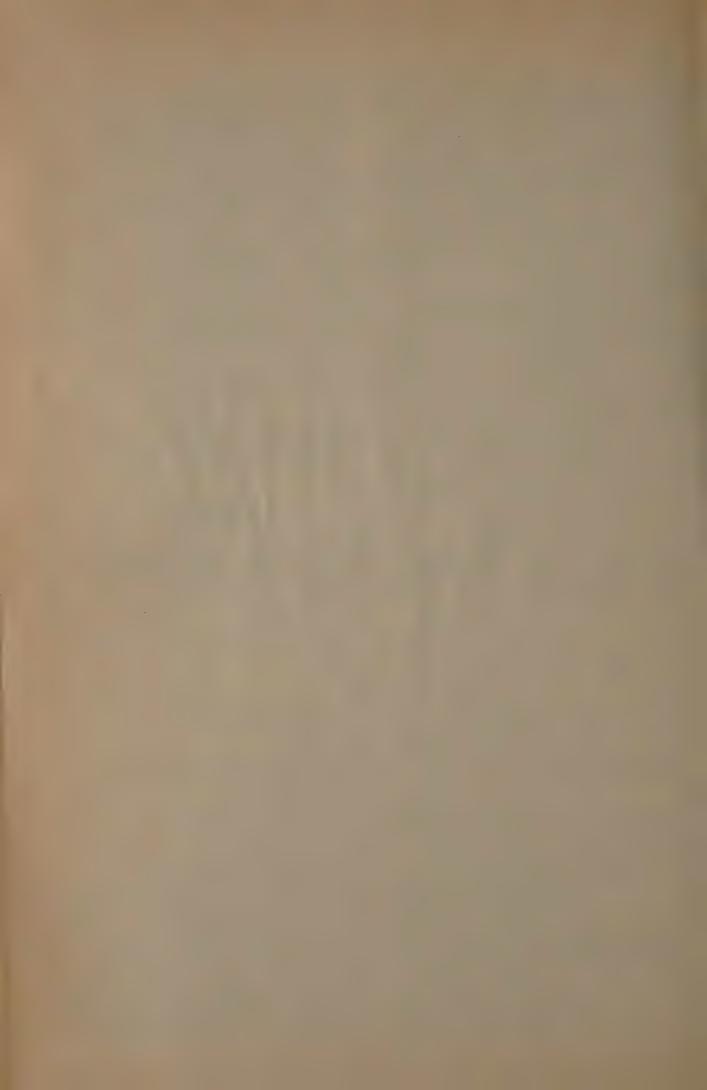
PHYSIQUE APPLIQUEE		Brissonneau (P.). — Les domaines magnétiques	783
ET PROPRIÉTÉS DE LA MATIÈRE		Brodbeck (C.). — Voir Bouanich (JP.)	475
		Bugnet (P.). — Influence des régions de charge d'espace	
A.T. Ches. VI. 1 m		superficielles sur l'absorption optique des couches	
Adam (M.). — Voir Beysens (D.)	465	minces polycristallines de ZnS	447
Adde (R.), Crozat (P.), Gourrier (S.), Vernet (G.), Bern-		Bui (H. B.) et Dang Van (K.). — Trois problèmes non	-117
heim (M.), Zenatti (D.). — Ion beam machining of			
niobium weakly superconducting microbridges	179	linéaires de l'étude mécanique de la rupture des maté-	605
Adde (R.). — Voir Vernet (G.)	275	riaux	605
Andriesse (C. D.). — Josephson junctions as resonant		Bystrov (V. A.), Dmitriev (V. M.), Pavluk (V. A.). — One	
detectors	119	possibility of solving the «impedance problem» for	
Arsenovici (L. C.), Teodorescu (V.) et Teodorescu (I. A.). —	117	Josephson junctions	309
		Cardinne (P.), Nordman (J.), Renard (M.). — On the use of	
Temperature influence on the polygonization pheno-		low barrier potential materials to improve high fre-	
menon induced on NaCl surfaces bombarded with		quency coupling to Josephson tunnel junctions	167
electrons and illuminated	707	Challeton (D.). — Voir Mareschal (J.)	865
Auger (J. P.) et François (D.). — Mesures de ténacité sur un		Chang (C. S.), Stehle (P.). — Theory of frequency mixing.	249
alliage d'aluminium à haute résistance sous pression			20 17
hydrostatique	637	Chardon (J. C.), Genty (C.), Guichon (D.), Sungur (N.) et	
Auracher (F.), van Duzer (T.). — Mixing in superconduct-		Theobald (J. G.). — Spectre radiofréquence du formal-	0.61
ing weak links: numerical calculations and experi-		déhyde. Substitutions isotopiques	961
mental results	233	Chermant (JL.), Deschanvres (A.), Iost (A.) et Meyer (R.).	
Azria (R.), Roussier (L.), Paineau (R.) et Tronc (M.).	200	— Application de la mécanique de la rupture à WC-Co	636
Attachement électronique dissociatif sur HCI et DCI.	469	Chevrier (J.), Etienne (D.) et Bougnot (G.). — Evaporation	
	407	du séléniure de zinc en tube ouvert sous flux d'argon et	
Bak (C. K.). — An electronic equivalent scheme of a	1.0	d'hydrogène	315
Josephson junction	15	Chevrier (J.). — Voir Joullie (A.)	455
Barone (A.), Rissman (P.), Russo (M.). — Effect of prepa-		Chiao (R. Y.). — Voir Parrish (P. T.)	229
ration parameters on light sensitivity in superconduc-		Chiao (R. Y.), Feldman (M. J.), Ohta (H.), Parrish (P. T.).	
tive tunnel juctions	73	— Fabrication of small microbridges	183
Beasley (M. R.). — Voir Skocpol (W. J.)	19		1-187
Bergez (D.). — La rupture des plaques et des coques fissu-			1-107
rées	599	Chirat (R.) et Fontaine (G.). — Observations dans les semi-	277
Bernheim (M.). — Voir Adde (R.)	179	conducteurs à l'aide du mode induit	373
Beysens (D.), Vacher (R.), Searby (G. M.), Boyer (L.) and		Churilov (G. E.). — Voir Galaiko (V. P.)	161
Adam (M.). — Rayleigh scattering from pivalic acid	465	Claasen (J. H.). — Voir Taur (Y.)	263
Blaney (T. G.). — Heterodyne laser radiation detection at	100	Clark (T. D.). — Detection and emission of radiation by	
	279	arrays of junctions	207
891 GHz using Josephson point contacts		Clarke (J.), Hoffer (G. I.), Richards (P. L.). — Super-	
Bois (D.). — Voir Schiller (C.)	361	conducting tunnel junction bolometers	69
Boissenot (J. M.), Lachat (J. C.) et Watson (J.). — Etude	C11	Crozat (P.). — Voir Adde (R.)	179
par équations intégrales d'une éprouvette C. T. 15	611	Cupp (J. D.). — Voir Edrich (J.)	195
Bouanich (JP.) et Brodbeck (C.). — Etalonnage et dépla-		Cupp (J. D.). — Voir Wells (J. S.)	285
cement des raies de vibration-rotation des bandes		Cupp (J. D.). — Voir Macdonald (D. G.)	273
$0 \rightarrow 2$ et $0 \rightarrow 3$ de l'oxyde de carbone	475		20,0
Bougnot (G.). — Voir Chevrier (J.)	315	Dana (V.). — Analyse de la structure rotationnelle de la	711
Bougnot (G.). — Voir Joullie (A.)	455	bande de vibration-rotation v_3 du dioxyde d'azote	711
Boyer (L.). — Voir Beysens (D.)	465	Dang van (K.). — Voir Bui (H. B.)	605
Brehat (F.) et Hadni (A.). — Modification du spectre		Daval (J.). — Voir Mareschal (J.)	865
d'absorption dans l'infrarouge lointain du phosphate		Danielson (B. L.). — Voir Macdonald (D. G.)	273
		Deaver, Jr (B. S.). — Absorption spectroscopy via the	
dihydrogéno-ammonique lors de la transformation	443	I-V curve of a Josephson junction	297
antiferroélectrique	443	Dedies (R.). — Voir Joullie (A.)	455
Bresse (J. F.). — Utilisation quantitative du courant induit		Delbos (G.). — Etude du comportement diélectrique de	
en microscopie électronique à balayage pour l'étude des	0.51		
composants silicium	354	solutions aqueuses de glycine en bande Ku en utilisant	
Bridoux (E.). — Voir Martin (M.)	515	une méthode originale de perturbation en cavité réson-	067
Bridoux (E.). — Voir Rouvaen (J. M.)	693	nante	967
Brini (J.), Kamarinos (G.) et Viktorovitch (P.) — Simula-		Demenet (J. L.), Eymery (J. P.) et Moine (P.). — Influence	
tion de la cinétique des transitions électroniques entre		de la non-stœchiométrie et de l'addition de vanadium	
les niveaux énergétiques d'un semiconducteur doté		sur l'état d'ordre et les propriétés mécaniques d'alliages	
Alimanatia	451	fer-cobalt	721

THE STATE OF THE S	2.4	Guyot (P.). — Elargissement par les dislocations des	
Dempsey (D. G.). — Voir Ulrich (B. T.)	34		
Deprun (C.), Gauvin (H.), Lagarde (B.) et Le Beyec (Y.). —		pseudo-lignes de Kikuchi	393
Application de la technique du jet d'hélium à l'identifi-		Gygax (S.), Zingg (W.). — Response of a Josephson	
			269
cation en ligne de nouveaux noyaux par la détection de		receiver with a Nb ₃ Sn ribbon contact at 70 GHz	
leurs rayonnements gamma	895	Hadni (A.). — Voir Brehat (F.)	443
Deschanvres (A.). — Voir Chermant (JL.)	636	Hadni (A.). — Voir Wyncke (B.)	479
			.,,
Desmons (J. Y.). — Voir Martin (M.)	515	Haen (P.) et Teixeira (J.). — Résistivité électrique à basse	
Divin (Yu. Ya.), Nad' (F. Ya), Polyanskii (O. Yu), Vol-		température du niobium et d'alliages niobium-hafnium	
kov (A. F.). — Some characteristics of Josephson junc-		*	879
	105	en phase cubique	
tions as radiation detectors	125	Harland (C. J.). — Voir Venables (J. A.)	419
Dmitriev (V. M.). — Voir Bystrov (V. A.)	309	Hashimoto (H.). — Voir Stern (R. M.)	385
Dmitriev (V. M.). — Voir Galaiko (V. P.)	161	Hasselberg (L. E.), Levinsen (M. T.), Samuelsen (M. R.). —	
Dorizzi (M. P.). — Voir Maurice (F.)	399	Theories of « subharmonic » gap structures in super-	
Dunkleberger (L. N.). — Voir Fulton (T. A.)	299		157
		conducting junctions	
Ecker (K. H.). — Voir Venables (K. H.)	419	Hatzakis (M.). — Voir Laibowitz (R. B.)	165
Edrich (J.), Cupp (J. D.), McDonald (D. G.) Field-		Hauser (M. G.), Palmer (D. W.). — dc responsivity of pro-	
		ximity effect bridges to high frequency radiation	53
usable shrapless wafers for Josephson effect devices at			
milimeter waves	195	Heliot (J.). — Voir Labbens (R.)	587
Elsley (R. K.), Sievers (A. J.). — Tunable far infrared radia-		Hoffer (G. I.). — Voir Clarke (J.)	69
* * * * * * * * * * * * * * * * * * * *	205		-
tion from Josephson junctions	295	Hoffmann (A.). — Experimental determination of the qua-	
Erne (S. N.). — Analog computation of heterodyne with a		lity factors of self excited Josephson T. E. M. reso-	
voltage-biased Josephson point-contact	243		312
		nance modes	314
Etienne (D.). — Voir Chevrier (J.)	315	Hoffmann Soerensen (O.), Kofoed (B.), Pedersen (N. F.),	
Eymery (J. P.). — Voir Demenet (J. L.)	721	Shapiro (S.). — Effect of rf on subharmonic gap struc-	
			1.51
Feldman (M. J.). — Voir Parrish (P. T.)	229	ture in superconducting junctions	153
Feldman (M. J.). — Voir Ohta (H.)	1-187	Iost (A.). — Voir Chermant (JL.)	636
Feldman (M. J.) Voir Chiao (R. Y.)	183		
		Jannot (B.). — Mise en évidence d'un champ électrique cri-	
Ferrand (B.). — Voir Mareschal (J.)	865	tique dans le comportement pyroélectrique de T. G. S.	955
Finnegan (T. K.). — Voir Soulen (R. J.)	305	Jarvis (S.). — Voir Wells (J. S.)	285
	500		
Finnegan (T. F.), Wilson (J.), Toots (J.). — Interactions in		Jeantils (H.). — Voir Grunberg (G.)	859
small systems of coupled Josephson junctions at micro-		Jensen (B. U.). — Voir Kofoed (B.)	191
	199		
waves frequencies		Johnson (E. G.). — Voir McDonald (D. G.)	273
Fontaine (G.). — Voir Chirat (R.)	373	Jones (G. A. C.). — Voir Gopinath (A.)	347
François (D.). — Voir Auger (J. P.)	637	Joullie (A.), Dedies (R.), Chevrier (J.) et Bougnot (G.). —	
Fulton (T. A.), Dunkleberger (L. N.). — Vortex propaga-		Diagramme de phases et croissance par épitaxie en	
tion and radiation emission in Josephson tunnel junc-		phase liquide du $Ga_xIn_{1-x}Sb$	45:
tions	299	Kamarinos (G.). — Voir Brini (J.)	45
			43.
Galaiko (V. P.), Dmitriev (V. M.), Khristenko (E. V.),		Kanter (H.). — Josephson junction mixer using an external	
Churilov (G. E.). — Mechanism for nonstationary		local oscillator	255
behaviour of thin-film superconducting bridges in the		Kanter (H.). — Negative resistance effects with Josephson	
resistive current state	161	junctions	221
Gallot (J.). — Voir Menand (A.)	323	Kimoto (S.). — Voir Stern (R. M.)	385
Galmiche (A.) et Gasc (C.). — Influence comparée de diffé-			
Gainnelle (A.) et Gase (C.). — Innuence comparee de dine-		Khristenko (E. V.). — Voir Galaiko (V. P.)	161
rentes méthodes de préfissuration sur le comportement		Kofoed (B.), Jensen (B. U.), Saermark (K.). — Preparation	
à la rupture des aciers	629	of microbridges and small area tunnel junctions	191
Casa (C) Voir Colmisha (A)			
Gasc (C.). — Voir Galmiche (A.)	629	Kofoed (B.). — Voir Hoffmann-Soerensen (O.)	153
Gauvin (H.). — Voir Deprun (C.)	895	Kofoed (B.), Saermark (K.). — Response of Sn and In	
Gay (J. C.). — Voir Mareschal (J.)	865	microbridges to applied 10 GHz, 70 GHz, 300 GHz at	
Genty (C.). — Voir Chardon (J. C.)	961	temperatures well below T _c	34
Gerbaux (X.). — Voir Wyncke (B.)	479	Kulikov (V. A.), Kurdjumov (N. N.), Leshchenko (G. F.),	
Gervais (A.), Philibert (J.), Rivière (A.) et Tixier (R.). —		Matveets (L. V.), Migulin (V. V.), Soldatov (E. S.). —	
Contrastes de domaines magnétiques dans le fer-sili-			
Contrastes de domantes magnetiques dans le ter-sm-		Josephson detectors of millimeter electromagnetic	
cium observés en microscopie à balayage	433	radiation	293
Van der Giessen (A. A.). — Advances in magnetic recording		Kurdjumov (N. N.). — Voir Kulikov (V. A.)	293
, ,			
materials	869	Kuzmin (L. S.). — Voir Vystavkin (A. N.)	79
Gopinath (A.), de Monts de Savasse and Jones (G. A. C.). —		Labbens (R.), Pellissier-Tanon (A.) et Heliot (J.). — Appli-	
General physical studies on semiconductors using a		cation de la théorie linéaire de la mécanique de la rup-	
		• •	
scanning electron microscope	347	ture aux structures métalliques épaisses. Méthodes	
Gorter (C. A.). — Voir Mooij (J. E.)	173	pratiques de calcul des facteurs d'intensité de contrainte	587
Gourrier (S.). — Voir Adde (R.)			
C. TY CON MUCE (No.)	179	Lachat (J. C.). — Voir Boissenot (J. M.)	611
Gregers-Hansen (P. E.), Pickett (G. R.). — Subharmonic		Lagarde (B.). — Voir Deprun (C.)	895
energy gap structure and gap-enhancement by the		Laibowitz (R. B.), Viggiano (J. M.), Hatzakis (M.).	
	145		
Josephson radiation in small Dayem bridges	145	Electron-beam fabrication and microwave experiments	
Griffiths (B. W.). — Voir Venables (J. A.)	419	on Josephson microbridges	16:
Grolleau (B.). — Etude d'une résonance dans une décharge		Langenberg (D. N.). — Physical interpretation of the $\cos \varphi$	
en houte fréquence dans l'ille de l'alle de l'			
en haute fréquence dans l'hydrogène en présence d'un		term and implications for detectors	3.
champ magnétique statique	483	Le Beyec (Y.). — Voir Deprun (C.)	895
Grunberg (G.) Jeantils (H.) et de Silvestre (H.). — Les fer-		Le Bihan (R.) et Maussion (M.). — Observation des	
rites à mamaira	0.50		
rites à mémoire	859	domaines ferroélectriques au microscope électronique	
Gubankov (V. N.). — Voir Vystavkin (A. N.)	79	à balayage	421
	17		
Guichon (D.). — Voir Chardon (J. C.)	961	Lecointe (Y.). — Voir Pluvinage (G.)	651

Le Gall (H.). — Dynamique de spin et interactions spins-		Paineau (R.). — Voir Azria (R.)	469
photons	793		53
Le Gall (Ph.). — Voir Odorico (J.)		Palmer (D. W.). — Voir Hauser (M. G.)	
Le Gan (Fil.). — You Outrico (J.)	673	Parrish (P. T.). — Voir Chiao (R. Y.)	183
Lemaire (H.). — Matériaux durs pour aimants permanents	819	Parrish (P. T.), Feldman (M. J.), Ohta (H.), Chiao (R. Y.).	
Lemaitre (J.). — Prévision de la progression des fissures de		— Four photon parametric amplification	229
fatigue dans les structures minces renforcées	667	Parrish (P. T.). — Voir Ohta (H.) 61	-187
Leshchenko (G. F.). — Voir Kulikov (V. A.)	293	Pavlyuk (V. A.), — Voir Bystrov (V. A.)	309
Levinsen (M. T.). — Electromagnetic properties of the		Pedersen (N. F.), Samuelsen (M. R.), Saermark (K.). —	
Dayem bridge	135	Parametric excitation of plasma oscillations in Joseph-	
Levinsen (M. T.). — Voir Hasselberg (L. E.)	157	son junctions	223
Libchaber (A.). — On the Josephson effect	1	Pedersen (N. F.). — Voir Hoffmann-Soerensen (O.)	153
Likharev (K. K.). — Voir Vystavkin (A. N.)	79	Pellissier-Tanon (A.) et Miannay (D.). — Mise au point d'un	10.
Lübbig (H.), Luther (H.). — Subharmonic steps in the I-V	17	essai mécanique selon la méthode de l'intégrale J	617
-		_	
characteristic of short microbridges du to non-sinu-		Pellissier-Tanon (A.). — Voir Labbens (R.)	587
soidal current-phase relations	29	Penzias (A. A.). — The current state of competing (non	_
Luther (H.). — Voir Lübbig (H.)	29	Josephson junction) techniques	7
Mareschal (J.), Challeton (D.), Daval (J.), Ferrand (B.) et		Petersen (F. R.). — Voir McDonald (D. G.)	273
Gay (J. C.). — Matériaux pour dispositifs utilisant le		Petrequin (P.). — Voir Yahiaoui (B.)	683
déplacement de domaines magnétiques	865	Philibert (J.). — Voir Gervais (A.)	433
Martin (M.), Desmons (J. Y.), Bridoux (E.) et Moria-		Pickett (G. R.). — Voir Gregers-Hansen (P. E.)	145
mez (M.). — Contribution à l'étude de la détection		Pierron (J.). — Voir Wyncke (B.)	479
bolométrique d'hypersons	515	Pitaval (M.). — Voir Vicario (E.)	389
Matveets (L. V.). — Voir Kulikov (V. A.)	293	Pluvinage (G.), Lecointe (Y.) et Montariol (F.). — Applica-	50)
Maurice (F.), Dorizzi (M. P.) et Poirier (JP.). — Mise en	275		
		tion de la mécanique plastique des ruptures à la prévi-	GE 1
évidence des sous-structures de fluage par micro-	200	sion de la taille de défauts critiques	651
analyseur à sonde électronique	399	Polder (D.). — Voir Renne (M. J.)	25
Maussion (M.). — Voir Le Bihan (R.)	427	Polyanskii (O. Yu.). — Voir Divin (Yu. Ya.)	125
McDonald (D. G.). — Voir Edrich (J.)	195	Poirier (JP.). — Voir Maurice (F.)	399
McDonald (D. G.), Petersen (F. R.), Cupp (J. D.),		Poulsen (U. K.). — On the $\cos \varphi$ term in Josephson's	
Danielson (B. L.), Johnson (E. G.). — Detection		expression for the tunneling current	41
mechanisms in superconducting point contacts at fre-		Renard (M.). — Voir Cardinne (P.)	167
quencies of 44 times the energy gap	273	Renard (M.). — Coupling between a cavity and a Joseph-	
McDonald (D. G.) Voir Wells (J. S.)	285	son junction in the high frequency limit	78
Menand (A.) et Gallot (J.). — Etude de l'énergie de liaison		Renne (M. J.), Polder (D.). — Some analytical results for	
d'ad-atomes de transition sur un substrat de transition		the resistively shunted Josephson junction	25
par microscopie ionique à champ	323	Richards (P. L.). — Voir Taur (Y.)	263
Mercereau (J. E.). — Physical processes in proximity		Richards (P. L.). — Voir Clarke (J.)	69
microbridges	47		285
Meyer (R.). — Voir Chermant (JL.)	636	Risley (A. S.). — Voir Wells (J. S.). Rissman (P.). — Voir Barone (A.)	73
Miannay (D.). — Voir Pellissier-Tanon (A.)	617		433
Migulin (V. V.). — Voir Kulikov (V. A.)	293	Rivière (A.). — Voir Gervais (A.)	433
Migulin (V. V.). — Voir Vystavkin (A. N.)	79	Rosenblatt (J.). — Coherent and paracoherent states in	212
Moine (P.). — Voir Demenet (J. L.)	721	Josephson-coupled granular superconductors	217
Moliton (J. P.), Vareille (J. C.) et Teyssier (J. L.). —		Rossat-Mignod (J.). — Structure cristallographique et	~
Etude par spectrométrie d'absorption infrarouge de		magnétisme	765
l'interaction d'ions lourds avec un triacétate de cellulose	731	Roussier (L.). — Voir Azria (R.)	469
Montariol (F.). — Voir Pluvinage (G.)	651	Rouvaen (J. M.), Bridoux (E.), Moriamez (M.) et Tor-	
de Monts de Savasse. — Voir Gopinath (A.)	347	guet (R.). — Déviation et modulation des hypersons	
Mooij (J. E.), Gorter (C. A.), Noordam (J. E.). — Fabri-	547	par les ultrasons dans les solides	693
	173	Russo (M.). — Voir Barone (A.)	73
cation of arrays of superconducting microbridges Moriamez (M.). — Voir Martin (M.)	515	Saermark (K.). — Voir Pedersen (N. F.)	223
· · ·	693	Saermark (K.). — Voir Kofoed (B.)	-191
Moriamez (M.). — Voir Rouvaen (J. M.)	0,75	Samuelsen (M. R.). — Voir Pedersen (N. F.)	223
		Samuelsen (M. R.). — Voir Hasselberg (L. E.)	157
tion de la microscopie électronique à balayage pour	403	Sanguinetti (N.). — Voir Sorbier (J. P.)	973
l'étude morphologique de matériaux vitreux		Sardos (R.). — Utilisation d'un seul dioptre et d'un analy-	
Nad' (F. Ya.). — Voir Divin (Yu. Ya.)	125	seur ellipsomètre interférentiel pour l'amélioration des	
Negro (A.). — Voir Murat (M.)	403	mesures d'indices par réflecto-ellipsométrie en inci-	
Nicolas (J.). — Les ferrites pour hyperfréquences	847	dence Brewstérienne ou principale	947
Nisenoff (M.). — Detection of microwave radiation using		Schiller (C.) et Bois (D.). — Observation des défauts dans	
thin film superconducting loops containing weak links.	65	les semiconducteurs par microscopie à balayage en	
Noordam (J. E.). — Voir Mooij (J. E.)	173		361
Nordman (J.). — Voir Cardinne (P.)	167	cathodoluminescence	201
Odorico (J.) et Le Gall (Ph.). — Comptage de stries sur		Schlupt (W.). — Characteristics of a local Josephson junc-	
alliages légers rompus en fatigue	673	tion including the interference term in the current phase	AF
Ohta (H.), Feldman (M. J.), Parrish (P. T.), Chiao (R. Y.).		relation	45
— Semimetal barrier planar Josephson junction	187	Searby (G. M.). — Voir Beysens (D.)	465
Ohta (H.). — Voir Chiao (R. Y.)	183	Semenov (V. K.). — Voir Vystavkin (A. N.)	79
Ohta (H.), Feldman (M. J.), Parrish (P. T.), Chiao (R.		Semo (J.). — Spectroscopie optique en cathodolumines-	
Y.). — Sensitivity of Josephson-effect millimeter-wave		cence au microscope électronique à balayage	355
radiometer	61	Shapiro (S.). — Review of Josephson effect detection	
Ohta (H.). — Voir Parrish (P. T.)	229	mechanisms	5
Onodera (Y.). — Voir Yamashita (T.)	159	Shapiro (S.). — Voir Hoffmann-Soerensen (O.)	153

Sibille (R.). — Evolution des ferrites doux pour télécom-		Wiik (T.). — Voir Sirkeinen (Y.)	131
munications et télévision	837	Wilson (J.). — Voir Finnegan (T. F.)	199
Sievers (A. J.). — Voir Elsley (R. K.)	295	Wyncke (B.), Pierron (J.), Gerbaux (X.) et Hadni (A.). —	
de Silvestre (H.). — Voir Grunberg (G.)	859	Spectres d'absorption dans l'infrarouge lointain du	
	000	toluène des ortho-méta et paraxylènes à la température	
Sirkeinen (Y.), Somervuo (P.), Wilk (T.). — The stripline			470
coupling of thin-film Josephson junctions to external		de l'azote liquide	479
circuits at microwave frequencies	131	Yahiaoui (B.) et Petrequin (P.). — Etude de la propagation	
Skocpol (W. J.), Beasley (M. R.), Tinkham (M.). — The		de fissure par fatigue dans des aciers inoxydables aus-	
electrical behavior of superconducting thin-film micro-		ténitiques à bas carbone du type 304L et 316L	683
bridges. Self-heating and superconducting quantum		Yamashita (T.), Onodera (Y.). — Josephson-like effect in	
	19	J _c -H characteristics of thin film type II superconduc-	
processes			159
Soldatov (E. S.). — Voir Kulikov (V. A.)	293	tor	
Somervuo (P.). — Voir Sirkeinen (Y.)	131	Zenatti (D.). — Voir Adde (R.)	179
Sorbier (J. P.) et Sanguinetti (N.). — Etude de la diffusion		Zingg (W.). — Voir Gygax (S.)	269
de l'argent dans les cristaux de CdS par la méthode			
capacitive	973		
Soulen (R. J.), Finnegan (T. F.). — A microwave resistive		MEGINICALES ENDÉDIMENTATES	
SQUID for noise thermometry	305	TECHNIQUES EXPÉRIMENTALES	
Stehle (P.). — Voir Chang (C. S.)	249	Andreas (D) Different amount 126 to do any rayona V	
Stern (R. M.). — The back scattering of electrons by crys-		Andonov (P.). — Diffractomètre pour l'étude aux rayons X	
tals at low and high energies	377	des structures des liquides. Application au mercure, à	
Stern (R. M.), Takashima (S.), Hashimoto (H.) and		l'étain et au zinc	907
Kimoto (S.). — Dislocations images in high resolution		Antoni (B.). — Etude d'interrupteurs à explosion de feuilles	
scanning electron microscopy	385	en cuivre pour des courants de l'ordre du méga-	
Suprate (N) Voir Chardon (I C)		ampère	331
Sungur (N.). — Voir Chardon (J. C.)	961		
Takashima (S.). — Voir Stern (R. M.)	385	Bandet (J.) et Touzillier (L.). — Réalisation d'un ensemble	
Tàtaru (E.). — La sensibilité de la détection de la R. P. E.		expérimental pour l'étude d'une surface d'halogénure	
en utilisant l'effet Faraday	521	alcalin par spectroscopie d'électrons lents	551
Taur (Y.), Claassen (J. H.), Richards (P. L.). — Conversion		Bardon (J.) et Dreschler (M.). — Etude des paramètres de	
gain and noise in a Josephson mixer	263	l'auto-diffusion de surface dans une direction donnée	
		en émission de champ (tungstène)	989
Teixeira (J.). — Voir Haen (P.)	879	Baril (M.) et Septier (A.). — Piégeage des ions dans un	
Teodorescu (I. A.). — Voir Arsenovici (L. C.)	707		
Teodorescu (V.). — Voir Arsenovici (L. C.)	707	champ quadrupolaire tridimensionnel à haute fré-	524
Teyssier (J. L.). — Voir Moliton (J. P.)	731	quence	525
Theobald (J. G.). — Voir Chardon (J. C.)	961	Bauza (J. M.). — Voir Carles (C.)	341
Tinkham (M.). — Voir Skocpol (W. J.)	19	Bloyet (J.). — Perturbation de la lueur négative d'une	
Tixier (R.). — Voir Gervais (A.)	433	décharge luminescente par une onde hyperfréquence.	981
Toots (J.). — Voir Finnegan (T. F.)	199	Billerey (R.). — Voir Descroix (E.)	939
Torquet (D) Voir Douveer (T.M.)		Bret (J. L.), Develey (G.), Faure (J. P.) et Vallier (J. C.).	
Torguet (R.). — Voir Rouvaen (J. M.)	693	Comportement contrôlé de deux enroulements supra-	
Tronc (M.). — Voir Azria (R.)	469		
Ulrich (B. T.), Dempsey (D. G.). — Dynamics of a Joseph-		conducteurs gigognes lors du rétablissement de l'état	031
son junction in an electromagnetic environment	34	normal	931
Ulrich (B. T.). — Josephson junction detector for astrono-		Carles (C.), Bauza (J. M.) et Torguet (R.). — Déformation	
mical applications	111	de l'image d'un faisceau d'ultrasons de forte puissance	
Vacher (R.). — Voir Beysens (D.)	465	obtenue par l'interaction optoacoustique	34
Van Duzer (T.). — Voir Auracher (F.)	233	Chocat (B.), Eude (B.) et Lechevrel (F.). — Générateur de	
Vareille (I C) Voir Meliter (I D)		fonction à commutation	90
Vareille (J. C.). — Voir Moliton (J. P.)	731		J 0.
Venables (J. A.), Griffiths (B. W.), Harland (C. J.) and		Clement (M.), Moulin (B.) et Stevenin (P.). — Spectromé-	
Ecker (K. H.). — Some developments in SEM instru-		trie multicanal numérique pour la mesure de la tempé-	
mentation	419	rature ionique d'un plasma récurrent	74.
Vernet (G.), Adde (R.). — Frequency conversion with		Costa-Ribeiro (P.), Picot (B.), Souletie (J.) and Thou-	
superconducting point contacts operating as ascillator-		louze (D.). — A method for the acquisition and the	
mixers and its application to the measurement of the		treatment of specific heat data-nuclear specific heat of	
linewidth of the Josephson current at very high fre-		Cu-Mn	749
quency	275	Depraz (J.). — Voir Descroix (E.)	939
Vornet (C) Vois Add (D)			93
Vernet (G.). — Voir Adde (R.).	179	Develey (G.). — Voir Bret (J. L.)	73.
Vicario (E.) et Pitaval (M.). — Possibilité de déconvolution		Descroix (E.), Billerey (R.), Depraz (J.), Rotival (M.),	
du signal vidéo	389	Duquesne (H.) et Schmitt (A. P.). — Spectrométrie	
Viggiano (J. M.). — Voir Laibowitz (R. B.)	165	neutronique de temps de vol par intercorrélation à	
Vigier (P.). — La mesure du COD des alliages d'alumi-		l'aide d'un accélérateur comme source de neutrons	939
nium difficultés rencontrées pour sa détermination	661	Dreschler (M.). — Voir Bardon (J.)	989
Viktorovitch (P.). — Voir Brini (J.)	451	Duquesne (H.). — Voir Descroix (E.)	939
Volkov (A. F.). — Voir Divin (Yu. Ya.)			90
Vystavkin (A. N.) Cubankan (V. M.) Kanta (C. C.)	125	Eude (B.): — Voir Chocat (B.)	
Vystavkin (A. N.), Gubankov (V. N.), Kuzmin (L. S.),		Faure (J. P.). — Voir Bret (J. L.)	93
Likharev (K. K.), Migulin (V. V.), Semenov (V. K.). —		Fetiveau (Y.). — Voir Ohannessian (H.)	99:
S-c-S junctions as nonlinear elements of microwave		Frank (L.) et Kolařík (V.). — The optimal arrangement of	
receiving devices	79	the energy selecting electron microscope with the	
Watson (J.). — Voir Boissenot (J. M.)	611	double magnet prism	100
Wells (J. S.), McDonald (D. G.), Risley (A. S.), Jarvis (S.),		Goldman (M.). — Voir Ravary (P.)	56:
Gupp (J. D.). — Spectral analysis of a phase locked			99:
		Gonnard (P.). — Voir Ohannessian (H.)	
laser at 891 GHz, an application of Josephson junc-		Kolařík (V.). — Voir Frank (L.)	
tions in the far infrared	285	Lechevrel (F.). — Voir Chocat (B.)	90

Merienne (E.). — Voir Troyon (M.)	533	Bonnes (G.), Jouve (H.) et Mauduit (D.). — Générateur	
Moulin (B.). — Voir Clement (M.)	743	digital de champ tournant pour l'observation de la pro-	
Ohanessian (H.), Gonnard (P.) et Fetiveau (Y.). — Adapta-		pagation des domaines magnétiques cylindriques	501
tion électrique d'un convertisseur d'énergie piézo-		Brisset (JP.), Girard (JP.), Paumier (E.) et Provost (J.).	
électrique	995	- Réalisation d'un montage intégrateur destiné à la	
Perdijon (J.). — Traducteur ultrasonore à caustique cylin-		mesure du moment magnétique d'un supraconducteur	
drique ou sphérique	925	de faible volume	497
Picot (B.). — Voir Costa-Ribeiro (P.)	749	Clerc (G.). — Voir Andrieux (P.)	757
Ravary (P.) et Goldman (M.). — Etude de la formation d'un		Girard (JP.). — Voir Brisset (JP.)	497
arc dans le vide par l'analyse des temps de commuta-		Gouesbet (G.) et Trinite (M.). — Description d'un anémo-	
tion	565	mètre Doppler-Laser destiné à l'étude de la turbulence	
Rioux (C.), Rioux-Damidau (F.) Etude générale des		dans les fluides	571
performances des disjoncteurs à ouverture mécanique		Jouve (H.). — Voir Bonnes (G.)	501
rapide pour courants intenses	539	Mauduit (D.). — Voir Bonnes (G.)	501
Rioux-Damidau (F.). — Voir Rioux (C.)	539	Normand (G.). — Mesure du gain en boucle ouverte d'un	
Rotival (M.). — Voir Descroix (E.)	939	amplificateur opérationnel	953
Rouchon (J. M.) et Vergnolle (M.). — Enregistrement		Paumier (E.). — Voir Brisset (JP.).	497
thermomagnétique dans les couches minces de man-		Provost (J.). — Voir Brisset (JP.)	497
ganèse-Bismuth et applications	557	Tort (P.). — Voir Andrieux (P.)	757
Schmitt (A. P.). — Voir Descroix (E.)	939	Trinite (M.). — Voir Gouesbet (G.)	571
Septier (A.). — Voir Baril (M.)	525	Timite (141.). — Voil Gouesbet (G.)	3/1
Souletie (J.). — Voir Costa-Ribeiro (P.)	749		
Stevenin (P.). — Voir Clement (M.)	743		
Thoulouze (D.). — Voir Costa-Ribeiro (P.)	749	MISES AU POINT	
Torguet (R.). — Voir Carles (C.)	341	MISES ACTOINI	
Touzillier (L.). — Voir Bandet (J.)	551		
Troyon (M.) et Merienne (E.). — Amélioration du taux		Gloux (P.). — Mise au point : détermination à partir de la	
d'ondulation d'un générateur haute tension pour un		spectroscopie Endor de couplages hyperfins dans un	
canon à émission de champ	533	radical libre créé dans un cristal organique	1007
Vallier (J. C.). — Voir Bret (J. L.)	931		
Vergnolle (M.). — Voir Rouchon (J. M.)	557		
		ARTICLE DE REVUE	
NOTES TECHNIQUES			
		Turck (B.). — Rôle des paramètres physiques et géomé-	
Andrieux (P.), Clerc (G.) et Tort (P.). — Capteur magnéto-		triques sur la stabilité des composites supraconducteurs	503
métrique triaxial pour la prospection magnétotellurique		Bernas (H.). — Ion implantation and hyperfine interactions	
artificielle entre 4 Hz et 4 kHz	757	in metals	575



Les interactions hyperfines détectées par rayonnements nucléaires

Liège 1973

Baudry (A.). — Voir Teisseron (G.)	C1-95	Flouquet (J.). — Voir Sanchez (J.)	C1-23
Benoit (A.), Flouquet (J.) et Sanchez (J.). — Implan-		Flouquet (J.). — Voir Benoit (A.)	C1-17
tations dans les alliages dilués	C1-17	Flouquet (J.). — Voir Boysen (C.)	C1-5
Benoit (A.). — Voir Sanchez (J.)	C1-23	Frauenfelder (H.). — Physics of biomolecules	C1-65
Benski (H. C.), Berthier (J.), Oddou (J. L.). — Champ hyperfin au niveau du 181Ta dans une matrice de		Friedt (J. M.). — Voir Shenoy (G. K.)	C1-43
fer	C1-3	Frossati (G.). — Voir Sanchez (J.)	C1-23
Berkes (I.). — Voir Haroutunian (R.)	C1-85	Gangas (N. H.). — Voir Kostikas (A.)	C1-107
Berthier (J.). — Voir Benski (H. C.)	C1-3	Gérard (A.). — Voir Wautelet (M.)	C1-101
Bouchez (R.). — Voir Schmidt (K. P.)	C1-105	Gérard (A.). — Voir Grandjean (F.)	C1-45
Boysen (J.), Brewer (W. D.) et Flouquet (J.). — Comments on nuclear orientation experiments in dilute AuCo alloys: comparison with NMR and magne-		Gielen (P. M.). — Essai d'interprétation du spectre Mössbauer de la martensite vierge fer-carbone	C1-25
tisation measurements	C1-5	Gibert (H.). — Voir Janot (C.)	C1-49
Brewer (W. D.). — Voir Boysen (J.)	C1-5	Grandjean (F.) et Gérard (A.). — Etude par spectro-	
Brossard (L.), Merceron (T.), Dormann (J. L.), Marais		métrie Mössbauer de quelques arséniures du type M ₂ As et MM'As, M et M' étant des métaux de la	
(A.). — Etude par effet Mössbauer de ferrites de		première série de transition	C1-45
nickel-fer non steechiométriques : influence de l'ordre directionnel	C1-81	Haroutunian (R.), Marest (G.), Berkes (I.). — Champ	
Chamberod (A.). — Voir Rechenberg (H.)	C1-27	magnétique agissant sur ¹⁶⁹ Tm dans des grenats fer-terre rare	C1-85
Coey (J. M. D.), Deb (S. K.), Regnard (J. R.). — In-		Hartmann-Boutron (F.). — Effets de relaxation dans	C1-03
fluence d'impuretés de fer sur la coloration réversible de MoO ₃ , Nb ₂ O ₅ et TiO ₂	C1-97	les études de structure hyperfine détectée par rayonnement nucléaire	C1-11
Coussement (R.). — Voir Pattyn (H.)	C1-19	Hubert (C.). — Voir Kellerhohn (C.)	C1-73
Coussement (R.). — Voir Namavar (F.)	C1-7	Imbert (P.). — Voir Varret (F.)	C1-87
Coussement (R.), Dumont (G.), Langouche (G.), Pattyn (H.), Rots (M.), Schmidt (K. P.) and Van Rossum (M.). — Implantation of 129mTe in Fe and Ni foils and determination of the hyperfine fields	C1-37	Janot (C.), Gibert (H.), Mangin (P.). — Structures d'alliages AlFe étudiés par spectrométrie Mössbauer	C1-49
Coussement (R.). — Voir Rots (M.)	C1-35	Jehanno (G.). — Voir Varret (F.)	C1-87
Coussement (R.). — Voir Langouche (G.)	C1-55	Johnson (C. E.). — The application of hyperfine interactions in biology	C1-57
Coussement (R.). — Voir Schmidt (K. P.)	C1-105	Kellershohn (C.), Soubirou (F.), Hubert (C.). — Etude	
Danon (J.). — Interactions hyperfines et liaisons chimiques dans les éléments de transition	C1-91	quantitative par effet Mössbauer de la radiolyse du sulfate ferreux heptahydrate FeSO ₄ .7 H ₂ O	C1-73
Danon (J.). — Voir Varret (F.)	C1-87	Kostikas (A.), Simopoulos (A.), Gangas (N. H.).	C1-107
Deb (S. K.). — Voir Coey (J. M. D.)	C1-97	Mössbauer studies of ancient pottery Langouche (G.), Coussement (R.), Van Rossum (M.),	C1-107
Dehaes (J. C.). — Spectroscopie Mössbauer en coïncidence de SnO ₂	C1-77	Schmidt (K. P.). — Study of the quadrupole interaction of ¹²⁵ Te and ¹²⁹ I in Te single crystals	
Dormann (J. L.). — Voir Brossard (L.)	C1-81	by Mössbauer spectroscopy	C1-55
Drentje (S.). — Implantation problems in hyperfine	C1-39	Langouche (G.). — Voir Coussement (R.)	C1-37
interaction experiments	C1-32	Langouche (G.). — Voir Schmidt (K. P.)	C1-105
Dumont (G.). — Voir Pattyn (H.)	C1-19	Mangin (P.). — Voir Janot (C.)	C1-49
Dumont (G.). — Voir Namavar (F.)	C1-7	Marais (A.). — Voir Brossard (L.)	C1-81
Dumont (G.). — Voir Coussement (R.)	C1-37	Marest (G.) Voir Haroutunian (R.)	C1-85
Dunlap (B. D.). — Voir Shenoy (G. K.)	01-43	Matthias (E.). — Perturbed angular correlations	C1-1
fine du muonium	C1-9	Merceron (T.). — Voir Brossard (L.)	C1-81

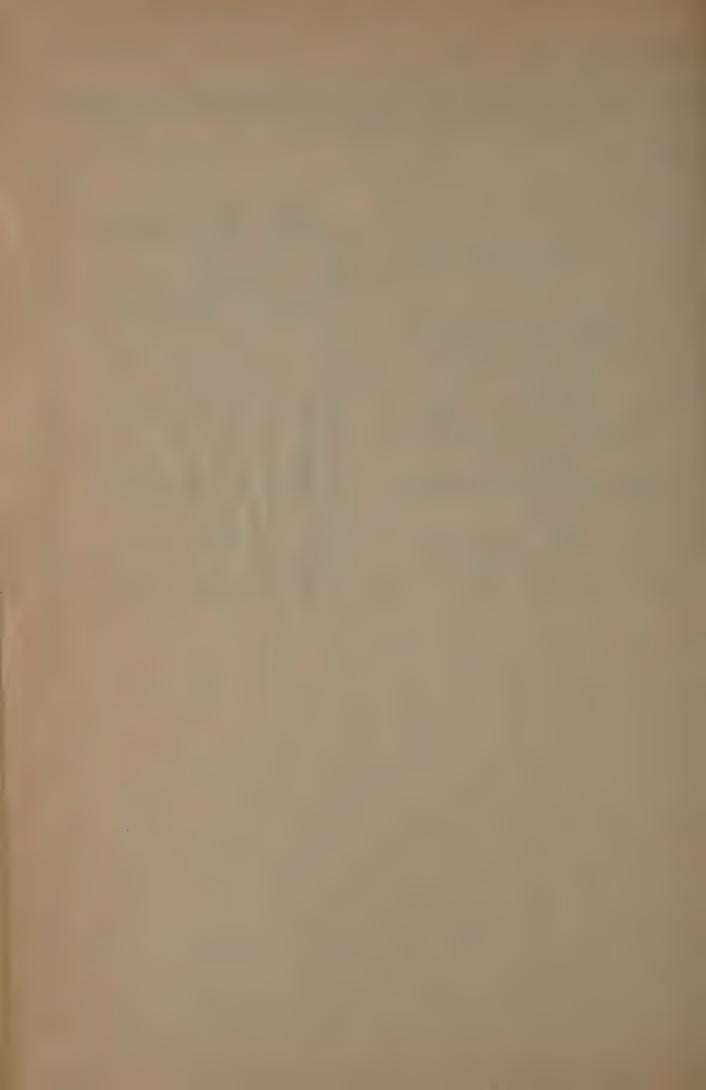
Meykens (T.). — Voir Schmidt (K. P.)	C1-105	Langouche (G.), Coussement (R.), Bouchez (R.).	
Namavar (F.), Rots (M.), Pattyn (H.), Dumont (G.), Coussement (R.). — A study of the hyperfine field		— A Mössbauer study on pottery of Tureng tepe	C1-105
of cesium in nickel and iron	C1-7	Schmidt (K. P.). — Voir Langouche (G.)	C1-55
Oddou (J. L.) Voir Benski (H. C.)	C1-3	Schmidt (K. P.). — Voir Coussement (R.)	C1-37
Pattyn (H.). — Voir Coussement (R.)	C1-37	Schoeters (E.). — Voir Pattyn (H.)	C1-19
Pattyn (H.). — Voir Namavar (F.)	C1-7	Shenoy (G. K.), Friedt (J. M.), Dunlap (B. D.) et	0. 13
Pattyn (H.), Dumont (G.), Coussement (R.), Silverans (R. E.), Schoeters (E.) and Vanneste (L.).		Vogt (O.). — Etude des structures magnétiques de CeSb et GdSb par spectroscopie Mössbauer sur	Ct 40
The hyperfine field of xenon nuclei at lattice sites	C1-19	121 S b	C1-43
in iron	C1-17	Silverans (R. E.). — Voir Pattyn (H.)	C1-19
Pfeiffer (L.). — rf-Mössbauer double résonance	C1-07	Simopoulos (A.). — Voir Kostikas (A.)	C1-107
Postma (H.). — Nuclear orientation: from an exotic to a matured method in nuclear physics	C1-29	Soubirou (F.). — Voir Kellershohn (C.)	C1-73
Rechenberg (H.), Chamberod (A.) et de Tournemine (R.). — Effet Mössbauer et rayons X dans les	01 2	Teisseron (G.), Baudry (A.). — Etude par corrélation angulaire γ-γ perturbée des transitions de phase PbZrO ₃	C1-95
alliages Invar irradiés aux électrons	C1-27	de Tournemine (R.). — Voir Rechenberg (H.)	C1-27
Regnard (J. R.) Voir Coey (J. M. D.)	C1-97	Vanneste (L.). — Voir Pattyn (H.)	C1-19
Rots (M.). — Voir Namavar (F.)	C1-7	Van Rossum (M.). — Voir Langouche (G.)	C1-55
Rots (M.). — Voir Coussement (R.)	C1-37	Van Rossum (M.). — Voir Schmidt (K. P.)	C1-105
Rots (M.) and Coussement (R.). — Time differential		Van Rossum (M.). — Voir Coussement (R.)	C1-37
PAC on the first excited state in ¹²⁹ I	C1-35	Varret (F.), Danon (J.), Imbert (P.), Jehanno (G.).	
Sanchez (J.). — Voir Benoit (A.).	C1-17	Etude par effet Mössbauer et rayons X des fluo- silicates mixtes de fer et de zinc	C1-87
Sanchez (J.), Benoit (A.), Flouquet (J.), Frossati (G.). — Exemple de thermométrie par orientation		Vogt (O.) Voir Shenoy (G. K.)	C1-43
nucléaire. Etalonnage d'une résistance au carbone entre 30 mK et 5 mK	C1-23	Wautelet (M.), Gérard (A.). — Etude par effet Mössbauer des propriétés magnétiques de ZnMn ₂ O ₄ .	C1-101

COLLOQUE N° 2 - 1974

Les collisions photon-photon dans les anneaux de stockage électron-positron

Paris 1973

Barbiellini (G.). — Voir Ceradini (F.)	C2-9	Newman (H. B.). — Electron-positron interactions at	
Bonneau (G.), Gourdin (M.) and Martin (F.). — Formulation and validity of an equivalent photon approximation in the two-photon exchange mechanism	C2-109	5 GeV in the center-of-mass: Bhabha scattering and multihadron production Orito (S.). — Voir Ceradini (F.) Paoluzi (L.). — Voir Ceradini (F.)	C2-21 C2-9 C2-9
Brodsky (S. J.). — The hadronic physics of photon-photon collisions	C2-69	Parisi (J.). — Some background problems in photon- photon collisions in electron-positron storage	
Ceradini (F.), Conversi (M.), D'Angelo (S.), Ferrer (M. L.), Paoluzi (L.), Santonico (R.), Barbiellini (G.), Orito (S.), Tsuru (T.) and Visentin (R.). — Investigation of photon-photon interactions by e ⁺ e ⁻ beams colliding with 2.7 GeV total energy	C2-9	rings	C2-51 C2-1 C2-9
Conversi (M.). — Voir Ceradini (F.)	C2-9	of e ⁺ e ⁻ pairs with colliding beams at Novosibirsk.	C2-15
Courau (A.). — Experimental evidence of virtual Compton scattering. Outlook of studying γγ processes with DCI	C2-45	Stodolsky (L.). — Coulomb and photon effects at high energy	C2-87
D'Angelo (S.). — Voir Ceradini (F.)	C2-9	ximation	C2-115
Feldman (G. J.). — Photon-photon collision experiments at SPEAR	C2-29	Terazawa (H.). — Current algebra, PCAC, its anomaly, and the two-photon process (soft-pion production	C2 (1
Ferrer (M. L.). — Voir Ceradini (F.)	C2-9	by two photons)	C2-61 C2-9
Gourdin (M.). — Voir Bonneau (G.)	C2-109	Tsuru (T.). — Voir Ceradini (F.)	C2-9
Kessler (P.). — The equivalent photon approximation in one- and two-photon exchange processes	C2-97	Waloschek (P.). — Preparation for storage ring experiments at DESY	C2-35
Lyth (D. H.). — The equivalent photon approximation	C2-113	Walsh (T. F.). — $\gamma\gamma \rightarrow$ hadrons : asymptotic behavior	
Martin (F.). — Voir Bonneau (G.)	C2-109	and deep inelastic scattering	C2-77



COLLOQUE N° 3 - 1974

Les propriétés optiques des semiconducteurs à grande bande interdite

Montpellier 1973

Alibert (C.). — Voir Laugier (A.)	C3-77	El Akkad (F.) et Rodot (H.). — Etude des spectres de photoluminescence de ZnTe dopé au lithium. Nature	
des multisaturations dans le CdS photoconducteur Auvergne (D.). — Voir Camassel (J.)	C3-111 C3-67 C3-101	des transitions	C3-179
Balkanski (M.). — Voir Zigone (M.)	C3-153	du pompage optique des paires électron-trou et des excitons dans les semiconducteurs à l'aide du for-	
Bardeleben (J. V.), Meyer (B.), Goltzene (A.) et Schwab (C.). — Recombinaisons radiatives dans CuGaS ₂	C3-165	malisme de la matrice densité	C3-13
Benoit à la Guillaume (C.). — Orientation d'excitons par pompage optique	C3-1	conducteurs cubiques	C3-7
Benoit à la Guillaume (C.). — Voir Planel (R.) Benoit à la Guillaume (C.), Voos (M.), Pétroff (Y.). —	C3-83	Méthode de calcul des fonctions optiques à partir des mesures de pertes caractéristiques d'énergie des	
Gouttes de paires électron-trou dans les alliages GeSi	C3-33	électrons ; application aux halogénures de thallium	C3-287
Beserman (R.). — Voir Zigone (M.)	C3-153	Gale (G. M.) et Mysyrowicz (A.). — Molécules excitoniques dans CuCl	C3-43
the magnetic freezeout effect in GaSb	C3-215	Geoffroy (A.), — Voir Buch (T.). Göbel (E.) and Pilkuhn (M.). — Laser transitions in	C3-159
de deux photons dans CuCl, CuBr et CuI Bois (D.). — Etude expérimentale de la relaxation de réseau des centres profonds dans GaAs	C3-39 C3-241	direct gap semiconductors. Goltzene (A.). — Voir Bardeleben (J. V.)	C3-191 C3-165
Bonnot (A.). — Voir Planel (R.)	C3-83 C3-49	Gouskov (L.). — Voir Llinarès (C.). Hanus (J.). — Voir Bonnot (A.).	C3-295 C3-49
Bonnot (A. M.). — Voir Bonnot (A.)	CJ-47	Hermann (C.). — Voir Fishman (G.) Hirtz (P.). — Laser à semiconducteur à hétérostructure	C3-7-13 C3-201
rares solides excités par bombardement électro- nique	C3-49	Jacquemin (J. L.). — Propriétés optiques du SnO ₂ et du	C5-201
Bordure (G.). — Voir Llinarès (C.)	C3-295	β-PbO ₂ intrinsèques au voisinage du gap Jerphagnon (J.). — Intérêt et applications des semicon-	C3-255
GaSe	C3-261 C3-287	ducteurs en optique non linéaire	C3-89
Buch (T.), Geoffroy (A.) et Lambert (B.). — Influence de la structure cristallographique sur les spectres	C2 150	Kressel (H.) et Lockwood (H. F.). — A review of gradual degradation phenomena in electroluminescent diodes	C3-223
optiques des ions de la série du fer dans ZnS Camassel (J.), Auvergne (D.) et Mathieu (H.). — Etude	C3-159	Lambert (B.). — Voir Buch (T.)	C3-159
des niveaux d'impureté associés aux minima supérieurs de la bande de conduction dans quelques		Lampel (G.). — Voir Fishman (G.) Langlois (H.). — Voir Lecocq-Mayer (M. C.)	C3-7-13 C3-101
composés II-VI Cardona (M.). — Voir Weinstein (B. A.)	C3-67 C3-253	Lannoo (M.) et Decarpigny (J. N.). — Calcul des constantes diélectriques dans les semiconducteurs 111-V et 11-VI	C3-97
Cazaux (J.), Perrin (J.), Soukiassian (P.). — Le tenseur de la constante diélectrique (entre 3 et 35 eV) déterminé à l'aide des pertes d'énergie : appli-		Lascaray (J. P.), Marfaing (Y.). — Etude de centres profonds dans CdTe par des méthodes de photo-	05 7.
cation à quelques chalcogénures lamellaires Chevallier (J.). — Luminescence des alliages ternaires	C3-269	capacitance Laugier (A.), Alibert (C.) et Chevallier (J.). — Structure	C3-247
$Ga_xIn_{1-x}P$ non dopés et dopés au soufre Chevallier (J.). — Voir Laugier (A.)	C3-207 C3-77	de bandes des alliages $Ga_xIn_{1-x}P$. Laurenti (J. P.). — Voir Attal (J.).	C3-77 C3-111
Coletti (F.). — Voir Bonnot (A.) Daunois (A.) et Deiss (J. L.). — Les effets d'excitons	C3-49	Lebailly (J.) et Diguet (D.). — Applications des propriétés d'électroluminescence des composés III-V Lecocq-Mayer (M. C.), Langlois (H.) et Ayrault (B.).	C3-233
dans les spectres électro-optiques Dean (P. J.). — The analysis of wide band gap semi-	C3-53	Propriétés optiques et structure du cinabre (α-HgS)	C3-101
conductors by optical spectroscopy Debever (J. M.). — Voir Bonnot (A.)	C3-127 C3-49	Llinarès (C.), Duchemin (C.), Gouskov (L.) et Bordure (G.). — Rôle des niveaux 4f dans la cinétique de	C2 205
Decarpigny (J. N.). — Voir Lannoo (M.) Deiss (J. L.). — Voir Daunois (A.)	C3-97 C3-53	photoconductivité de l'EuO en couche mince Lockwood (H. F.). — Voir Kressel (H.)	C3-295 C3-223
Diguet (D.). — Voir Lebailly (J.)	C3-233 C3-295 C3-175	Marange (C.). — Voir Bivas (A.)	C3-39 C3-247
Duraffourg (G.). — Voir Sermage (B.)	C3-289	Mathieu (H.). — Voir Camassel (J.)	C3-67

Merle (J. C.), Nikitine (S.), Schwab (C.). — Etude du profil d'absorption de la raie quadrupolaire exci-		Rodot (H.). — Voir El Akkad (F.) Rühle (W.). — Voir Bimberg (D.).	C3-179 C3-215
tonique 1S de la série jaune de Cu ₂ O en fonction de certains défauts cristallins et de la température. Meyer (B.). — Voir Bardeleben (J. V.)	C3-27 C3-165	Schwab (C.). — Voir Bardeleben (J. V.)	C3-165 C3-27
Micheron (F.). — Voir Trotier (J. C.)	C3-119 C3-145	Sermage (B.) et Duraffourg (G.). — Détermination de la bande interdite par cathodoluminescence de	
Munschy (G.). — Voir Stebe (B.)	C3-143	quelques composés I-III-VI ₂ et II-IV-V ₂	C3-289
Nikitine (S.). — Voir Merle (J. C.)	C3-27	Soukiassan (P.). — Voir Cazaux (J.)	C3-269
Pautrat (J. L.), Quillec (M.) et Pfister (J. C.). — Mise		paire donneur-accepteur dans un semiconducteur.	C3-145
en évidence d'un niveau électronique dans ZnTe implanté avec des ions Al	C3-187	Trotier (J. C.) et Micheron (F.). — Interaction des pro- priétés photoconductrices et électro-optiques dans	
Petroff (Y.). — Voir Cazaux (J.) Petroff (Y.). — Luminescence et effet Raman résonnant	C3-269	les matériaux ferro-électriques et applications	C3-119
dans Cu ₂ O	C3-277	Vecht (A.). — DC electroluminescence in ZnS: Mn	C3-173
Pétroff (Y.). — Voir Benoît à La Guillaume (C.) Pfister (J. C.). — Voir Pautrat (J. L.)	C3-33 C3-187	Voos (M.). — Voir Benoit à La Guillaume (C.)	C3-33
Pilkuhn (M.). — Voir Göbel (E.)	C3-191	Weinstein (B. A.) and Cardona (M.). — Resonant first and second order Raman scattering in GaP	C3-253
Planel (R.), Benoit à La Guillaume (C.) et Bonnot (A.). — Spectres d'excitation de la luminescence		Weisbuch (C.). — Recombinaison dépendant du spin	
excitonique du CdS	C3-83	et pompage optique dans les semiconducteurs Weisbuch (C.). — Voir Fishman (G.)	C3-21 C3-7
le sulfure de cadmium dopé au lithium	C3-175	Zigone (M.), Beserman (R.) et Balkanski (M.). — Pro-	
Pradal (F.). — Voir Frandon (J.)	C3-287	priétés optiques du sulfure de zinc contenant des	
Ouillec (M.). — Voir Pautrat (J. L.).	C3-187	métaux de transition en position substitutionnelle.	C3-153

COLLOQUE N° 4 - 1974

Structures métalliques désordonnées Strasbourg 1973

Adkins (K.) and Rivier (N.). — Susceptibility of spin	C4-237	Coles (B. R.). — The onset of magnetic order in disordered alloys as revealed by their transport	
Ahmad (H. M.) and Greig (D.). — The electrical		properties	C4-203
resistivity and thermopower of nickel-copper		Cyrot-Lackmann (F.). — Expansion in moments and	
alloys	C4-223	disordered systems	C4-109
Amamou (A.), Gautier (F.) and Loegel (B.). — Trans-		Daver (H.). — Voir Massenet (O.)	C4-279
port properties, giant moments and nearly magne- tic impurities in some nickel alloys near the		Dixmier (J.). — Structure of the amorphous metallic alloys	C4-11
magnetic transition	C4-217	Ducastelle (F.). — Voir Brouers (F.).	C4-11
		El-Hanany (U.). — Voir Warren Jr. (W. W.)	C4-89
Beck (P. A.). — Voir Mishra (S.)	C4-195	Enderby (J. E.). — An introduction to the study of	C4-337
Bennemann (K. H.). — Voir Movaghar (B.)	C4-325	liquid metals and alloys	C4-309
Bennemann (K. H.). — Effect of strong lattice-disor-		Endo (H.). — Voir Fukushima (J.)	C4-261
der on the superconducting transition tempera- ture and on ferromagnetism	C4-305	E-Ni-Foo. — Voir Bose (S. M.)	C4-95
Besnus (M. J.), Kuentzler (R.) and Meyer (A. J. P.).	C+-505	Faulkner (J. S.), Painter (G. S.), Butler (W. H.) and	
— Magnetic states and electron specific heat of		Coghlan (W. A.). — Studies on disordered sys-	
the ordered and disordered CrPt ₃ phase	C4-227	tems using clusters of muffin tin potentials	C4-85
Billard (L.) and Natta (M.). — Cellular model of		Fabian (D. J.). — Voir Norris (P. R.)	C4-65
alloys and order of the magnetic transitions in		Ford (P. J.) and Mydosh (J. A.). — Transport pro-	C4-241
INVAR	C4-157	perties of some spin glass systems Forssell (G.). — Voir Nilsson (P. O.)	C4-241 C4-57
Bose (S. M.) and E-Ni-Foo. — On nonanalyticities		Fritz (J.). — Voir Keller (J.).	C4-379
of the average Green's function in disordered	C4-95	Fuggle (J. C.). — Voir Norris (P. R.)	C4-65
binary alloys Bose (S. M.). — Voir Moorjani (K.)	C4-153	Fukushima (J.), Tamura (K.), Endo (H.), Kishi (K.),	
Busch (G.), Güntherodt (HJ.), Künzi (H. U.),		Ikeda (S.) and Minomura (S.). — X-ray photo-	
Meier (H. A.), Schlapbach (L.) and Keller (J.).		emission spectra from amorphous Au-Ge and Ag-	
- Electronic structure of liquid transition and		Ge alloys	C4-261
rare-earth metals and their alloys	C4-329	Fukuyama (H.). — Spin susceptibility of metallic	C4 141
Busch (G.), Güntherodt (HJ.), Haller (W.) and		binary alloys	C4-141 C4-379
Wyssmann (P.). — Lorenz number and thermal		Garritz (A.). — Voir Keller (J.)	C4-319
conductivity of liquid gallium, mercury and mercury-indium alloys	C4-313	alloys	C4-127
Butler (W. H.). — Voir Faulkner (J. S.)	C4-85	Gautier (F.), Brouers (F.) and Van Der Rest (J.).	
Bronsveld (P. M.) and Radelaar (S.). — Kinetics of	0,00	Environment effects and magnetic properties in	
atomic clustering in Cu-Ni alloys	C4-19	transitional alloys	C4-207
Brouers (F.), Ducastelle (F.), Gautier (F.) and Van		Gautier (F.). — Voir Amamou (A.)	C4-217
Der Rest (J.). — Local environment effects in		Gautier (F.). — Voir Brouers (F.).	C4-89
**disordered alloys	C4-89	Geneste (J.). — Voir Massenet (O.).	C4-279
Brouers (F.). — Voir Gautier (F.)	C4-207	Gilbert (R.) and Morgan (G. J.). — The electrical conductivity of alkali metal-alkali halide solu-	
Calecki (D.). Voir Pottier (N.)	C4-103	tions	C4-377
Cargill III (G. S.) and Cochrane (R. W.). — Amor-		Goldmann (A.). — Voir Riegel (D.)	C4-341
phous cobalt-phosphorous alloys: atomic arran-		Granqvist (C. G.). — Voir Claeson (T.)	C4-253
gements and magnetic properties	C4-269	Granqvist (C. G.) and Claeson (T.). — Superconduc-	
Chouteau (G.), Tournier (R.) and Mollard (P.).	G4 407	ting transition temperatures of ultrathin amor-	
Giant moments in PdNi alloys	C4-185	phous films	C4-301
Claeson (T.) and Granqvist (C. G.). — Degree of		Greig (D.). — Voir Ahmad (H. M.).	C4-223
order in quench-condensed alloys studied by resistivity and the phonon spectrum from tunne-		Güntherodt (HJ.). — Voir Busch (G.)	C4-313 C4-329
ling	C4-253	Güntherodt (H. J.). — Voir Busch (G.)	C4-329
Claeson (T.). — Voir Granqvist (C. G.)	C4-301	in a muffin-tin model potential theory of random	
Cochrane (R. W.). — Voir Cargill III (G. S.)	C4-269	substitutional alloys	C4-75
Coghlan (W. A.). — Voir Faulkner (J. S.)	C4-85	Gyorffy (B. L.) Voir House (D.)	C4-81
Cohen (M. H.) and Jortner (J.). — The inhomoge-		Haller (W.). — Voir Busch (G.)	C4-313
neous transport regime and metal-nommetal		Harris (R.), Plischke (M.) and Zuckermann (J.).	
transitions in disordered materials	C4-345	A new model for magnetism in amorphous metals.	C4-265

Von Hartrott (M.). — Voir Riegel (D.)	C4-341	Minomura (S.). — Voir Fukushima (J.)	C4-261
Hasegawa (R.). — Voir Madhukar (A.)	C4-291	Mishra (S.), Hayes (E. J.), Tustison (R.) and Beck	
Hayes (E. J.). — Voir Mishra (S.)	C4-195	(P. A.). — Magnetism in Ni-Cu and Co-Re solid	~
Hirai (Y.). — Voir Kunitomi (N.)	C4-251	solutions	C4-195
House (D.), Gyorffy (B. L.) and Stocks (G. M.). —		Mizoguchi (T.) and Yamauchi (K.). — Critical beha-	C4-287
The coherent potential approximation for a	C4 01	viour of amorphous ferromagnet	
cluster of non-overlapping scatterers	C4-81	Mostiani (K.) Toroka (T.) Sakalaski (M. M.)	C4-185
Ichikawa (T.) and Ogawa (S.). — Electron diffraction		Moorjani (K.), Tanaka (T.), Sokoloski (M. M.) and Bose (S. M.). — Numerical aspects of the two-	
study of the local atomic arrangement in thin	C4 27	sites coherent potential approximation	C4-153
films of amorphous gallium, iron and nickel	C4-27	Morgan (G. J.). — Voir Gilbert (R.)	C4-377
Ikeda (S.). — Voir Fukushima (J.)	C4-261	Movaghar (B.), Miller (D. E.) and Bennemann (K.	
Jortner (J.). — Voir Cohen (M. H.)	C4-345	H.). — Electronic density of states for liquid	
Kanamori (J.). — The coherent potential approxi-		metals and alloys in the tight-binding approxi-	
mation and ferromagnetism	C4-131	mation	C4-325
Kato (T.) and Shimizu (M.). — Spin susceptibilities of		Murani (A. P.). — Magnetic properties of Au-Fe	
ferromagnetic Pd-Ni and Pt-Ni alloys	C4-145	alloys below the percolation limit	C4-181
Keller (J.), Fritz (J.) and Garritz (A.). — Cluster		Mürer (W.). — Voir Korn (D.).	C4-257
method multiple scattering calculations of density		Mydosh (J. A.). — Voir Ford (P. J.)	C4-241
of states of liquid transition metals, rare earth metals and their alloys	C4-379	Myers (H. P.). — The optical properties of disordered	C4 21
Keller (J.). — Voir Busch (G.)	C4-329	metals	C4-31
Kikuchi (R.). — Voir Sato (H.)	C4-23	Nakai (Y.). — Voir Kunitomi (N.).	C4-149
Kishi (K.). — Voir Fukushima (J.)	C4-261	Nilsson (P. O.) and Forssell (G.). — Optical properties of metastable. One phase Cu-Ag alloys	C4-57
Korn (D.), Mürer (W.) and Zibold (G.). — Tempera-	07-201	Nishiyama (K.). — Voir Riegel (D.)	C4-341
ture dependence of the electrical resistivity of		Natta (M.). — Voir Billard (L.).	C4-341
amorphous Ge, Sn and Bi alloys and its relation			C4-137
to superconductivity	C4-257	Norris (C.), Rodway (D. C.) and Williams (G. P.). — Photoemission from liquid Hg and liquid Al	C4-61
Kuentzler (R.). — Voir Besnus (M. J.)	C4-227	Norris (P. R.), Fabian (D. J.), Watson (L. M.),	0,0,
Kunitomi (N.), Tsunoda (Y.) and Hirai (Y.). — Phonon		Fuggle (J. C.) and Lang (W.). — Soft X-ray	
dispersion of mass defect concentrated alloy		emission and X-ray photoelectron studies of	
Ni-Pt and its interpretation by CPA	C4-251	disordered aluminium alloys in relation to CPA	
Kunitomi (N.), Nakai (Y.), Yamasaki (K.) and		theory	C4-65
Schibuya (N.). — Atomic magnetic moment in	C4 140	Ogawa (S.). — Voir Ichikawa (T.)	C4-27
ternary alloy Fe-Co-Ni	C4-149	Painter (G. S.). — Voir Faulkner (J. S.)	C4-85
Künzi (H. U.). — Voir Busch (G.)	C4-329	Panissod (P.). — N. M. R. studies of Ni-concentrated	C4 173
Laborde (O.), Loegel (B.) and Radhakrishna (P.). — New features on the resistivity of magnetic alloys		alloys near the magnetic critical concentration.	C4-173
for below the ordering temperature	C4-247	Pataud (P.), Perrier (J. P.) and Tournier (R.). — Magnetic properties of VFe alloys	C4-189
Lang (W.). — Voir Norris (P. R.)	C4-65	Perrier (J. P.) and Tholence (J. L.). — Inhomoge-	C4-107
Leath (P. L.). — The breakdown of cluster coherent		neous character of the transition non magnetism-	
potential approximations in disordered systems	C4-99	magnetism in alloys through magnetic measure-	
Lelieur (JP.), Thompson (J. C.). — Inhomogeneous		ments	C4-163
model of metal-ammonia solutions	C4-371	Perrier (J. P.). — Voir Pataud (P.)	C4-189
Levin (K.) and Mills (D. L.). — Contribution of giant		Plischke (M.). — Voir Harris (R.)	C4-265
spin clusters to the resistivity, neutron scattering cross section and specific heat in alloys: appli-		Pottier (N.) and Calecki (D.). — Densité d'états élec-	
cation to Ni-Cu	C4-213	troniques et fluctuations locales de concentration	C4 102
Loegel (B.). — Voir Amamou (A.)	C4-217	dans les alliages binaires désordonnés	C4-103
Loegel (B.). — Voir Laborde (O.)	C4-247	Quitmann (D.). — Voir Riegel (D.)	C4-341
Madhukar (A.) and Hasegawa (R.). — Resistivity	C1-2-17	Radelaar (S.). — Voir Bronsveld (P. M.)	C4-19
minimum and amorphous-ferromagnets	C4-291	Radhakrishna (P.). — Voir Laborde (O.)	C4-247
Madhukar (A.). — Indirect exchange mechanism of		Riegel (D.), Goldmann (A.), Von Hartrott (M.), Nishiyama (K.) and Quitmann (D.). — Relaxa-	
magnetic ordering in amorphous alloys	C4-295	tion of excited Pb nuclei in liquid Hg	C4-341
Massenet (O.), Daver (H.) and Geneste (J.). — Ma-		Rivier (N.). — Voir Adkins (K.)	C4-237
gnetic ordering and magnetization in amorphous		Rivory (J.). — Optical properties of ordered and	
Fe-Ge films	C4-279	disordered Au-Cu alloys	C4-51
Mattis (D. C.) and Yonezawa (F.). — Mobility gap and	04.101	Rodway (D. C.). — Voir Norris (C.)	C4-61
anomalous dispersion	C4-123	Roth (L. M.). — An effective medium approximation	
Meier (H. A.). — Voir Busch (G.).	C4-329	for the electronic structure of liquid metals	C4-317
Meyer (A. J. P.). — Voir Besnus (M. J.)	C4-227	Sato (H.), Werner (S. A.) and Kikuchi (R.). — Ato-	
Mihill (K.). — Voir Sherrington (D.)	C4-199	mic and magnetic short range order in Cu-Mn	64.44
Miller (D. E.). — Voir Movaghar (B.)	C4-325	alloys	C4-23
WITH THE PARTY OF	/ / / / /	Seniannach (I) Vote Pasch (I')	1 7 7 7 7 7 7 7 7 7 7 7 7 7 7 7 7 7 7 7

Schibuya (N.). — Voir Kunitomi (N.)	C4-149	Tournier (R.) Voir Tholence (J. L.)	C4-229
Schwartz (L. M.). — Generalizations of the coherent		Tsunoda (Y.). — Voir Kunitomi (N.)	C4-251
potential approximation	C4-71	Turnbull (D.). — Amorphous solid formation and	
Sherrington (D.), Mihill (K.). — Effects of clustering		interstitial solution behavior in metallic alloy	
on the magnetic properties of transition metal	C4 100	systems	C4-1
alloys	C4-199	Tustison (R.). — Voir Mishra (S.)	C4-195
Shimizu (M.). — Voir Kato (T.)	C4-145	Van Der Rest (J.). — Voir Brouers (F.)	C4-89
Sokoloski (M. M.). — Voir Moorjani (K.)	C4-153	Van Der Rest (J.). — Voir Gautier (F.)	C4-207
Stocks (G. M.). — Voir House (D.)	C4-81	Warren Jr (W. M.) and El-Hanany (U.) Nuclear	
Stocks (G. M.). — Voir Gyorffy (B. L.)	C4-75	magnetic resonance in liquid manganese	C4-337
Stroud (D.). — Theory of phase separation in liquid		Watson (L. W.). — Voir Norris (P. R.)	C4-65
metal alloys	C4-387	Werner (S. A.). — Voir Sato (H.)	C4-03
Takayama (H.). — Strong-coupling theory for disor-			
dered superconductors	C4-299	Williams (G. P.). — Voir Norris (C.)	C4-61
Tanaka (T.). — Voir Moorjani (K.)	C4-153	Wyssmann (P.). — Voir Busch (G.)	C4-313
Tamura (K.). — Voir Fukushima (J.)	C4-261	Yamauchi (K.). — Voir Mizoguchi (T.)	C4-287
Tholence (J. L.). — Voir Perrier (J. P.)	C4-163	Yamasaki (K.). — Voir Kunitomi (N.)	C4-149
Tholence (J. L.) and Tournier (R.). — Susceptibility		Yonezawa (F.). — Metal-insulator transitions in disor-	
and remanent magnetization of a spin glass	C4-229	dered systems	C4-115
Thompson (J. C.). — Fluctuations and transport in		Yonezawa (F.). — Voir Mattis (D. C.)	C4-123
binary mixtures	C4-367	Zibold (G.). — Voir Korn (D.)	C4-257
Thompson (J. C.). — Voir Lelieur (JP.)	C4-371	Zimmermann (A.). — Thermoelectric power of liquid	
Tournier (R.). — Voir Chouteau (G.)	C4-185	alloys of transition metals	C4-343
Tournier (R.). — Voir Pataud (P.)	C4-189	Zuckermann (J.). — Voir Harris (R.)	C4-265



COLLOQUE N° 5 - 1974

Physique nucléaire autour des cyclotrons et des tandems

Louvain-la-Neuve 1974

Agard (M.). — Voir Bruandet (J. F.)	C5-2	Chery (R.). — Voir Charvet (A.)	C5-10
Agard (M.). — Voir Tsan Ung Chan	C5-2	Cole (J.). — Voir Arvieux (J.)	C5-5
Albouy (G.), Auger (G.), David (J. C.), Lagrange (J.		Colombani (P.). — Interactions entre ions très lourds	C5-75
M.), Pautrat (M.), Richel (H.), Roulet (C.), Ser-		Colombani (P.), Doubre (H.), Frascaria (N.), Jacmart (J.	
golle (H.), Vanhorenbeeck (J.). — Etats excités du		C.), Poffe (N.), Riou (M.), Roynette (J. C.),	
¹⁹² Pb nourris par la réaction ¹⁵⁶ Gd(⁴⁰ Ar, 4 n)	C5-3	Stephan (C.), Weidinger (A.). — Etude de l'interac-	
Amos (K. A.), Smith (R.). — Giant multipole effects in		tion 40 Ar $+$ 232 Th à 295 MeV	C5-8
(p, p') on 54Fe and 56Fe	C5-6	Comparat (V.). — Voir Marty (N.)	C5-4
Amos (K. A.), Geramb (H. V.). — Giant multipole		Cugnon (J.), Donni (E.). — Calcul du potentiel optique	CJ-4
effects in ²⁷ Al(pn) IAS	C5-6	α-α à l'aide d'une méthode de coordonnées généra-	
Arvieux (J.), Buenerd (M.), Cole (J.), Horen (D. J.),	05.0	trices	C5-6
De Saintignon (P.), Perrin (G.). — Résonances		111003	C3-0
géantes dans 48Ti et 56Fe étudiées par diffusion		Dauchy (A.). — Voir Chambon (B.)	C5-7
de ³ He de 80 MeV	C5-5	David (J. C.). — Voir Albouy (G.)	C5-3
Arvieux (J.). — Voir Buenerd (M.)	C5-4	Davidson (W. F.). — Voir El Masri (Y.)	C5-3
Audi (G.), Detraz (C.), Langevin (M.), Pougheon (F.).	C3-4	Deconninck (G.), Longree (M.), Desclaux (J. P.),	C5-5
La réaction (³ He, ⁷ Be) sur les noyaux de la couche		Longequeue (N.). — Emission de rayonnement X	
(2s, 1d)	C5-9	dans les réactions 209 Bi (α, xn) et 209 Bi (α, pxn)	C5-11
Auger (G.). — Voir Albouy (G.)	C5-3	Delagrange (H.). — Voir Hubert (F.)	C5-11
Auger (G.). — Von Amouy (G.)	C3-3	De Saintignon (P.). — Voir Arvieux (J.)	C5-5
Bachelier (D.), Bernas (M.), Boyard (J. L.), Hen-			C5-4-5
nino (T.), Holmgren (H.), Jourdain (J. C.), Rad-		De Saintignon (P.). — Voir Buenerd (M.)	C5-4-3
vanyi (P.), Roy-Stephan (M.). — Diffusion quasi-		Detraz (C.), Pougheon (F.), Bernas (M.), Langevin (M.),	C3-11
libre sur des sous-structures α dans ²⁴ Mg et ⁴⁰ Ca à			
	C5-9	Roussel (P.), Vernotte (J.). — Sélectivité de la	C5 10
156 MeV	C3-9	réaction (³ He, ⁶ Li)	C5-10
Baghdadi (A.), Seltz (R.), Bonneaud (G.), Kolalis (R.),		Detraz (C.). — Voir Audi (G.)	C5-9
Magnac-Valette (D.), Gerardin (C.). — Etude de	C5 11	Donni (E.). — Voir Cugnon (J.)	C5-6
quelques niveaux de ²⁸ Si et ²⁹ P par la réaction (τ, d)	C5-11	Doubre (H.). — Voir Colombani (P.)	C5-8
Barneoud (D.). — Voir Rivier (J.)	C5-1	Drain (D.). — Voir Chambon (B.)	C5-7
Beaumevieille (H.). — Voir Chambon (B.)	C5-7	Duffait (R.). — Voir Charvet (A.)	C5-10
Beraud (R.). — Voir Rivier (J.)	C5-1	El Masri (Y.), Janssens (R.), Michel (C.), Mon-	
Bergère (R.). — Résonances géantes	C5-53	seu (P.), Steyaert (J.), Vervier (J.), Lieder (R.	
Bernas (M.). — Voir Bachelier (D.)	C5-9	M.), Beuscher (H.), Davidson (W. F.), Neska-	
Bernas (M.). — Voir Detraz (C.)	C5-10	kis (A.), Mayer-Böricke (C.). — Niveaux de spins	
Bersillon (O.). — Voir Chambon (B.)	C5-7	élevés dans 178Os excités lors des réactions	
Beuscher (H.). — Voir El Masri (Y.)	C5-3	$^{169}\text{Tm}(^{14}\text{N}, 5 \text{ ny})^{178}\text{Os et }^{182}\text{W}(\alpha, 8 \text{ ny})^{178}\text{Os} \dots$	C5-3.
Bonneaud (G.). — Voir Baghdadi (A.)	C5-11		
Bosman (M.). — Voir Pirart (C.)	C5-7	Fleury (A.). — Voir Hubert (F.)	C5-9
Boyard (J. L.). — Voir Bachelier (D.)	C5-9	Frascaria (R.). — Voir Marty (N.)	C5-4
Bruandet (J. F.), Tsan Ung Chan, Longequeue (J. P.),		Frascaria (N.). — Voir Colombani (P.)	C5-8
Agard (M.), Giorni (A.). — Spectroscopie gamma	C/# 0		~ .
sur faisceau du noyau 64Zn	C5-2	Geramb (H. V.). — Voir Amos (K. A.)	C5-6
Bruandet (J. F.). — Voir Tsan Ung Chan	C5-2	Gerardin (C.). — Voir Baghdadi (A.)	C5-11
Brink (D. M.). — Voir Stancu (Fl.)	C5-12	Giorni (A.). — Voir Bruandet (J. F.)	C5-1-2
Bruandet (J. F.), Giorni (A.), Longequeue (J. P.), Tsan		Giorni (A.). — Voir Tsan Ung Chan	C5-2
Ung Chan. — Niveaux de spin élevé du ⁵⁰ Cr par	Of 1	Giraud (B.), Grammaticos (B.). — Théorie microsco-	00.46
réaction $(\alpha, xn \gamma)$	C5-1	pique du mouvement collectif	C5-12
Buenerd (M.). — Voir Arvieux (J.)	C5-5	Gizon (A.). — Niveau de spin élevé dans les noyaux de	Of the
Buenerd (M.), De Saintignon (P.), Martin (P.), Loi-		masse impaire	C5-21
seaux (J. M.), Viano (J.), Menet (J.), Lucas (J. J.).		Glasser (F.). — Voir Tsan Ung Chan	C5-2
— Etats à haute énergie d'excitation du ¹² C obser-	~	Grammaticos (B.). — Voir Giraud (B.)	C5-12
vés par (p, p') à 45 MeV	C5-5	Harris (E) No. (C) Ditor (I) Tomoin (D)	
Buenerd (M.), Martin (P.), De Saintignon (P.), Loi-		Hanappe (F.), Ngô (C.), Péter (J.), Tamain (B.). Résultats récents concernant les réactions de	
seaux (J. M.), Arvieux (J.), Menet (J.), Viano (J.		« quasi-fission »	C5-8
B.). — Etats à haute énergie d'excitation du ¹² C	05.4	« quast-nssion »	C3-0
observés par (α, α') à 60 MeV	C5-4		C5-29
Charles (D.) Danielle (C.) Danie (D.) I ambart (M.)		bilité pour la désintégration bêta Hennino (T.). — Voir Bachelier (D.)	C5-29
Chambon (B.), Bersillon (O.), Drain (D.), Lambert (M.)		Holmgren (H.). — Voir Bachelier (D.)	C5-9
Madjar (N.), Pastor (C.), Beaumevieille (H.),		Horen (D. J.). — Voir Arvieux (J.)	C5-5
Dauchy (A.), Morand (C.). — Réactions ²⁰ Ne(t,	CF 7	Hubert (F.), Delagrange (H.), Fleury (A.). — Réactions	C3-3
p) ²² Ne et ²¹ Ne(t, p) ²³ Ne à 3 et 3,4 MeV	C5-7	de transfert entre les ions ^{10,11} B et les cibles de Ta	
Charvet (A.), Chery (R.), Duffait (R.). — Désintégra-	C5-10	au-dessus de la barrière d'interaction	C5-9
tions du ¹¹³ Te et de deux états du ¹¹⁵ Te	C3-10	au-dessus de la varrière d'intéraction	C3*9

Jacmart (J. C.). — Voir Colombani (P.)	C5-8	Pastor (C.). — Voir Chambon (B.)	C5-7
Janssens (R.). — Voir El Masri (Y.)	C5-3	Pautrat (M.). — Voir Albouy (G.)	C5-3
Jeukenne (J. P.), Lejeune (A.), Mahaux (C.).		Perrin (G.). — Voir Arvieux (J.)	C5-5
Microscopic calculation of the optical-model		Peter (J.). — Voir Hanappe (F.)	C5-8
potential	C5-7	Pirart (C.), Bosman (M.), Leleux (P.), Macq (P. C.),	
Jourdain (J. C.). — Voir Bachelier (D.)	C5-9	Meulders (J. P.). — La réaction (α, 5He) dans la	
Kolalis (R.). — Voir Baghdadi (A.)	C5-11	diffusion d'alpha par 208Pb	C5-7
		Poffe (N.). — Voir Colombani (P.).	C5-8
Labie (E.), Leleux (P.), Macq (P.). — Etude des réac-		Pougheon (F.). — Voir Detraz (C.).	C5-10
tions 20,22 Ne(α , d) 22,24 Na	C5-8	Pougheon (F.). — Voir Audi (G.)	C5-9
Lagrange (J. M.). — Voir Albouy (G.)	C5-3	Radvanyi (P.). — Voir Bachelier (D.)	C5-9
Lambert (M.). — Voir Chambon (B.)	C5-7	Richel (H.). — Voir Albouy (G.)	C5-3
Langevin (M.). — Voir Audi (G.)	C5-9	Riou (M.). — Voir Colombani (P.)	C5-8
Langevin (M.). — Voir Detraz (C.)	C5-10	Rivier (J.), Barneoud (D.), Rougny (R.), Meyer (M.),	C3-0
Lefort (M.). — Perspectives de la Physique Nucléaire		Beraud (R.). — Niveau de spin élevé dans ¹⁰⁹ Cd	C5-1
avec ions lourds	C5-37	Rost (E.). — Two-step processes in transfer reactions.	C5-61
Lejeune (A.). — Voir Jeukenne (J. P.)	C5-7		C5-01
Leleux (P.). — Voir Pirart (C.)	C5-7	Rougny (R.). — Voir Rivier (J.)	C5-1
Leleux (P.). — Voir Labie (E.)	C5-8	Roulet (C.). — Voir Albouy (G.)	
Lieder (R. M.). — Voir El Masri (Y.)	C5-3	Roussel (P.). — Voir Detraz (C.)	C5-10
Loiseaux (J. M.). — Voir Buenerd (M.)	C5-4-5	Roynette (J. C.). — Voir Colombani (P.)	C5-8
Longequeue (J. P.). Voir Bruandet (J. F.)	C5-2	Roy-Stephan (M.). — Voir Bachelier (D.)	C5-9
Longequeue (N.). — Voir Deconninck (G.)	C5-11	Seltz (R.). — Intérêt spectroscopique des réactions de	
Longequeue (J. P.). — Voir Bruandet (J. F.)	C5-1-2		C5-67
Longequeue (J. P.). — Voir Tsan Ung Chan	C5-2	transfert de deux nucléons induites par ions légers.	
Longree (M.). — Voir Deconninck (G.)	C5-11	Seltz (R.). — Voir Baghadadi (A.)	C5-11 C5-3
Lucas (J. J.). — Voir Buenerd (M.)	C5-5	Sergolle (H.). — Voir Albouy (G.)	
	CIE S	Smith (R.). — Voir Amos (K. A.)	C5-6
Macq (P. C.). — Voir Pirart (C.)	C5-7	Stancu (Fl.), Brink (D. M.). — Interaction between	C5 12
Macq (P.). — Voir Labie (E.)	C5-8	complex nuclei	C5-12
Madjar (N.). — Voir Chambon (B.)	C5-7	Stephan (C.). — Voir Colombani (P.)	C5-8
Mahaux (C.). — Voir Jeukenne (J. P.)	C5-7	Steyaert (J.). — Voir El Masri (Y.)	C5-3
Magnac-Valette (D.). — Voir Baghdadi (A.)	C5-11	Touris (D.) Vois Honores (E.)	CE 9
Mallet-Lemaire (MC.). — Réactions de transfert		Tamain (B.). — Voir Hanappe (F.)	C5-8
induites par ions lourds	C5-85	Tsan Ung Chan. — Voir Bruandet (J. F.)	C5-1
Martin (P.). — Voir Buenerd (M.)	C5-4-5	Tsan Ung Chan, Agard (M.), Bruandet (J. F.), Giorni	
Marty (N.), Morlet (M.), Willis (A.), Comparat (V.),		(A.), Glasser (F.), Longequeue (J. P.). — Spectro-	05.0
Frascaria (R.). — Excitation de résonances géantes		scopie gamma sur faisceau du noyau 64Cu	C5-2
par diffusion inélastique de protons de 155 MeV	C5-4	Tsan Ung Chan. — Voir Bruandet (J. F.)	C5-2
Mayer-Böricke (C.). — Voir El Masri (Y.)	C5-3		05.3
Menet (J.). — Voir Buenerd (M.)	C5-4-5	Vanhorenbeeck (J.). — Voir Albouy (G.)	C5-3
Meulders (J. P.). — Voir Pirart (C.)	C5-7	Vernotte (J.). — Voir Detraz (C.)	C5-10
Meyer (M.). — Voir Rivier (J.)	C5-1 .	Vervier (J.). — Voir El Masri (Y.)	C5-3
Morand (C.). — Voir Chambon (B.)	C5-7	Vervier (J.). — Niveaux de spin élevé dans les noyaux	
Michel (C.). — Voir El Masri (Y.)	C5-3	pairs-pairs déformés	C5-13
Monseu (R.). — Voir El Masri (Y.)	C5-3	Viano (J.). — Voir Buenerd (M.)	C5-5
Morlet (M.). — Voir Marty (N.)	C5-4	Viano (J. B.). — Voir Buenerd (M.)	C5-4
Neskakis (A.). — Voir El Masri (Y.)	C5-3	Weidinger (A.). — Voir Colombani (P.)	C5-8
Ngô (C.). — Voir Hanappe (F.)	C5-8	Willis (A.). — Voir Marty (N.)	C5-4

Les applications de l'effet Mössbauer

Bendor 1974

Abeledo (C. R.). — Voir Latorre (R.)	C6-635 C6-449	Borely (C.), Gonzalez-Jimenez (F.), Imbert (P.) and	
Akselrod (S.), Pasternak (M.) and Bukshpan (S.).	C0-447	Varret (F.). — Mössbauer study of ¹⁷⁰ Yb in CaF ₂ and in ytterbium ethylsulphate	C6-437
Superconductivity and lattice dynamics of granu-		Borg (I. Y.). — Voir Borg (R. J.).	C6-553
lar tin	C6-393	Borg (R. J.) and Borg (I. Y.). — Magnetic order in cer-	
Andersen (J. U.). — Voir Weyer (G.)	C6-297	tain alkali amphiboles, a Mössbauer investigation.	C6-553
Apers (D.). — Voir Ladrière (J.)	C6-335	Borg (R. J.). — A Mössbauer investigation of the	
Aprahamian (J.). — Voir Bouchez (R.)	C6-541 C6-453	effect of solute clustering in Au-Fe and Cu-Ni	
Asch (L.). — Voir Schwartz (L. 11.). Asch (L.). — Voir Shenoy (G. K.).	C6-425	alloys as induced by heat treatments and neutron irradiation	C6-320
Averill (B. A.). — Voir Frankel (R. B.)	C6-107	Bouchez (R.), Coey (J. M. D.), Coussement (R.),	C0-320
, , , , , , , , , , , , , , , , , , , ,		Schmidt (K. P.), van Rossum (M.), Aprahamian (J.)	
Bade (D.). — Voir Eicher (H.)	-363-367	and Deshayes (J.). — Mössbauer study of firing	
Barb (D.), Burzo (E.) and Morariu (M.). — Mössbauer		conditions used in the manufacture of the grey red	06.541
effect : a test for checking the Néel model in ferri-		ware of tureng-tepe	C6-541
magnetic rare-earth iron compounds	C6-625	Boudart (M.). — Voir Topsøe (H.). Boyle (A. J. F.). — Voir Litterst (F. J.).	C6-411 C6-403
Baumann (J.). — Voir Seyboth (D.)	C6-305	Bressani (T.). — Voir Bonazzola (G. C.).	C6-687
Bauminger (E. R.), Felner (I.), Froindlich (D.), Levron		Brewer (W. D.). — Voir Laurenz (R.)	C6-686
(D.), Nowik (I.), Ofer (S.) and Yanovsky (R.). — Mössbauer effect studies of interconfiguration		Bröll (W.). — Voir Litterst (F. J.)	C6-415
fluctuations in metallic rare earth compounds	C6-61	Brooks (J. S.). — Voir Williams (J. M.)	C6-693
Bauminger (E. R.). — Voir Giberman (E.)	C6-371	Brusetti (R.). — Voir Fink (J.)	C6-675
Bäverstam (U.), Ekdahl (T.) and Ringström (B.).		Bruyneel (W.). — Voir Pollak (H.)	C6-571 C6-305
Belov (V. F.). — Voir Zheludev (I. S.)	C6-633	Bucher (E.). — Voir Triplett (E.).	C6-653
The magnetic field near the surface in metallic iron.	C6-685	Bukshpan (S.). — Voir Akselrod (S.)	C6-393
Bhargava (S. C.) and Iyengar (P. K.). — Spin relaxa-		Bunzel (H.), Kreber (E.) and Gonser (U.). — Spin orien-	
tion in disordered nickel-zinc ferrites using Möss- bauer effect	C6-669	tation in FeB	C6-609
Bhide (V. G.) and Rajoria (D. S.). — Itinerant electron	C0-009	Buschow (K. H. J.). — Voir Gubbens (P. C. M.)	C6-619
ferromagnetism in $La_{1-x}Sr_{x}CoO_{3}$: a Mössbauer		Burzo (E.). — Voir Barb (D.).	C6-625
study	C6-629	Buskes (H. A.) and Cashion (J. D.). — Mössbauer effect	C6 221
Binder (J.), Kaindl (G.), Salomon (D.) and Wortmann		observation of divalent gadolinium Butler (I. S.). — Voir Sawai (T.)	C6-221 C6-247
(G.). — Effect of hydrostatic pressure on the iso-		Dutter (1. 5.). — 1011 Survai (2.),	00211
mer shifts of the 6.2 keV resonance of ¹⁸¹ Ta in transition metals	C6-184	Cadeville (M. C.). — Voir Vincze (I.)	C6-533
Blum (N. A.) and Feldman (C.). — Mössbauer investi-	C0-104	Cammack (R.). — Voir Dickson (D. P. E.)	C6-343
gation of amorphous and polycrystalline tellurium.	C6-401	Carlsson (B.). — Voir Wäppling (R.)	C6-597
Bogner (L.). — Voir Eicher (H.)	C6-367	Cashion (J. D.). — Voir Buskes (H. A.)	C6-221
Bokemeyer (H.), Eckardt (D.) and Wohlfahrt (K.). —		Champion (P. M.). — Voir Münck (E.)	C6-33
The scattering cross-section for non-axial symme-		Chandra (K.). — Voir Häggström (L.).	C6-603 C6-71
tric hyperfine interaction including an anisotropic	C6 290	Chappert (J.). — High field Mössbauer spectroscopy Chiavassa (E.). — Voir Bonazzola (G. C.)	C6-687
Debye-Waller-factor	C6-389 C6-358	Chopin (C.), Hartmann-Boutron (F.) and Spanjaard	00 007
Bonazzola (G. C.), Bressani (T.), Chiavassa (E.), Della-	C0-550	(D.). — Application of Hirst's theory to phonon	
casa (G.), Musso (A.) and Minetti (B.). — Possible		relaxation; Mössbauer lineshape in the presence	
improvements of Mössbauer spectrometers with		of relaxation between two electronic Kramers	
use of multiwire proportional counters	C6-687	doublets	C6-433
Bonville (P.), Gonzalez-Jimenez (F.), Imbert (P.) et		Chukhovskii (F. N.) and Perstnev (I. P.). — On the diffraction on the nuclear resonant gamma-rays by	
Varret (F.). — Etude par effet Mössbauer de quel-	C6 575	mosaic crystals	C6-185
ques pérovskites d'ytterbium Boolchand (P.), Triplett (B. B.), Hanna (S. S.) and de	C6-575	Cirák (J.). — Voir Gregŭsková (M.).	C6-355
Neufville (J. P.). — Mössbauer studies on amor-		Cirak (J.). — Voir Lipka (J.)	C6-595
phous Ge _x Te _{1-x}	C6-420	Cirak (J.). — Voir Sitek (J.)	C6-379
Boolchand (P.). — Voir Mahmud (Y.)	C6-227	Coey (J. M. D.). — Amorphous solids: A review of the	06.00
Boolchand (P.). — Voir Van Rossum (M.)	C6-301	applications of the Mössbauer effect	C6-89
Boolchand (P.). — Voir Salomon (D.)	C6-285 C6-653	Coey (J. M. D.). — Voir Bouchez (R.)	C6-541 C6-675
Boolchand (P.). — Voir Triplett (B. B.)	CO-022	COCJ (U. 171. 15.). TOIL 1 MR (U.)	20 010

Cohen (B. L.), Remeika (J. P.) and West (K. W.). —		Eicher (H.), Parak (F.), Bogner (L.), Bade (D.),	
Site occupancy and binding of Eu ²⁺ in the solid		Kalvius (G. M.), Gersonde (K.) and Schlaak (E.).	
electrolyte sodium β alumina	C6-513	— Investigation of bacterial ferrodoxin by Möss-	66.267
Cohen (R. L.). — Voir de Waard (H.)	C6-295	bauer spectroscopy	C6-367
Cohen (S. G.). — Voir Giberman (E.)	C6-371 C6-421	Electronic structure of the iron in deoxigenated	
Coqublin (B.). — Voir Gonzalez-Jimenez (F.)	C6-421	myoglobin from Mössbauer spectroscopy	C6-363
Costamagna (J. A.). — Voir Latorre (R.)	C6-635	Eissa (N. A.), Sallam (H. A.) and Keszthelyi (L.). —	
Coussement (R.). — Voir Bouchez (R.)	C6-541	Mössbauer study of changes in clays during firing.	C6-569
Coussement (R.). — Voir Ladrière (J.)	C6-351	Eliezer (D.), Nadiv (S.) and Ron (M.). — Kinetics of	
Coussement (R.). — Voir Van Rossum (M.)	C6-301	sintering in β-FeGe	C6-477
Crecelius (G.). — Voir Maletta (H.)	C6-279	Ellis (D. E.). — Voir Freeman (A. J.)	C6-3
Czjzek (G.), Fink (J.), Schmidt (H.), Krill (G.), Gau-		Ericsson (T.). — Voir Häggström (L.) Ericsson (T.). — Voir Wäppling (R.)	C6-603 C6-597
tier (F.), Lapierre (M. F.) and Robert (C.). — Investigation of magnetic structures and phase		Evans (B. J.). — Voir Swartzendruber (L. J.).	C6-265
transitions in NiS ₂ by 61Ni-Mössbauer spectros-		Evans (M. C. W.). — Voir Dickson (D. P. E.)	C6-343
copy	C6-621		
Czjzek (G.). — Voir Fink (J.)	C6-675	Fabritchnyi (P. B.), Dance (J. M.), Ménil (F.), Por-	
		tier (J.) and Hagenmuller (P.). — Etude par effet	
Dellacasa (G.). — Voir Bonazzola (G. C.)	C6-687	Mössbauer des champs magnétiques transférés sur	
Dance (J. M.). — Voir Fabritchnyi (P. B.)	C6-262	le noyau de 119Sn4+ dans FeF3	C6-262
Danon (J.). — Voir Iannarella (L.)	C6-517	Feldman (C.). — Voir Blum (N. A.)	C6-401
Danon (J.). — Voir Mattievich (E.).	C6-562	Felner (I.). — Voir Bauminger (E. R.).	C6-61
Danon (J.). — Voir Taft (C. A.)	C6-241 C6-429	Fenger (J.). — Voir Maddock (A. G.)	C6-324
Davidson (G. R.). — Voir Dunlap (B. D.)		Fink (J.), Czjzek (G.), Schmidt (H.), Ruebenbauer (K.), Coey (J. M. D.) and Brusetti (R.). — Investigation	
Deshayes (J.). — Voir Bouchez (R.).	C6-541	of the metal-to-semimetal transition in NiS by	
Deutch (B. I.). — Voir Weyer (G.)	C6-297	61Ni-Mössbauer spectroscopy	C6-675
Devanarayanan (S.). — Voir Wäppling (R.)	C6-597	Fink (J.). — Voir Czjzek (G.)	C6-621
Devort (J. P.), Sanchez (J. P.), Friedt (J. M.) and		Fleisch (J.), Gütlich (P.), Hasselbach (K. M.) and Mül-	
Shenoy (G. K.). — Hyperfine interaction parame-		ler (W.). — High spin-low spin transition in subs-	
ters for ¹²¹ Sb and ¹²⁷ I in $(CH_3)_nSbX_{3-n}$ (X = Cl,	C6 255	tituted phenanthroline complexes of iron (II)	C6-659
Br, I) $(n = 0, 1, 2, 3)$	C6-255	Foct (J.). — Etude par spectrométrie Mössbauer des solutions solides Fe-N cubiques et tétragonales	C6-487
(A. M.). — Paramagnetic relaxation phenomena		Foct (J.), Dubois (J. M.) and Le Caer (G.). — Etude	C 0-407
in alums	C6-449	par spectrométrie Mössbauer des phases intersti-	
Dézsi (I.). — Voir Sontheimer (F.)	C6-443	tielles ε	C6-493
Dézsi (I.). — Voir Trautwein (A.)	C6-235	Fradin (F. Y.). — Voir Kimball (C. W.)	C6-383
Dickson (D. P. E.), Johnson (C. E.), Thompson (C. L.),		Frank (E.). — Voir Latorre (R.)	C6-635
Cammack (R.), Evans (M. C. W.), Hall (D. O.),		Frank (E.). — Voir Saragovi-Badler (C.)	C6-563
Rao (K. K.) and Weser (U.). — Mössbauer effect studies on the four-iron centres of two iron-sul-		Frankel (R. B.), Averill (B. A.) and Holm (R. H.). — Mössbauer properties of synthetic analogs of active	
phur proteins	C6-343	sites of the iron-sulphur proteins	C6-107
Dixon (N. S.). — Voir Salomon (D.)	C6-285	Frankel (R. B.). — Voir Latorre (R.).	C6-635
Dixon (N. S.). — Voir Triple(t (B. B.)	C6-653	Freeman (A. J.) and Ellis (D. E.). — Theoretical deter-	
Drentje (S. A.). — Voir de Waard (H.)	C6-295	mination of charge and spin densities	C6-3
Drijver (J. W.), De Groot (K.) and van der Woude (F.).		Friedt (J. M.). — Voir Devort (J. P.)	C6-255
— Determination of long range order in Ni ₃ Fe	06.465	Friedt (J. M.). — Voir Sanchez (J. P.).	C6-259
using the Mössbauer effect technique Drost (H.), Palow (K.) and Weyer (G.). — Time dis-	C6-465	Friedt (J. M.). — Voir Shenoy (G. K.). Froindlich (D.). — Voir Bauminger (E. R.).	C6-425 C6-61
tribution of Mössbauer scattered radiation	C6-679	Froindlich (D.). — Voir Giberman (E.)	C6-371
Dubiel (S. M.) and Krop (K.). — Influence of neigh-	20077	Frolov (E. N.), Likhenstein (G. I.), Bolonogowa (O. W.),	
bouring chromium atoms on hyperfine fields at		Trukhtanow (W. A.) and Goldanskij (V. I.). —	
⁵⁷ Fe nuclei and isomer shifts in Fe-Cr alloys	C6-459	Application of the Mössbauer effect to the investi-	
Dubois (J. M.). — Voir Foct (J.).	C6-493	gation of dynamic structure and catalytic proper-	C1 250
Dudreva (B.), Pirintchieva (R.) and Grande (S.). — Investigation of the phase transition in phthalocya-		ties of enzymes	C6-358
nine using the Mössbauer effect	C6-633	Fujioka (M.). — Voir Shinohara (T.)	C6-215
Dumesic (J. A.). — Voir Topsøe (H.)	C6-411	Congos (N. H.) Voir Vestilves (A.)	C6 527
Dumont (G.). — Voir Van Rossum (M.)	C6-301	Gangas (N. H.). — Voir Kostikas (A.). Gautier (F.). — Voir Czjzek (G.).	C6-537 C6-621
Dunlap (B. D.), Davidson (G. R.), Eibschütz (M.),		Geller (R.). — Voir Klein (Ch.)	C6-589
Guggenheim (H. J.) and Sherwood (R. C.). —		Gerard (A.) and Grandjean (F.). — Mössbauer spectra	
Crystal field and electronic relaxation effects in		in the presence of a fluctuating electric field gra-	
Rb ₂ NaYbF ₆	C6-429	dient	C6-452
Dunlap (B. D.). — Voir Shenoy (G. K.). Duo (R.). — Voir Lupiani (C.)	C6-425 C6-251	Gerdeau (E.). — Voir Müller (W.)	C6-375
Las (act)	C0-231	Gersonde (K.), — Voir Eicher (H.).	C6-367
Eckardt (D.). — Voir Bokemeyer (H.)	C6-389	Giberman (E.), Yariv (Y.), Kalb (A. J.), Bauminger (E. R.), Cohen (S. G.), Froindlich (D.) and Ofer	
Edgington (D.). — Voir Perlow (G. J.).	C6-547	(S.). — Recoil-free spectra from ⁵⁷ Co-enteroche-	
Ekdahl (T.). — Voir Bäverstam (U.)	C6-685	lin in E. Coli cells	C6-371
Eibschütz (M.). — Voir Dunlap (B. D.)	C6-429	Gierisch (W.). — Voir Scherg (M.)	C6-527

Gol'danskii (V. I.). — Voir Gusakovskaya (I. G.)	C6-633	Hornstein (F.) and Ron (M.). — Plastic deformation of	
Gol'danskii (V. I.), Karyagin (S. V.) and Namiot (V. A.).		a Cu-1.92 ^w /o Fe alloy	C6-497
— On the compensation of a nonuniform chemical (monopole) shift of the Mössbauer line	C6-193	Hornstein (F.). — Voir Ron (M.). Hüfner (S.). — Voir Gumprecht (D.).	C6-505
Gonser (U.) and Pfannes (H. D.). — Texture problems.	C6-113	Hüfner (S.). — Voir Steiner (P.)	C6-624 C6-523
Gonser (U.). — Voir Bunzel (H.)	C6-609	Iannarella (L.), Wagner (F. E.), Wagner (U.) and Da-	
Gonser (U.). — Voir Wildner (W.)	C6-381	non (J.). — Mössbauer study of transition metal	
(P.), Cornut (B.) and Coqblin (B.). — Etude par		impurities in hydrogen-loaded palladium	C6-517
effet Mössbauer du comportement dynamique de		Imbert (P.). — Voir Bonville (P.). Imbert (P.). — Voir Borely (C.)	C6-575 C6-437
l'ytterbium dilué dans l'or	C6-421 C6-575	Imbert (P.). — Voir Gonzalez-Jimenez (F.)	C6-421
Gonzalez-Jimenez (F.). — Voir Borely (C.)	C6-437	Ishida (Y.). — Voir Kato (M.)	C6-309
Gould (T. H.) and Vincent (D. H.). — Mössbauer spec-		Ito (A.). — Mössbauer effect for Fe ⁵⁷ produced by the decay of Co ⁵⁷ doped selectively in B sites of ma-	
troscopy study of aging and fast neutron irradiation effects in a copper-rich Cu-Fe alloy	C6-315	gnetite	C6-325
Grande (S.). — Voir Dudreva (B.).	C6-633	Iyengar (P. K.). — Voir Bhargava (S. C.)	C6-669
Grandjean (F.). — Voir Gerard (A.)	C6-452	Janot (Ch.) and Delcroix (P.). — Coloured covering on	
Greenwood (N. N.). — Voir Motte (J. P.)	C6-507	aluminium studied by Mössbauer spectroscopy Janot (Ch.) and Delcroix (P.). — Mössbauer study of	C6-501
Gregusková (M.), Cirák (J.) and Novotny (J.). — The influence of UV-radiation on Fe-DNA complexes		ancient french ceramics	C6-557
as measured by Mössbauer spectroscopy	C6-355	Janot (Ch.). — Voir Piecuch (M.).	C6-291
de Groot (K.). — Voir Drijver (J. W.)	C6-465	Jehanno (C.). — Voir Varret (F.). Jesser (R.). — Voir Vincze (I.).	C6-639 C6-533
Gubbens (P. C. M.), van Loef (J. J.) and Buschow (K. H. J.). — Magnetic and electric properties of		Johnson (C. E.). — Voir Dickson (D. P. E.)	C6-343
R ₂ Fe ₁₇ compounds studies by means of the Möss-		Josephson (W. D.). — Voir Roberts (L. D.)	C6-225
bauer effect	C6-617	Kaindl (G.). — Voir Binder (J.)	C6-184
Gubbens (P. C. M.). — Voir van der Kraan (A. M.) Guggenheim (H. J.). — Voir Dunlap (B. D.)	C6-469 C6-429	Kaindl (G.). — Voir Heidmann (A.). Kalb (A. J.). — Voir Giberman (E.).	C6-515 C6-371
Gumprecht (D.), Steiner (P.) and Hüfner (S.).	C0-42)	Kalvius (G. M.), Klein (U. F.) and Wortmann (G.).	,00-371
Coexistence of superconductivity and magnetism		Volume dependence of hyperfine interactions	C6-139
in Eu _x La _{1-x}	C6-624 C6-523	Kalvius (G. M.). — Voir Eicher (H.)	C6-367 -403-415
Gunther (L.) and Zitkova Wilcox. — The Mössbauer		Kalvius (G. M.). — Voir Sauer (Ch.)	C6-269
effect and Brownian motion	C6-519	Kalvius (G. M.). — Voir Scherg (M.) Karlsson (E.). — Voir Häggström (L.).	C6-527 C6-603
Gusakovskaya (I. G.) and Gol'danskii (V. I.). — Order- disorder phenomena and Mössbauer line broaden-		Karlsson (E.). — Voir Wäppling (R.)	C6-597
ing	C6-633	Karyagin (S. V.). — Voir Gol'danskii (V. I.)	C6-193
Gütlich (P.). — Voir Fleisch (J.)	C6-659	Kash (R. M.). — Voir Perlow (G. J.)	C6-888
Hagenmuller (P.). — Voir Fabritchnyi (P. B.)	C6-262	Mori (M.). — Mössbauer spectrum of 57Fe and	66.000
Häggström (L.), Ericsson (T.), Wäppling (R.), Karls-	C0-202	119Sn associated with lattice defects in aluminium Keisch (B.). — Mössbauer effect studies of fine arts	C6-309 C6-151
son (E.) and Chandra (K.). — Mössbauer studies of	CIC (02	Keszthelyi (L.). — Voir Eissa (N. A.)	C6-569
the isostructural compounds FeGe, FeSn and CoSn. Häggström (L.). — Voir Wäppling (R.)	C6-603 C6-597	Keune (W.), Lauer (J.) and Williamson (D. L.). — Mössbauer studies of FeCu thin films	C6-473
Hall (D. H.). — Voir Dickson (D. P. E.)	C6-343	Kimball (C. W.) and Fradin (F. Y.). — Mössbauer	C0-4/3
Ham (F. S.). — Jahn-Teller effects in Mössbauer	C6 121	study of lattice softening and phonon moments in	
spectroscopy Hanna (S. S.). — Voir Boolchand (P.).	C6-121 C6-420	superconducting compounds	C6-383
Hanna (S. S.). — Voir Mahmud (Y.)	C6-227	system (Fe _x , Mn _{1-x})WO ₄ using neutron diffraction	
Hanna (S.). — Voir Salomon (D.)	C6-285 C6-653	and Mössbauer spectroscopy	.C6-589 C6-686
Hartmann-Boutron (F.). — Voir Chopin (C.)	C6-433	Klein (E.). — Voir Laurenz (R.)	C6-139
Hartmann-Boutron (F.). — Voir Gonzalez-Jimenez (F.).	C6-421	Knoble (D. W.). — Voir Roberts (L. D.)	C6-225
Harris (F. E.). — Voir Trautwein (A.)	C6-235 C6-659	Köbler (U.). — Voir Sauer (Ch.)	C6-269
Heidmann (A.), Kaindl (G.), Salomon (D.) and Wort-		Mössbauer study of Mycenean and Minoan pottery.	C6-537
mann (G.). — Mössbauer study of the α-phase of the Te-H system	C6-515	Kostikas (A.). — Voir Petridis (D.)	C6-262
Hazony (Y.) and Herber (R. H.). — Vibrational spec-	C0-313	van der Kraan (A. M.) and Gubbens (P. C. M.). — Mössbauer study of the ternary system Ho(Fe, Co) ₂ .	C6-469
troscopy, resonance fraction and molecular motion.	C6-131	Kreber (E.). — Voir Bunzel (H.)	C6-609
Herber (R. H.). — Voir Hazony (Y.)	C6-131	Krill (G.). — Voir Czjzek (G.)	C6-621 C6-459
bauer and magnetic studies on the iron-tellurium		Krupyanskii (Yu. F.) and Suzdalev (I. P.). — Size effects	
system	C6-608 C6-275	in fine particles Fe ₃ O ₄	C6-407
Hirst (L. L.). — Relaxation of 3d and 4f electrons in		Kulcsár (K.). — Voir Nagy (D. L.)	C6-383
metals and alloys	C6-21	Ladrière (J.) et Apers (D.). — Conséquences chimi-	C6-563
Hisatake (K.). — Voir Shinohara (T.) Holba (P.). — Voir Lipka (J.)	C6-215 C6-595	ques de la capture électronique du cobalt 57 dans	
Holm (R. H.). — Voir Frankel (R. B.)	C6-107	les salicylates et glycolates de cobalt (II)	C6-335

Ladrière (J.), Coussement (R.) et Theuwissen (B.). —		Max (C.), Roques (B.) et Le Caer (G.). — Propriétés	
Etude de la lactoferrine de fer fer par spectroscopie		magnétiques de la variété monoclinique du mono-	
	C6-351	germaniure de fer et de ses alliages avec cobalt et	
Mössbauer	C0-331	nickel	C6-61
décomposition thermique du diaquo-bisalicylate de	CC CAT	Ménil (F.). — Voir Fabritchnyi (P. B.)	C6-26
Fe(II) par spectroscopie Mössbauer	C6-647	Merlini (A.). — Voir Maracci (G.)	C6-39
Langouche (G.). — Voir Van Rossum (M.)	C6-301	Meykens (A.). — Voir Van Rossum (M.)	C6-30
Lapierre (M. F.). — Voir Czjzek (G.)	C6-621	Micklitz (H.) and Litterst (F. J.). — Mössbauer absorp-	
Latorre (R.), Costamagna (J. A.), Frank (E.), Abeledo		tion experiment with 57Fe ⁺ (3d ⁶ 4s) ions isolated in	
(C. R.) and Frankel (R. B.). — Kinetics of the		a xenon matrix	C6-21.
ground state transformation in Fe(II) (N, N'-Dicy-		Minetti (B.). — Voir Bonazzola (G. C.)	C6-68
clohexylthiourea) ₆ (CLO ₄) ₂	C6-635	Morariu (M.). — Voir Barb (D.)	C6-62:
Lauer (J.). — Voir Keune (W.)	C6-473	Mori (M.). — Voir Kato (M.)	C6-309
Laurenz (R.), Klein (E.) and Brewer (W. D.). — NMR	CO 475	Mørup (S.). — Investigation of a relaxation broadened	
		absorption spectrum by use of a polarized source	C6-68
detected by Mössbauer-effect applied to the sys-	C6-686	Motte (J. P.), El Maslout (A.) and Greenwood (N. N.).	
tem ⁵⁷ CoFe		— Etude de la diffusion du lithium dans le phos-	
Le Caer (G.). — Voir Foct (J.)	C6-493	phore antifluorine à excès de cations: Li ₈ SnP ₄	C6-50
Le Caer (G.). — Voir Max (C.)	C6-611	Muir (W. B.). — Voir Hermon (E.)	C6-608
Levron (D.). — Voir Bauminger (E. R.)	C6-61	* * *	C0-000
Likhenstein (G. I.). — Voir Frolov (E. N.)	C6-358	Müller (W.), Winkler (H.) and Gerdeau (E.). — Inves-	CC 27
Link (R.) and W. Wurtinger. — Magnetic anisotropy in		tigation of lattice dynamics with 117Sn and 119Sn	C6-37:
the Fe-boracites	C6-581	Müller (W.). — Voir Fleisch (J.)	C6-659
Lipka (J.), Cirak (J.), Holba (P.) and Sitek (J.).	0000	Münck (E.) and Champion (P. M.). — Electronic struc-	
Mössbauer effect, magnetisation and magnetic		ture of biomolecules	C6-3
susceptibility measurements in Sc substituted YIG.	C6-595	Musso (A.). — Voir Bonazzola (G. C.)	C6-68
* *			
Lipka (J.). — Voir Sitek (J.)	C6-379	Nagy (D. L.), Kulcsár (K.), Spiering (H.) and Zimmer-	
Litterst (F. J.), Bröll (W.) and Kalvius (G. M.). — Low	~	mann (R.). — On the anisotropy of the recoilless	
temperature phases of microcrystalline FeCl ₃	C6-415	fraction in FeCO ₃ at 4.2 K	C6-38:
Litterst (F. J.), Kalvius (G. M.) and Boyle (A. J. F.). —			C6-47
Phase transformations on annealing of non-		Nadiv (S.). — Voir Eliezer (D.)	
crystalline ferrous halides	C6-403	Nagy (D. L.). — Voir Dézsi (I.)	C6-449
Litterst (F. J.). — Voir Micklitz (H.)	C6-213	Nagy (D. L.). — Voir Sontheimer (F.)	C6-443
Litterst (F. J.). — Voir Scherg (M.)	C6-527	Nagy (D. L.). — Voir Spiering (H.)	C6-231
Llabador (Y.). — Voir Mahieu (B.)	C6-329	Nagy (D. L.). — Voir Zimmermann (R.)	C6-439
		Namiot (V. A.). — Voir Gol'danskii (V. I.)	C6-193
van Loef (J. J.). — Voir Gubbens (P. C. M.)	C6-617	Nandwani (S. S.). — Lattice dynamical investigation	
Lohner (T.). — Voir Dézsi (I.)	C6-449	of Mössbauer resonance strength and thermal	
Lohner (T.). — Voir Sontheimer (F.)	C6-443	energy shift for 23.87 keV gamma-ray of Sn ¹¹⁹ in	
Lupiani (C.), Vara (J. M.), Sancho (J.) and Duo (R.).		iron lattice	C6-395
— Study of $(NCS)_X(H_2O)_{6-x}(Fe)K_{x-2}$ for $X = 6$,		de Neufville (J. P.). — Voir Boolchand (P.)	C6-420
5, 4, 3 by Mössbauer spectroscopy	C6-251	Nielsen (H. L.). — Voir Weyer (G.)	C6-297
t, i, b by Mossouder spectroscopy	00 201	Nikolaiev (I. N.), Potapov (V. P.) and Maryin (V. P.).	
		— Mössbauer effect in CO ₂ MnSn under pressure.	C6-184
Maddock (A. G.), Williams (A. F.), Fenger (J.) and		Novotný (J.). — Voir Gregŭsková (M.)	C6-35
Sierkierska (K. E.). — Mössbauer emission spec-		Nowik (I.). — Voir Bauminger (E. R.)	C6-61
tra form ⁵⁷ Co in simple ionic halide crystals	C6-324	Nylandsted-Larsen (A.). — Voir Weyer (G.)	C6-29
Maddock (A. G.). — Voir Ladrière (J.)	C6-647	Nylandsteu-Laisen (A.). — Von Weyer (G.)	C0-29
Mahieu (B.) et Llabador (Y.). — Spectroscopie d'é-			
mission et d'absorption de composés de benzylé-		Odeurs (J.). — Voir Van Rossum (M.)	C6-301
tain. Conséquences de la désexcitation de ^{119m} Sn et		Ofer (S.). — Voir Bauminger (E. R.)	C6-61
	C6 220	Ofer (S.). — Voir Giberman (E.)	C6-371
de la radiolyse externe	. C0-329	Ohki (K.). — Voir Takeda (M.)	C6-339
Mahmud (Y.), Boolchand (P.), Hanna (S. S.) and Tri-		Okada (K.). — Voir Shinjo (T.)	C6-323
plett (B. B.). — Mössbauer effect studies of Te		Onodera (H.). — Voir Shinohara (T.)	C6-215
compounds	C6-227	Oosterhuis (W. T.) and Spartalian (K.). — Mössbauer	
Maletta (H.), Crecelius (G.) and Zinn (W.). — Spin		and ESR studies in low symmetry iron complexes.	C6-347
and charge density transfer in the series		and LSR stadies in low symmetry from complexes.	CO 54
$Dy(Fe_xAl_{1-x})_2$	C6-279		
Maracci (G.), Merlini (A.) and Pace (S.). — Diffuse		Pace (S.). — Voir Maracci (G.)	C6-394
Mössbauer scattering applied to the formation of		Palow (K.). — Voir Drost (H.)	C6-679
ω phase in Zr-20 % Nb alloy	C6-394	Parak (F.). — Voir Eicher (H.)	-363-367
	CU-374	Pasternak (M.). — Voir Akselrod (S.)	C6-393
Maring (K. W.), van der Woude (F.), Heyman (K. M. F.),		Pasternak (M.). — Voir Petridis (D.)	C6-262
Schaafsma (A. S.) and Sawatzky (G. A.). — Study	00.055	Pattyn (H.). — Voir Van Rossum (M.)	C6-301
of dilute FeSn alloy	C6-275	Perlow (G. J.), Potzel (W.), Kash (R. M.) and de Waard	
Martin (J. P.). — Voir Sawai (T.)	C6-247	(H.). — Application of a method of frequency	
Maryin (V. P.). — Voir Nikolaiev (I. N.)	C6-184	modulation Mössbauer spectroscopy in 67Zn to	
El Maslout (A.). — Voir Motte (J. P.)	C6-507	precise determination of the electric quadrupole	
Mastoris (P.). — Voir Sharma (R. R.)	C6-359	interaction of 67ZnO	C6-197
Mattievich (E.) and Danon (J.). — Mössbauer studies	20 337	Perlow (G. J.), Potzel (W.) and Edgington (D.). — Se-	20 17
of natural and synthetic ferrous phosphates of		rial study of lake Michigan sediments by 57Fe	
homologous series Fe ₃ ⁺ (PO ₄) ₂ (H ₂ O) _n	C6-562		C6-547
Matsuzawa (T.). — Voir Takano (M.).	C6-263	Mössbauer spectroscopy Perstnev (I. P.). — Voir Chukhovskii (F. N.)	C6-185
TVLECOULAWA (1.) VOIL LANAHU (IVI.)	CU-203	I CISCHET (I. I.). — VOII CHURHOVSKII (F. IN.)	CO.107

Petridis (D.), Simopoulos (A.), Kostikas (A.) and Pas-		Sawai (T.), Martin (J. P.), Butler (I. S.) and Simkin	
ternak (M.). — Transferred hyperfine interactions		(D.). — Mössbauer studies on some π -cyclopenta-	
in Fe(III) bis-dithiocarbamato iodides	C6-262	dienyliron carbonyl complexes	C6-247
Pfannes (H. D.). — Voir Gonser (U.)	C6-113	Sawatzky (G. A.), and van der Woude (F.). — Conva-	
Pfannes (H. D.). — Voir Wildner (W.)	C6-381	lency effects in hyperfine interactions	C6-47
resolution Mössbauer nuclide	C6-203	Sawatzky (G. A.). — Voir Maring (K. W.)	C6-275
Piecuch (M.) and Janot (Ch.). — Temperature depen-	C0-203	Schaafsma (A. S.). — Voir Maring (K. W.) Scherg (M.), Seidel (E. R.), Litterst (F. J.), Gierisch	C6-275
dence of the electric field gradient at transition		(W.) and Kalvius (G. M.). — Mössbauer study of	
impurities in close-packed hexagonal metals	C6-291	a very dilute Pt(Fe) alloy at very low temperatures.	C6-527
Pilnev (V. G.). — Voir Zheludev (I. S.)	C6-633	Schlaak (H. E.). — Voir Eicher (H.)	C6-367
Pirintchieva (R.). — Voir Dudreva (B.)	C6-633	Schmidt (H.). — Voir Czjzek (G.)	C6-621
Pollak (H.) et Bruyneel (W.). — Saut d'électrons et le		Schmidt (H.). — Voir Fink (J.).	C6-675
rapport Fe ⁺⁺ /Fe ⁺⁺⁺ dans deux silicates	C6-571	Schmidt (K. P.). — Voir Bouchez (R.)	C6-537
Portier (J.). — Voir Fabritchnyi (P. B.)	C6-262 C6-184	Schwartz (L. H.) and Asano (A.). — Determination of local atomic order using the Mössbauer effect	C6 152
	-197-547	Seidel (E. R.). — Voir Scherg (M.)	C6-453 C6-527
20121 (11)	17, 51,	Seyboth (D.), Volland (U.), Brzoska (B.), Baumann (J.),	00 327
Raclavský (K.). — Voir Zemčík (T.)	C6-549	Sontheimer (F.) and Wimmer (K.). — Mössbauer	
Raghavan (R. S.). — Voir Pfeiffer (L.).	C6-203	experiments with Coulomb-excited 57Fe after recoil	
Raj (D.). — Voir Taft (C. A.)	C6-241	implantation into fcc-lattices	C6-305
Rajoria (D. S.). — Voir Bhide (V. G.)	C6-629	Seyboth (D.). — Voir Sontheimer (F.)	C6-443 C6-663
Rao (K. K.). — Voir Dickson (D. P. E.)	C6-343	Sharma (R. R.) and Mastoris (P.). — Nuclear hyper-	C0-003
Regnard (J. R.). — Mössbauer study of cubic doped	CC 101	fine interaction of Fe in chloro-hemin	C6-359
KMgF ₃ in the presence of a magnetic field Reintsema (S. R.). — Voir de Waard (H.)	C6-181	Shenoy (G. K.), Asch (L.), Friedt (J. M.) and Dunlap	
Remeika (J. P.). — Voir Cohen (R. L.).	C6-295 C6-513	(B. D.). — Spin relaxation and Breit-Rabi spectra	0.5
Reschke (R.). — Voir Trautwein (A.)	C6-235	of cubic Yb salt	C6-425
Ringström (B.). — Voir Bäverstam (U.)	C6-685	Shenoy (G. K.). — Voir Devort (J. P.). Shenoy (G. K.). — Voir Sanchez (J. P.).	C6-255 C6-259
Ritter (G.). — Voir Sontheimer (F.)	C6-443	Sherwood (R. C.). — Voir Dunlap (B. D.).	C6-429
Ritter (G.). — Voir Zimmermann (R.)	C6-439	Shimada (M.). — Voir Takano (M.)	C6-263
Robert (C.). — Voir Czjzek (G.)	C6-621	Shinjo (T.). — Mössbauer study of ferromagnetic metal	
— Correlation of the Mössbauer isomer shift with		surface	C6-691
the X-ray chemical shift for Au in Cu ₃ Au	C6-225	Shinjo (T.), Okada (K.) and Takada (T.). — Mössbauer	C6 222
Ron (M.) and Hornstein (F.). — Interpretation of Möss-		study of CoO at very low temperatures Shinohara (T.), Fujioka (M.), Onodera (H.), Hisatake	C6-323
bauer measurements of diffusivity	C6-505	(K.), Yamamoto (H.), Watanabe (H.). — The	
Ron (M.). — Voir Eliezer (D.)	C6-477	contact charge densities of 4s electrons of Fe	
Ron (M.). — Voir Hornstein (F.)	C6-497	impurity atom in some transition and noble metals.	C6-215
Ron (M.). — Voir Stupel (M. M.)	C6-483	impurity atom in some transition and noble metals. Sierkierska (K. E.). — Voir Maddock (A. G.)	C6-324
		impurity atom in some transition and noble metals. Sierkierska (K. E.). — Voir Maddock (A. G.). Simkin (D.). — Voir Hermon (E.)	C6-324 C6-608
Ron (M.). — Voir Stupel (M. M.)	C6-483	impurity atom in some transition and noble metals. Sierkierska (K. E.). — Voir Maddock (A. G.). Simkin (D.). — Voir Hermon (E.). Simkin (D.). — Voir Sawai (T.).	C6-324 C6-608 C6-247
Ron (M.). — Voir Stupel (M. M.)	C6-483 C6-611	impurity atom in some transition and noble metals. Sierkierska (K. E.). — Voir Maddock (A. G.). Simkin (D.). — Voir Hermon (E.)	C6-324 C6-608
Ron (M.). — Voir Stupel (M. M.)	C6-483 C6-611	impurity atom in some transition and noble metals. Sierkierska (K. E.). — Voir Maddock (A. G.). Simkin (D.). — Voir Hermon (E.). Simkin (D.). — Voir Sawai (T.). Simopoulos (A.). — Voir Petridis (D.). Simopoulos (A.). — Voir Kostikas (A.). Sitek (J.), Cirak (J.) and Lipka (J.). — Debye-Waller	C6-324 C6-608 C6-247 C6-262
Ron (M.). — Voir Stupel (M. M.)	C6-483 C6-611	impurity atom in some transition and noble metals. Sierkierska (K. E.). — Voir Maddock (A. G.). Simkin (D.). — Voir Hermon (E.). Simkin (D.). — Voir Sawai (T.). Simopoulos (A.). — Voir Petridis (D.). Simopoulos (A.). — Voir Kostikas (A.). Sitek (J.), Cirak (J.) and Lipka (J.). — Debye-Waller factor of tin-antimony solid solutions.	C6-324 C6-608 C6-247 C6-262 C6-537
Ron (M.). — Voir Stupel (M. M.)	C6-483 C6-611 C6-301 C6-541	impurity atom in some transition and noble metals. Sierkierska (K. E.). — Voir Maddock (A. G.). Simkin (D.). — Voir Hermon (E.). Simkin (D.). — Voir Sawai (T.). Simopoulos (A.). — Voir Petridis (D.). Simopoulos (A.). — Voir Kostikas (A.). Sitek (J.), Cirak (J.) and Lipka (J.). — Debye-Waller factor of tin-antimony solid solutions. Sitek (J.). — Voir Lipka (J.).	C6-324 C6-608 C6-247 C6-262 C6-537
Ron (M.). — Voir Stupel (M. M.)	C6-483 C6-611	impurity atom in some transition and noble metals. Sierkierska (K. E.). — Voir Maddock (A. G.). Simkin (D.). — Voir Hermon (E.). Simkin (D.). — Voir Sawai (T.). Simopoulos (A.). — Voir Petridis (D.). Simopoulos (A.). — Voir Kostikas (A.). Sitek (J.), Cirak (J.) and Lipka (J.). — Debye-Waller factor of tin-antimony solid solutions. Sitek (J.). — Voir Lipka (J.). Sontheimer (F.), Nagy (D. L.), Dézsi (I.), Lohner (T.),	C6-324 C6-608 C6-247 C6-262 C6-537
Ron (M.). — Voir Stupel (M. M.)	C6-483 C6-611 C6-301 C6-541 C6-209	impurity atom in some transition and noble metals. Sierkierska (K. E.). — Voir Maddock (A. G.). Simkin (D.). — Voir Hermon (E.). Simkin (D.). — Voir Sawai (T.). Simopoulos (A.). — Voir Petridis (D.). Simopoulos (A.). — Voir Kostikas (A.). Sitek (J.), Cirak (J.) and Lipka (J.). — Debye-Waller factor of tin-antimony solid solutions. Sitek (J.). — Voir Lipka (J.).	C6-324 C6-608 C6-247 C6-262 C6-537
Ron (M.). — Voir Stupel (M. M.)	C6-483 C6-611 C6-301 C6-541 C6-209 C6-675	impurity atom in some transition and noble metals. Sierkierska (K. E.). — Voir Maddock (A. G.). Simkin (D.). — Voir Hermon (E.). Simkin (D.). — Voir Sawai (T.). Simopoulos (A.). — Voir Petridis (D.). Simopoulos (A.). — Voir Kostikas (A.). Sitek (J.), Cirak (J.) and Lipka (J.). — Debye-Waller factor of tin-antimony solid solutions. Sitek (J.). — Voir Lipka (J.). Sontheimer (F.), Nagy (D. L.), Dézsi (I.), Lohner (T.), Ritter (G.), Seyboth (D.) and Wegener (H.). —	C6-324 C6-608 C6-247 C6-262 C6-537
Ron (M.). — Voir Stupel (M. M.)	C6-483 C6-611 C6-301 C6-541 C6-209 C6-675	impurity atom in some transition and noble metals. Sierkierska (K. E.). — Voir Maddock (A. G.). Simkin (D.). — Voir Hermon (E.). Simkin (D.). — Voir Sawai (T.). Simopoulos (A.). — Voir Petridis (D.). Simopoulos (A.). — Voir Kostikas (A.). Sitek (J.), Cirak (J.) and Lipka (J.). — Debye-Waller factor of tin-antimony solid solutions. Sitek (J.). — Voir Lipka (J.). Sontheimer (F.), Nagy (D. L.), Dézsi (I.), Lohner (T.), Ritter (G.), Seyboth (D.) and Wegener (H.). — Spin relaxation effects in Fe(NO ₃) ₃ and Fe(ClO ₄) ₃ frozen solutions and in Fe(ClO ₄) ₃ crystal hydrates. Sontheimer (F.). — Voir Seyboth (D.).	C6-324 C6-608 C6-247 C6-262 C6-537 C6-595
Ron (M.). — Voir Stupel (M. M.). Roques (B.). — Voir Max (C.)	C6-483 C6-611 C6-301 C6-541 C6-209 C6-675 C6-597	impurity atom in some transition and noble metals. Sierkierska (K. E.). — Voir Maddock (A. G.). Simkin (D.). — Voir Hermon (E.). Simkin (D.). — Voir Sawai (T.). Simopoulos (A.). — Voir Petridis (D.). Simopoulos (A.). — Voir Kostikas (A.). Sitek (J.), Cirak (J.) and Lipka (J.). — Debye-Waller factor of tin-antimony solid solutions. Sitek (J.). — Voir Lipka (J.). Sontheimer (F.), Nagy (D. L.), Dézsi (I.), Lohner (T.), Ritter (G.), Seyboth (D.) and Wegener (H.). — Spin relaxation effects in Fe(NO ₃) ₃ and Fe(ClO ₄) ₃ frozen solutions and in Fe(ClO ₄) ₃ crystal hydrates. Sontheimer (F.). — Voir Seyboth (D.). Spanjaard (D.). — Voir Chopin (C.).	C6-324 C6-608 C6-247 C6-262 C6-537 C6-595 C6-443 C6-305 C6-433
Ron (M.). — Voir Stupel (M. M.). Roques (B.). — Voir Max (C.)	C6-483 C6-611 C6-301 C6-541 C6-209 C6-675 C6-597	impurity atom in some transition and noble metals. Sierkierska (K. E.). — Voir Maddock (A. G.). Simkin (D.). — Voir Hermon (E.). Simkin (D.). — Voir Sawai (T.). Simopoulos (A.). — Voir Petridis (D.). Simopoulos (A.). — Voir Kostikas (A.). Sitek (J.), Cirak (J.) and Lipka (J.). — Debye-Waller factor of tin-antimony solid solutions. Sitek (J.). — Voir Lipka (J.). Sontheimer (F.), Nagy (D. L.), Dézsi (I.), Lohner (T.), Ritter (G.), Seyboth (D.) and Wegener (H.). — Spin relaxation effects in Fe(NO ₃) ₃ and Fe(ClO ₄) ₃ frozen solutions and in Fe(ClO ₄) ₃ crystal hydrates. Sontheimer (F.). — Voir Seyboth (D.). Spanjaard (D.). — Voir Chopin (C.). Spartalian (K.). — Voir Oosterhuis (W. T.).	C6-324 C6-608 C6-247 C6-262 C6-537 C6-595
Ron (M.). — Voir Stupel (M. M.). Roques (B.). — Voir Max (C.)	C6-483 C6-611 C6-301 C6-541 C6-209 C6-675 C6-597	impurity atom in some transition and noble metals. Sierkierska (K. E.). — Voir Maddock (A. G.) Simkin (D.). — Voir Hermon (E.) Simkin (D.). — Voir Sawai (T.) Simopoulos (A.). — Voir Petridis (D.) Simopoulos (A.). — Voir Kostikas (A.) Sitek (J.), Cirak (J.) and Lipka (J.). — Debye-Waller factor of tin-antimony solid solutions Sitek (J.). — Voir Lipka (J.) Sontheimer (F.), Nagy (D. L.), Dézsi (I.), Lohner (T.), Ritter (G.), Seyboth (D.) and Wegener (H.). — Spin relaxation effects in Fe(NO ₃) ₃ and Fe(ClO ₄) ₃ frozen solutions and in Fe(ClO ₄) ₃ crystal hydrates. Sontheimer (F.). — Voir Seyboth (D.) Spanjaard (D.). — Voir Chopin (C.) Spartalian (K.). — Voir Oosterhuis (W. T.) Spiering (H.), Nagy (D. L.) and Zimmerman (R.). —	C6-324 C6-608 C6-247 C6-262 C6-537 C6-595 C6-443 C6-305 C6-433
Ron (M.). — Voir Stupel (M. M.). Roques (B.). — Voir Max (C.)	C6-483 C6-611 C6-301 C6-541 C6-209 C6-675 C6-597	impurity atom in some transition and noble metals. Sierkierska (K. E.). — Voir Maddock (A. G.). Simkin (D.). — Voir Hermon (E.). Simkin (D.). — Voir Sawai (T.). Simopoulos (A.). — Voir Petridis (D.). Simopoulos (A.). — Voir Kostikas (A.). Sitek (J.), Cirak (J.) and Lipka (J.). — Debye-Waller factor of tin-antimony solid solutions. Sitek (J.). — Voir Lipka (J.). Sontheimer (F.), Nagy (D. L.), Dézsi (I.), Lohner (T.), Ritter (G.), Seyboth (D.) and Wegener (H.). — Spin relaxation effects in Fe(NO ₃) ₃ and Fe(ClO ₄) ₃ frozen solutions and in Fe(ClO ₄) ₃ crystal hydrates. Sontheimer (F.). — Voir Seyboth (D.). Spanjaard (D.). — Voir Chopin (C.). Spartalian (K.). — Voir Oosterhuis (W. T.).	C6-324 C6-608 C6-247 C6-262 C6-537 C6-595 C6-443 C6-305 C6-433
Ron (M.). — Voir Stupel (M. M.). Roques (B.). — Voir Max (C.)	C6-483 C6-611 C6-301 C6-541 C6-209 C6-675 C6-597	impurity atom in some transition and noble metals. Sierkierska (K. E.). — Voir Maddock (A. G.) Simkin (D.). — Voir Hermon (E.) Simkin (D.). — Voir Sawai (T.) Simopoulos (A.). — Voir Petridis (D.) Simopoulos (A.). — Voir Kostikas (A.) Sitek (J.), Cirak (J.) and Lipka (J.). — Debye-Waller factor of tin-antimony solid solutions. Sitek (J.). — Voir Lipka (J.). Sontheimer (F.), Nagy (D. L.), Dézsi (I.), Lohner (T.), Ritter (G.), Seyboth (D.) and Wegener (H.). — Spin relaxation effects in Fe(NO ₃)3 and Fe(ClO ₄)3 frozen solutions and in Fe(ClO ₄)3 crystal hydrates. Sontheimer (F.). — Voir Seyboth (D.) Spanjaard (D.). — Voir Chopin (C.) Spartalian (K.). — Voir Oosterhuis (W. T.) Spiering (H.), Nagy (D. L.) and Zimmerman (R.). — Hyperfine interaction of the Fe ²⁺ ion in Fe(H ₂ O) ₆ . (ClO ₄) ₂ Spiering (H.). — Voir Nagy (D. L.)	C6-324 C6-608 C6-247 C6-262 C6-537 C6-595 C6-443 C6-305 C6-433 C6-347
Ron (M.). — Voir Stupel (M. M.). Roques (B.). — Voir Max (C.)	C6-483 C6-611 C6-301 C6-541 C6-209 C6-675 C6-597 C6-339 C6-569	impurity atom in some transition and noble metals. Sierkierska (K. E.). — Voir Maddock (A. G.) Simkin (D.). — Voir Hermon (E.) Simkin (D.). — Voir Sawai (T.) Simopoulos (A.). — Voir Petridis (D.) Simopoulos (A.). — Voir Kostikas (A.) Sitek (J.), Cirak (J.) and Lipka (J.). — Debye-Waller factor of tin-antimony solid solutions. Sitek (J.). — Voir Lipka (J.). Sontheimer (F.), Nagy (D. L.), Dézsi (I.), Lohner (T.), Ritter (G.), Seyboth (D.) and Wegener (H.). — Spin relaxation effects in Fe(NO3)3 and Fe(ClO4)3 frozen solutions and in Fe(ClO4)3 crystal hydrates. Sontheimer (F.). — Voir Seyboth (D.) Spanjaard (D.). — Voir Chopin (C.) Spartalian (K.). — Voir Oosterhuis (W. T.) Spiering (H.), Nagy (D. L.) and Zimmerman (R.). — Hyperfine interaction of the Fe ²⁺ ion in Fe(H ₂ O) ₆ . (ClO ₄) ₂ Spiering (H.). — Voir Nagy (D. L.). Spiering (H.). — Voir Zimmermann (R.).	C6-324 C6-608 C6-247 C6-262 C6-537 C6-379 C6-595 C6-443 C6-305 C6-433 C6-347
Ron (M.). — Voir Stupel (M. M.). Roques (B.). — Voir Max (C.)	C6-483 C6-611 C6-301 C6-541 C6-209 C6-675 C6-597 C6-339 C6-569	impurity atom in some transition and noble metals. Sierkierska (K. E.). — Voir Maddock (A. G.) Simkin (D.). — Voir Hermon (E.) Simkin (D.). — Voir Sawai (T.) Simopoulos (A.). — Voir Petridis (D.) Simopoulos (A.). — Voir Kostikas (A.) Sitek (J.), Cirak (J.) and Lipka (J.). — Debye-Waller factor of tin-antimony solid solutions. Sitek (J.). — Voir Lipka (J.) Sontheimer (F.), Nagy (D. L.), Dézsi (I.), Lohner (T.), Ritter (G.), Seyboth (D.) and Wegener (H.). — Spin relaxation effects in Fe(NO ₃) ₃ and Fe(ClO ₄) ₃ frozen solutions and in Fe(ClO ₄) ₃ crystal hydrates. Sontheimer (F.). — Voir Seyboth (D.) Spanjaard (D.). — Voir Chopin (C.) Spantalian (K.). — Voir Oosterhuis (W. T.) Spiering (H.), Nagy (D. L.) and Zimmerman (R.). — Hyperfine interaction of the Fe ²⁺ ion in Fe(H ₂ O) ₆ . (ClO ₄) ₂ Spiering (H.). — Voir Zimmermann (R.) Srivastava (J. K.) and Sharma (R. P.). — Anomalous	C6-324 C6-608 C6-247 C6-262 C6-537 C6-379 C6-595 C6-443 C6-305 C6-433 C6-347
Ron (M.). — Voir Stupel (M. M.). Roques (B.). — Voir Max (C.). Van Rossum (M.), Langouche (G.), Pattyn (H.), Dumont (G.), Odeurs (J.), Meykens (A.), Boolchand (P.) and Coussement (R.). — Study of the magnetic interaction at 129mXe implanted in iron. Van Rossum (M.). — Voir Bouchez (R.). Ruby (S. L.). — Mössbauer experiments without conventional sources. Ruebenbauer (K.). — Voir Fink (J.). Rundqvist (S.). — Voir Wüppling (R.). Saito (N.). — Voir Takeda (M.). Sallam (H. A.). — Voir Eissa (N. A.). Salomon (D.), Triplett (B. B.), Dixon (N. S.), Boolchand (P.) and Hanna (S.). — Temperature dependence of the 6.2 keV Mössbauer resonance of 181Ta at low temperature. Salomon (D.). — Voir Binder (J.). Salomon (D.). — Voir Heidman (A.). Sanchez (J. P.), Friedt (J. M.) and Shenoy (G. K.). — Transferred magnetic fields at 129I and covalency	C6-483 C6-611 C6-301 C6-541 C6-209 C6-675 C6-597 C6-339 C6-569	impurity atom in some transition and noble metals. Sierkierska (K. E.). — Voir Maddock (A. G.) Simkin (D.). — Voir Hermon (E.) Simkin (D.). — Voir Sawai (T.) Simopoulos (A.). — Voir Petridis (D.) Simopoulos (A.). — Voir Kostikas (A.) Sitek (J.), Cirak (J.) and Lipka (J.). — Debye-Waller factor of tin-antimony solid solutions. Sitek (J.). — Voir Lipka (J.). Sontheimer (F.), Nagy (D. L.), Dézsi (I.), Lohner (T.), Ritter (G.), Seyboth (D.) and Wegener (H.). — Spin relaxation effects in Fe(NO ₃) ₃ and Fe(ClO ₄) ₃ frozen solutions and in Fe(ClO ₄) ₃ crystal hydrates. Sontheimer (F.). — Voir Seyboth (D.) Spanjaard (D.). — Voir Chopin (C.) Spartalian (K.). — Voir Oosterhuis (W. T.) Spiering (H.), Nagy (D. L.) and Zimmerman (R.). — Hyperfine interaction of the Fe ²⁺ ion in Fe(H ₂ O) ₆ . (ClO ₄) ₂ Spiering (H.). — Voir Zimmermann (R.) Srivastava (J. K.) and Sharma (R. P.). — Anomalous line shapes of Fe ³⁺ -Mössbauer spectra in magne-	C6-324 C6-608 C6-247 C6-262 C6-537 C6-379 C6-595 C6-443 C6-305 C6-433 C6-347
Ron (M.). — Voir Stupel (M. M.). Roques (B.). — Voir Max (C.). Van Rossum (M.), Langouche (G.), Pattyn (H.), Dumont (G.), Odeurs (J.), Meykens (A.), Boolchand (P.) and Coussement (R.). — Study of the magnetic interaction at 129mXe implanted in iron. Van Rossum (M.). — Voir Bouchez (R.). Ruby (S. L.). — Mössbauer experiments without conventional sources. Ruebenbauer (K.). — Voir Fink (J.). Rundqvist (S.). — Voir Wüppling (R.). Saito (N.). — Voir Takeda (M.). Sallam (H. A.). — Voir Eissa (N. A.). Salomon (D.), Triplett (B. B.), Dixon (N. S.), Boolchand (P.) and Hanna (S.). — Temperature dependence of the 6.2 keV Mössbauer resonance of 181Ta at low temperature. Salomon (D.). — Voir Binder (J.). Salomon (D.). — Voir Heidman (A.). Sanchez (J. P.), Friedt (J. M.) and Shenoy (G. K.). — Transferred magnetic fields at 129I and covalency effects in transition metal-diiodides.	C6-483 C6-611 C6-301 C6-541 C6-209 C6-675 C6-597 C6-339 C6-569 C6-285 C6-184 C6-515	impurity atom in some transition and noble metals. Sierkierska (K. E.). — Voir Maddock (A. G.) Simkin (D.). — Voir Hermon (E.) Simkin (D.). — Voir Sawai (T.) Simopoulos (A.). — Voir Petridis (D.) Simopoulos (A.). — Voir Kostikas (A.) Sitek (J.), Cirak (J.) and Lipka (J.). — Debye-Waller factor of tin-antimony solid solutions. Sitek (J.). — Voir Lipka (J.) Sontheimer (F.), Nagy (D. L.), Dézsi (I.), Lohner (T.), Ritter (G.), Seyboth (D.) and Wegener (H.). — Spin relaxation effects in Fe(NO ₃) ₃ and Fe(ClO ₄) ₃ frozen solutions and in Fe(ClO ₄) ₃ crystal hydrates. Sontheimer (F.). — Voir Seyboth (D.) Spanjaard (D.). — Voir Chopin (C.) Spantalian (K.). — Voir Oosterhuis (W. T.) Spiering (H.), Nagy (D. L.) and Zimmerman (R.). — Hyperfine interaction of the Fe ²⁺ ion in Fe(H ₂ O) ₆ . (ClO ₄) ₂ Spiering (H.). — Voir Zimmermann (R.) Srivastava (J. K.) and Sharma (R. P.). — Anomalous	C6-324 C6-608 C6-247 C6-262 C6-537 C6-379 C6-595 C6-443 C6-305 C6-433 C6-347
Ron (M.). — Voir Stupel (M. M.). Roques (B.). — Voir Max (C.). Van Rossum (M.), Langouche (G.), Pattyn (H.), Dumont (G.), Odeurs (J.), Meykens (A.), Boolchand (P.) and Coussement (R.). — Study of the magnetic interaction at 129mXe implanted in iron. Van Rossum (M.). — Voir Bouchez (R.). Ruby (S. L.). — Mössbauer experiments without conventional sources. Ruebenbauer (K.). — Voir Fink (J.). Rundqvist (S.). — Voir Wüppling (R.). Saito (N.). — Voir Takeda (M.). Sallam (H. A.). — Voir Eissa (N. A.). Salomon (D.), Triplett (B. B.), Dixon (N. S.), Boolchand (P.) and Hanna (S.). — Temperature dependence of the 6.2 keV Mössbauer resonance of 181Ta at low temperature. Salomon (D.). — Voir Binder (J.). Salomon (D.). — Voir Heidman (A.). Sanchez (J. P.), Friedt (J. M.) and Shenoy (G. K.). — Transferred magnetic fields at 129I and covalency	C6-483 C6-611 C6-301 C6-541 C6-209 C6-675 C6-597 C6-339 C6-569	impurity atom in some transition and noble metals. Sierkierska (K. E.). — Voir Maddock (A. G.) Simkin (D.). — Voir Hermon (E.) Simkin (D.). — Voir Sawai (T.) Simopoulos (A.). — Voir Petridis (D.) Simopoulos (A.). — Voir Kostikas (A.) Sitek (J.), Cirak (J.) and Lipka (J.). — Debye-Waller factor of tin-antimony solid solutions Sitek (J.). — Voir Lipka (J.) Sontheimer (F.), Nagy (D. L.), Dézsi (I.), Lohner (T.), Ritter (G.), Seyboth (D.) and Wegener (H.). — Spin relaxation effects in Fe(NO ₃) ₃ and Fe(ClO ₄) ₃ frozen solutions and in Fe(ClO ₄) ₃ crystal hydrates. Sontheimer (F.). — Voir Seyboth (D.) Spanjaard (D.). — Voir Chopin (C.) Spartalian (K.). — Voir Oosterhuis (W. T.) Spiering (H.), Nagy (D. L.) and Zimmerman (R.). — Hyperfine interaction of the Fe ²⁺ ion in Fe(H ₂ O) ₆ . (ClO ₄) ₂ Spiering (H.). — Voir Nagy (D. L.) Spiering (H.). — Voir Zimmermann (R.) Srivastava (J. K.) and Sharma (R. P.). — Anomalous line shapes of Fe ³⁺ -Mössbauer spectra in magnetically ordered systems — effects of heat treatment,	C6-324 C6-608 C6-247 C6-262 C6-537 C6-595 C6-443 C6-305 C6-433 C6-347 C6-231 C6-385 C6-439
Ron (M.). — Voir Stupel (M. M.). Roques (B.). — Voir Max (C.). Van Rossum (M.), Langouche (G.), Pattyn (H.), Dumont (G.), Odeurs (J.), Meykens (A.), Boolchand (P.) and Coussement (R.). — Study of the magnetic interaction at 129mXe implanted in iron. Van Rossum (M.). — Voir Bouchez (R.). Ruby (S. L.). — Mössbauer experiments without conventional sources. Ruebenbauer (K.). — Voir Fink (J.). Rundqvist (S.). — Voir Wüppling (R.). Saito (N.). — Voir Takeda (M.). Sallam (H. A.). — Voir Eissa (N. A.). Salomon (D.), Triplett (B. B.), Dixon (N. S.), Boolchand (P.) and Hanna (S.). — Temperature dependence of the 6.2 keV Mössbauer resonance of 181Ta at low temperature. Salomon (D.). — Voir Binder (J.). Salomon (D.). — Voir Heidman (A.). Sanchez (J. P.), Friedt (J. M.) and Shenoy (G. K.). — Transferred magnetic fields at 129I and covalency effects in transition metal-diiodides. Sanchez (J. P.). — Voir Devort (J. P.).	C6-483 C6-611 C6-301 C6-541 C6-209 C6-675 C6-597 C6-339 C6-569 C6-285 C6-184 C6-515	impurity atom in some transition and noble metals. Sierkierska (K. E.). — Voir Maddock (A. G.) Simkin (D.). — Voir Hermon (E.) Simkin (D.). — Voir Sawai (T.) Simopoulos (A.). — Voir Petridis (D.) Simopoulos (A.). — Voir Kostikas (A.) Sitek (J.), Cirak (J.) and Lipka (J.). — Debye-Waller factor of tin-antimony solid solutions Sitek (J.). — Voir Lipka (J.) Sontheimer (F.), Nagy (D. L.), Dézsi (I.), Lohner (T.), Ritter (G.), Seyboth (D.) and Wegener (H.). — Spin relaxation effects in Fe(NO ₃) ₃ and Fe(ClO ₄) ₃ frozen solutions and in Fe(ClO ₄) ₃ crystal hydrates. Sontheimer (F.). — Voir Ceyboth (D.) Spanjaard (D.). — Voir Chopin (C.) Spartalian (K.). — Voir Oosterhuis (W. T.) Spiering (H.), Nagy (D. L.) and Zimmerman (R.). — Hyperfine interaction of the Fe ²⁺ ion in Fe(H ₂ O) ₆ . (ClO ₄) ₂ Spiering (H.). — Voir Nagy (D. L.) Spiering (H.). — Voir Zimmermann (R.) Srivastava (J. K.) and Sharma (R. P.). — Anomalous line shapes of Fe ³⁺ -Mössbauer spectra in magnetically ordered systems — effects of heat treatment, impurity ions and Fe ³⁺ ion-concentration Steiner (P.), Gumprecht (D.), Zdrojewski (W. V.) and Hüfner (S.). — Mössbauer experiments on dilute	C6-324 C6-608 C6-247 C6-262 C6-537 C6-595 C6-433 C6-305 C6-433 C6-347 C6-231 C6-385 C6-439
Ron (M.). — Voir Stupel (M. M.). Roques (B.). — Voir Max (C.). Van Rossum (M.), Langouche (G.), Pattyn (H.), Dumont (G.), Odeurs (J.), Meykens (A.), Boolchand (P.) and Coussement (R.). — Study of the magnetic interaction at 129mXe implanted in iron. Van Rossum (M.). — Voir Bouchez (R.) Ruby (S. L.). — Mössbauer experiments without conventional sources Ruebenbauer (K.). — Voir Fink (J.). Rundqvist (S.). — Voir Wüppling (R.). Saito (N.). — Voir Takeda (M.). Sallam (H. A.). — Voir Eissa (N. A.). Salomon (D.), Triplett (B. B.), Dixon (N. S.), Boolchand (P.) and Hanna (S.). — Temperature dependence of the 6.2 keV Mössbauer resonance of 181Ta at low temperature. Salomon (D.). — Voir Binder (J.). Salomon (D.). — Voir Heidman (A.). Sanchez (J. P.), Friedt (J. M.) and Shenoy (G. K.). — Transferred magnetic fields at 1291 and covalency effects in transition metal-diiodides. Sanchez (J. P.). — Voir Devort (J. P.). Sancho (J.). — Voir Lupiani (C.). Saragovi-Badler (C.), Labenski (F.) and Frank (E.). — Mössbauer spectroscopy of iron compounds pre-	C6-483 C6-611 C6-301 C6-541 C6-209 C6-675 C6-597 C6-339 C6-569 C6-285 C6-184 C6-515	impurity atom in some transition and noble metals. Sierkierska (K. E.). — Voir Maddock (A. G.) Simkin (D.). — Voir Hermon (E.) Simkin (D.). — Voir Sawai (T.) Simopoulos (A.). — Voir Petridis (D.) Sitek (J.), Cirak (J.) and Lipka (J.). — Debye-Waller factor of tin-antimony solid solutions Sitek (J.). — Voir Lipka (J.) Sontheimer (F.), Nagy (D. L.), Dézsi (I.), Lohner (T.), Ritter (G.), Seyboth (D.) and Wegener (H.). — Spin relaxation effects in Fe(NO ₃) ₃ and Fe(ClO ₄) ₃ frozen solutions and in Fe(ClO ₄) ₃ crystal hydrates. Sontheimer (F.). — Voir Seyboth (D.) Spanjaard (D.). — Voir Chopin (C.) Spiering (H.), Nagy (D. L.) and Zimmerman (R.). — Hyperfine interaction of the Fe ²⁺ ion in Fe(H ₂ O) ₆ . (ClO ₄) ₂	C6-324 C6-608 C6-247 C6-262 C6-537 C6-595 C6-443 C6-305 C6-433 C6-347 C6-385 C6-439 C6-663
Ron (M.). — Voir Stupel (M. M.). Roques (B.). — Voir Max (C.). Van Rossum (M.), Langouche (G.), Pattyn (H.), Dumont (G.), Odeurs (J.), Meykens (A.), Boolchand (P.) and Coussement (R.). — Study of the magnetic interaction at 129mXe implanted in iron. Van Rossum (M.). — Voir Bouchez (R.) Ruby (S. L.). — Mössbauer experiments without conventional sources Ruebenbauer (K.). — Voir Fink (J.). Rundqvist (S.). — Voir Wüppling (R.). Saito (N.). — Voir Takeda (M.). Sallam (H. A.). — Voir Eissa (N. A.). Salomon (D.), Triplett (B. B.), Dixon (N. S.), Boolchand (P.) and Hanna (S.). — Temperature dependence of the 6.2 keV Mössbauer resonance of 181Ta at low temperature. Salomon (D.). — Voir Binder (J.). Salomon (D.). — Voir Heidman (A.). Sanchez (J. P.), Friedt (J. M.) and Shenoy (G. K.). — Transferred magnetic fields at 1291 and covalency effects in transition metal-diiodides. Sanchez (J. P.). — Voir Devort (J. P.). Sancho (J.). — Voir Lupiani (C.). Saragovi-Badler (C.), Labenski (F.) and Frank (E.). — Mössbauer spectroscopy of iron compounds present in the profile of an uranium deposit	C6-483 C6-611 C6-541 C6-541 C6-209 C6-675 C6-597 C6-339 C6-569 C6-285 C6-184 C6-515 C6-255 C6-251	impurity atom in some transition and noble metals. Sierkierska (K. E.). — Voir Maddock (A. G.). Simkin (D.). — Voir Hermon (E.). Simkin (D.). — Voir Sawai (T.). Simopoulos (A.). — Voir Petridis (D.). Simopoulos (A.). — Voir Kostikas (A.). Sitek (J.), Cirak (J.) and Lipka (J.). — Debye-Waller factor of tin-antimony solid solutions. Sitek (J.). — Voir Lipka (J.). Sontheimer (F.), Nagy (D. L.), Dézsi (I.), Lohner (T.), Ritter (G.), Seyboth (D.) and Wegener (H.). — Spin relaxation effects in Fe(NO ₃) ₃ and Fe(ClO ₄) ₃ frozen solutions and in Fe(ClO ₄) ₃ crystal hydrates. Sontheimer (F.). — Voir Seyboth (D.). Spanjaard (D.). — Voir Chopin (C.). Spartalian (K.). — Voir Oosterhuis (W. T.). Spiering (H.), Nagy (D. L.) and Zimmerman (R.). — Hyperfine interaction of the Fe ²⁺ ion in Fe(H ₂ O) ₆ . (ClO ₄) ₂ . Spiering (H.). — Voir Nagy (D. L.) Spiering (H.). — Voir Zimmermann (R.). Srivastava (J. K.) and Sharma (R. P.). — Anomalous line shapes of Fe ³⁺ -Mössbauer spectra in magnetically ordered systems — effects of heat treatment, impurity ions and Fe ³⁺ ion-concentration. Steiner (P.), Gumprecht (D.), Zdrojewski (W. V.) and Hüfner (S.). — Mössbauer experiments on dilute ⁵⁷ Fe in Cu, Au and Ag. Steiner (P.). — Voir Gumprecht (D.).	C6-324 C6-608 C6-247 C6-262 C6-537 C6-595 C6-433 C6-305 C6-433 C6-347 C6-231 C6-385 C6-439
Ron (M.). — Voir Stupel (M. M.). Roques (B.). — Voir Max (C.). Van Rossum (M.), Langouche (G.), Pattyn (H.), Dumont (G.), Odeurs (J.), Meykens (A.), Boolchand (P.) and Coussement (R.). — Study of the magnetic interaction at 129mXe implanted in iron. Van Rossum (M.). — Voir Bouchez (R.). Ruby (S. L.). — Mössbauer experiments without conventional sources. Ruebenbauer (K.). — Voir Fink (J.). Rundqvist (S.). — Voir Wüppling (R.). Saito (N.). — Voir Takeda (M.). Sallam (H. A.). — Voir Eissa (N. A.). Salomon (D.), Triplett (B. B.), Dixon (N. S.), Boolchand (P.) and Hanna (S.). — Temperature dependence of the 6.2 keV Mössbauer resonance of 181Ta at low temperature. Salomon (D.). — Voir Binder (J.). Salomon (D.). — Voir Heidman (A.). Sanchez (J. P.), Friedt (J. M.) and Shenoy (G. K.). — Transferred magnetic fields at 129I and covalency effects in transition metal-diiodides. Sanchez (J. P.). — Voir Devort (J. P.). Sancho (J.). — Voir Lupiani (C.). Saragovi-Badler (C.), Labenski (F.) and Frank (E.). — Mössbauer spectroscopy of iron compounds present in the profile of an uranium deposit.	C6-483 C6-611 C6-301 C6-541 C6-209 C6-675 C6-597 C6-339 C6-569 C6-285 C6-184 C6-515	impurity atom in some transition and noble metals. Sierkierska (K. E.). — Voir Maddock (A. G.). Simkin (D.). — Voir Hermon (E.). Simkin (D.). — Voir Sawai (T.). Simopoulos (A.). — Voir Petridis (D.). Simopoulos (A.). — Voir Kostikas (A.). Sitek (J.), Cirak (J.) and Lipka (J.). — Debye-Waller factor of tin-antimony solid solutions. Sitek (J.). — Voir Lipka (J.). Sontheimer (F.), Nagy (D. L.), Dézsi (I.), Lohner (T.), Ritter (G.), Seyboth (D.) and Wegener (H.). — Spin relaxation effects in Fe(NO ₃) ₃ and Fe(ClO ₄) ₃ frozen solutions and in Fe(ClO ₄) ₃ crystal hydrates. Sontheimer (F.). — Voir Seyboth (D.). Spanjaard (D.). — Voir Chopin (C.). Spartalian (K.). — Voir Oosterhuis (W. T.). Spiering (H.), Nagy (D. L.) and Zimmerman (R.). Hyperfine interaction of the Fe ²⁺ ion in Fe(H ₂ O) ₆ . (ClO ₄) ₂ . Spiering (H.). — Voir Nagy (D. L.). Spiering (H.). — Voir Zimmermann (R.). Srivastava (J. K.) and Sharma (R. P.). — Anomalous line shapes of Fe ³⁺ -Mössbauer spectra in magnetically ordered systems — effects of heat treatment, impurity ions and Fe ³⁺ ion-concentration. Steiner (P.), Gumprecht (D.), Zdrojewski (W. V.) and Hüfner (S.). — Mössbauer experiments on dilute ⁵⁷ Fe in Cu, Au and Ag. Steiner (P.). — Voir Gumprecht (D.). Stupel (M. M.), Ron (M.) and Weiss (B. Z.). — A	C6-324 C6-608 C6-247 C6-262 C6-537 C6-595 C6-443 C6-305 C6-433 C6-347 C6-385 C6-439 C6-663
Ron (M.). — Voir Stupel (M. M.). Roques (B.). — Voir Max (C.). Van Rossum (M.), Langouche (G.), Pattyn (H.), Dumont (G.), Odeurs (J.), Meykens (A.), Boolchand (P.) and Coussement (R.). — Study of the magnetic interaction at 129mXe implanted in iron. Van Rossum (M.). — Voir Bouchez (R.) Ruby (S. L.). — Mössbauer experiments without conventional sources Ruebenbauer (K.). — Voir Fink (J.). Rundqvist (S.). — Voir Wüppling (R.). Saito (N.). — Voir Takeda (M.). Sallam (H. A.). — Voir Eissa (N. A.). Salomon (D.), Triplett (B. B.), Dixon (N. S.), Boolchand (P.) and Hanna (S.). — Temperature dependence of the 6.2 keV Mössbauer resonance of 181Ta at low temperature. Salomon (D.). — Voir Binder (J.). Salomon (D.). — Voir Heidman (A.). Sanchez (J. P.), Friedt (J. M.) and Shenoy (G. K.). — Transferred magnetic fields at 1291 and covalency effects in transition metal-diiodides. Sanchez (J. P.). — Voir Devort (J. P.). Sancho (J.). — Voir Lupiani (C.). Saragovi-Badler (C.), Labenski (F.) and Frank (E.). — Mössbauer spectroscopy of iron compounds present in the profile of an uranium deposit	C6-483 C6-611 C6-541 C6-541 C6-209 C6-675 C6-597 C6-339 C6-569 C6-285 C6-184 C6-515 C6-255 C6-251	impurity atom in some transition and noble metals. Sierkierska (K. E.). — Voir Maddock (A. G.). Simkin (D.). — Voir Hermon (E.). Simkin (D.). — Voir Sawai (T.). Simopoulos (A.). — Voir Petridis (D.). Simopoulos (A.). — Voir Kostikas (A.). Sitek (J.), Cirak (J.) and Lipka (J.). — Debye-Waller factor of tin-antimony solid solutions. Sitek (J.). — Voir Lipka (J.). Sontheimer (F.), Nagy (D. L.), Dézsi (I.), Lohner (T.), Ritter (G.), Seyboth (D.) and Wegener (H.). — Spin relaxation effects in Fe(NO ₃) ₃ and Fe(ClO ₄) ₃ frozen solutions and in Fe(ClO ₄) ₃ crystal hydrates. Sontheimer (F.). — Voir Seyboth (D.). Spanjaard (D.). — Voir Chopin (C.). Spartalian (K.). — Voir Oosterhuis (W. T.). Spiering (H.), Nagy (D. L.) and Zimmerman (R.). — Hyperfine interaction of the Fe ²⁺ ion in Fe(H ₂ O) ₆ . (ClO ₄) ₂ . Spiering (H.). — Voir Nagy (D. L.) Spiering (H.). — Voir Zimmermann (R.). Srivastava (J. K.) and Sharma (R. P.). — Anomalous line shapes of Fe ³⁺ -Mössbauer spectra in magnetically ordered systems — effects of heat treatment, impurity ions and Fe ³⁺ ion-concentration. Steiner (P.), Gumprecht (D.), Zdrojewski (W. V.) and Hüfner (S.). — Mössbauer experiments on dilute ⁵⁷ Fe in Cu, Au and Ag. Steiner (P.). — Voir Gumprecht (D.).	C6-324 C6-608 C6-247 C6-262 C6-537 C6-595 C6-443 C6-305 C6-433 C6-347 C6-385 C6-439 C6-663

Swartzendruber (L. J.) and Evans (B. J.). — Electronic		de Waard (H.), Reintsema (S. R.), Drentje (S. A.) and	
structure and 121Sb hyperfine fields in the Heusler		Cohen (R. L.). — Mössbauer studies with ¹³¹ I and	
alloys Ni _{1-x} Cu _x MnSb	C6-265	151I sources implanted in iron	C6-295
•		de Waard (H.) Voir Perlow (G. J.)	C6-197
Taft (C. A.), Raj (D.) and Danon (J.). — Covalency		Wagner (F. E.). — Voir Iannarella (L.)	C6-517
effects in hyperfine interactions in alkali dithio-		Wagner (U.). — Voir Iannarella (L.)	C6-517
ferrates	C6-241	Wäppling (R.), Häggström (L.), Ericsson (T.), Deva-	
Takács (L.). — Voir Vincze (I.)	C6-533	narayanan (S.), Karlsson (E.), Carlsson (B.) and	
Takada (T.). — Voir Shinjo (T.)	C6-323	Rundqvist (S.). — First order magnetic transition	
Takano (M.), Takeda (Y.), Shimada (M.) and Mat-	00020	magnetic structure and vacancy distribution in	06 505
suzawa (T.). — Supertransferred hyperfine field		Fe ₂ P	C6-597
at Sn^{4+} in $(Ca_{1-x}Sr_x)MnO_3$ and $(Ca_{1-x}Sr_x)_2MnO_4$	C6-263	Wäppling (R.). — Voir Häggström (L.)	C6-603
Takeda (M.), Ohki (K.), Wei (H. H.), Tominaga (T.)	00 200	Watanabe (H.). — Voir Shinohara (T.)	C6-215 C6-443
and Saito (N.). — Mössbauer emission spectra		Wei (H. H.). — Voir Takeda (M.)	C6-339
of 57Co-labelled cobalt salts of hexacyano- and		Weiss (B. Z.). — Voir Stupel (M. M.).	C6-483
pentacyanonitrosyl-metallates	C6-339	Weser (U.). — Voir Dickson (D. P. E.).	C6-343
Takeda (Y.). — Voir Takano (M.)	C6-263	West (K. W.). — Voir Cohen (R. L.).	C6-513
Tejada (J.). — Voir Eicher (H.)	C6-363	Weyer (G.), Deutch (B. I.), Nylandsted-Larsen (A.),	00 010
Theuwissen (B.). — Voir Ladrière (J.)	C6-351	Andersen (J. U.) and Nielsen (H. L.). — Möss-	
Thompson (C. L.). — Voir Dickson (D. P. E.)	C6-343	bauer and channeling studies on 119Te, 119Sb,	
-	C6-339	¹¹⁹ Sn implants in group-IV elements	C6-297
Tominaga (T.). — Voir Takeda (M.)	C0-339	Weyer (G.). — Voir Drost (H.)	C6-679
Mössbauer spectra of stoichiometric and non-		Wildner (W.), Pfannes (H. D.) and Gonser (U.). —	
stoichiometric Fe ₃ O ₄ microcrystals	C6-411	Anomalies at the Sn melting point	C6-381
Trautwein (A.), Reschke (R.), Zimmermann (R.), Dezsi	C0-411	Williams (J. M.) and Brooks (J. S.). — The use of cir-	
(I.) and Harris (F. E.). — Interpretation of expe-		cularly polarized Mössbauer γ-rays to determine	
rimental quadrupole splittings of iron containing		the signs of co-existent hyperfine fields	C6-693
complexes using molecular orbital theory	C6-235	Williams (A. F.). — Voir Maddock (A. G.)	C6-324
Triplett (B. B.), Dixon (N. S.), Boolchand (P.), Hanna		Williamson (D. L.). — Voir Keune (W.)	C6-473
(S. S.) and Bucher (E.). — Low temperature Möss-		Wimmer (K.). — Voir Seyboth (D.)	C6-305
bauer studies of thulium compounds	C6-653	Winkler (H.). — Voir Müller (W.)	C6-375
Triplett (B. B.). — Voir Boolchand (P.)	C6-420	Wohlfahrt (K.). — Voir Bokemeyer (H.)	C6-389
Triplett (B. B.). — Voir Mahmud (Y.)	C6-227	Wortmann (G.). — Voir Binder (J.)	C6-184 C6-515
Triplett (B. B.). — Voir Salomon (D.)	C6-285	Wortmann (G.). — Voir Heidmann (A.)	C6-139
Trooster (J. M.). — Voir Viegers (M. P. A.)	C6-452	van der Woude (F.). — Voir Maring (K. W.)	C6-275
Trukhtanow (W. A.). — Voir Frolov (E. N.)	C6-358	van der Woude (F.). — Voir Drijver (J. W.)	C6-465
		van der Woude (F.). — Voir Sawatzky (G. A.).	C6-47
Umeyama (S.). — Voir Kato (S.).	C6-309	Wurtinger (W.). — Voir Link (R.)	C6-581
Omegania (5.).	C0-307	, at 111821 (1197)	
Vara (J. M.). — Voir Lupiani (C.)	C6-251	Yamamoto (H.). — Voir Shinohara (T.)	C6-215
Varret (F.) et Jehanno (G.). — Etude Mössbauer de	00 201	Yanovsky (R.). — Voir Bauminger (E. R.)	C6-61
fluosilicates contenant Fe2+ et présentant une		Yariv (Y.). — Voir Giberman (E.)	C6-371
structure en domaines	C6-639	2 (2.0)	
Varret (F.). — Voir Bonville (P.)	C6-575	77.1 * -1.47.7 \$7.5 \$7.5 (4.5 (7).5	C/C 533
Varret (F.). — Voir Borely (C.)	C6-437	Zdrojewski (W. V.). — Voir Steiner (P.)	C6-523
Viegers (M. P. A.) and Trooster (J. M.) Magnetic		Belov (A. F.). — Some aspects of structure and	
interactions in gold (II)-bis (maleonitrile-dithio-		lattice dynamics of tourmalins and boracites	
late) observed by ¹⁹⁷ Au Mössbauer spectroscopy.	C6-452	studied by Mössbauer effect	C6-633
Vincent (D. H.). — Voir Gould (T. H.)	C6-315	Zemčík (T.) and Raclavský (K.). — Mössbauer measu-	00 055
Vincze (I), Cadeville (M. C.), Jesser (R.) and Takács		rements of the soviet LUNA-16 and LUNA-20	
(L.). — Investigation of mixed intermetallic		samples	C6-549
compounds	C6-533	Zimmermann (R.), Ritter (G.), Spiering (H.) and Nagy	
Vogl (G.). — Radiation damage and structural lattice		(D. L.). — A further example of slow relaxation	
defects	C6-165	in high-spin iron (II) compounds: Fe (papt) ₂ . C ₆ H ₆	C6-439
Vogl (G.). — Voir Vogl (W.)	C6-321	Zimmermann (R.). — Voir Nagy (D. L.)	C6-385
Vogl (W.) and Vogl (G.). — Irradiation damage cas-		Zimmermann (R.). — Voir Spiering (H.)	C6-231
cades and (n, γ) recoil effects in low-temperature		Zimmermann (R.). — Voir Trautwein (A.)	C6-235
irradiated α-tin monitored by Mössbauer spec-	06.55	Zinn (W.). — Voir Maletta (H.)	C6-279
troscopy	C6-321	Zinn (W.). — Voir Sauer (Ch.)	C6-269
Volland (U.). — Voir Seyboth (D.)	C6-305	Zitkova-Wilcox (J.). — Voir Gunther (L.)	C6-519

COLLOQUE N° 7 - 1974

Dissociation des dislocations

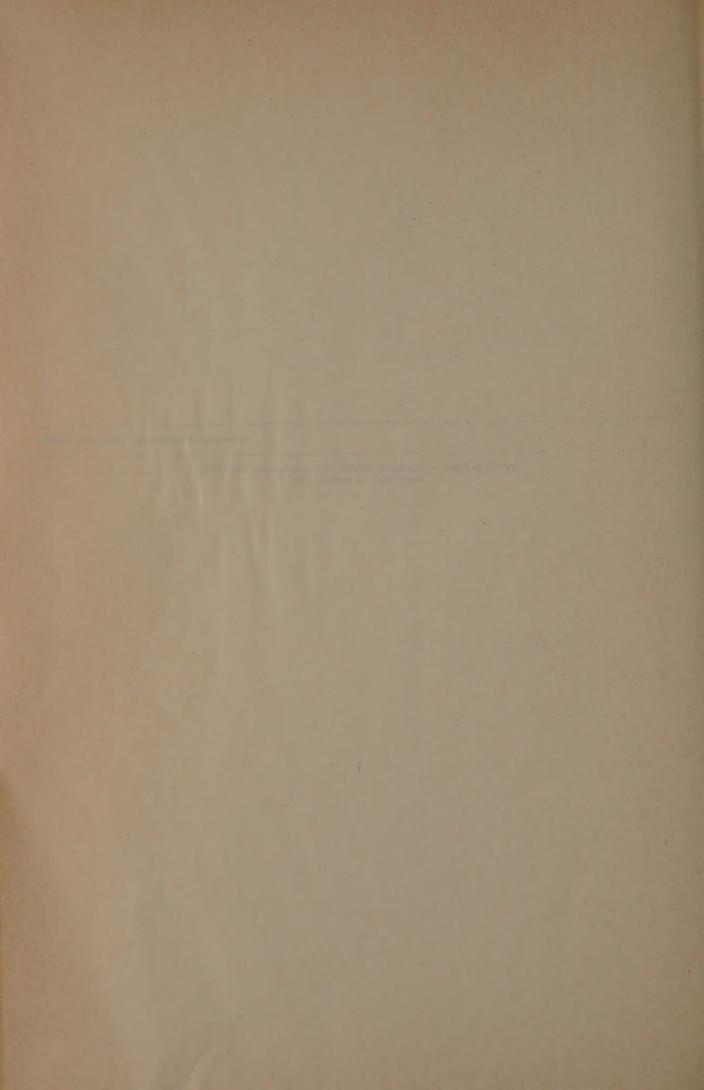
Beaune 1974

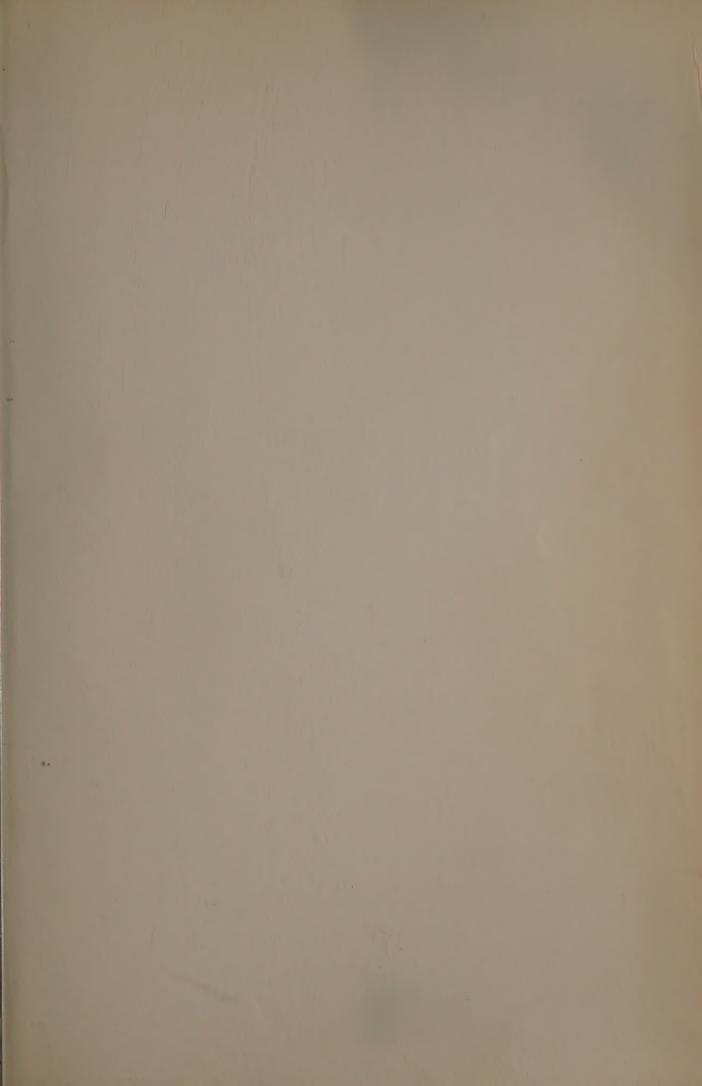
Alexander (H.). — Dissociation and plasticity of covalent crystals	C7-173	Grilhe (J.) and Beauchamp (P.) — Defect configuration and energy computation in simple metals	C7-91
Amelinckx (S.). — The fine structure of dislocations Authier (A.). — observation of stacking faults by	C7-1	Haasen (P.). — Dissociation of dislocations and plasticity of ionic crystals	C7-167
X-ray topography	C7-121	Kear (B. H.) and Oblak (J. M.). — Deformation	
Beauchamp (P.) voir Grilhe (J.)	C7-91	modes in γ' precipitation hardened nickel-base alloys	C7-35
Christian (J. W.). — Twinning and martensic trans-	05.45	Niebel (K.F.) voir Venables (J.A.)	C7-113
formation	C7-65	Oblak (J. M.). — Voir Kear (B. H.)	C7-35
Cockayne (D. J. H.). — The weak-beam techniques	07.141	Rabier (J.). — Voir Veyssière (P.)	C7-97
as applied to dissociation measurments	C/-141	Tatlock (G.J.) voir Venables (J.A)	C7-113
Delavignette (P.). — Dissociation and plasticity of layer crystals	C7-181	Vanderschaeve (G.). — Propagation of dislocations in long period ordered alloys	C7-47
Ducastelle (F.). — Moments developments: transition metals and covalent crystals	C7-79	Van Landuyt (J.). — Shear structures and Crystallographic shear propagation	C7-53
English (C.A.) voir Venables (J.A.)	C7-113	Venables (J.A.), Englisch (C.A.), Niebel (K.F.) and	
Escaig (B.). — Dissociation splitting and the plastic glide process in crystals	C7-151	Tatlock (G.J.). — Stacking faults twins and the structural stability of van der Waals solids Veyssière (P.) et Rabier (J.). — Computations of stac-	C7-113
Gevers (R.). — Electron transmission microscopy	C7-129	king fault energies in ionic crystals	C7-97



Le Directeur de la Publication : Jules-Jean CHOVIN

Imprimé en France. — Imprimerie JOUVE, 17, rue du Louvre, 75001 PARIS Dépôt légal : 2º trimestre 1975





RÉDACTION et ADMINISTRATION : 87 bis, av. du Général-Leclerc, 75014 Paris Téléphone : 587-09-70

Prix de ce Numéro : France F. 25.—

Étranger F. 30.—